

UNIVERSIDADE FEDERAL DE ALAGOAS – UFAL CAMPUS A.C. SIMÕES CENTRO DE TECNOLOGIA - CTEC CURSO DE ENGENHARIA CIVIL



EDUARDO BARBOSA DA SILVA

ANÁLISE DE DADOS COMO SUBSÍDIO PARA MODELAGEM E OPERAÇÃO DO SISTEMA DE ABASTECIMENTO DE ÁGUA PRATAGY EM MACEIÓ/AL

EDUARDO BARBOSA DA SILVA

ANÁLISE DE DADOS COMO SUBSÍDIO PARA MODELAGEM E OPERAÇÃO DO SISTEMA DE ABASTECIMENTO DE ÁGUA PRATAGY EM MACEIÓ/AL

Trabalho de Conclusão de Curso apresentado ao colegiado do curso de Engenharia Civil, do Centro de Tecnologia da Universidade Federal de Alagoas, como requisito à obtenção do título de Bacharel em Engenharia Civil.

Orientador: Prof. Dr. Vladimir Caramori Borges de Souza Coorientadora: Professora Dra. Daysy Lira Oliveira Cavalcanti.

Catalogação na fonte Universidade Federal de Alagoas **Biblioteca Central**

Divisão de Tratamento Técnico

Bibliotecária: Helena Cristina Pimentel do Vale CRB-4/661

S586a Silva, Eduardo Barbosa da.

> Análise de dados como subsídio para modelagem e operação do Sistema de Abastecimento de Água Pratagy em Maceió-AL / Eduardo Barbosa da Silva. – 2024. 98 f.: il.

Orientador: Vladimir Caramori Borges de Souza. Coorientadora: Daysy Lira Oliveira Cavalcanti.

Monografia (Trabalho de Conclusão de Curso - Engenharia Civil) - Universidade Federal de Alagoas, Centro de Tecnologia, Maceió, 2024.

Bibliografia: f. 62-65. Apêndices: f. 66-93. Anexos: f. 94-98.

- 1. Sistema de Abastecimento de água Pratagy, Maceió-AL Séries temporais.
- 2. Padrão de consumo. 3. Fator de consumo. 4. Python (Linguagem de computador).
- 5. Simulador hidráulico EPANET. I. Título.

CDU: 628.1(813.5)

FOLHA DE APROVAÇÃO

AUTOR: EDUARDO BARBOSA DA SILVA

ANÁLISE DE DADOS COMO SUBSÍDIO PARA MODELAGEM E OPERAÇÃO DO SISTEMA DE ABASTECIMENTO DE ÁGUA PRATAGY EM MACEIÓ/AL

Trabalho de Conclusão de Curso apresentado ao colegiado do curso de Engenharia Civil do Centro de Tecnologia da Universidade Federal de Alagoas, como requisito à obtenção do título de Bacharel em Engenharia Civil.

Assinado digitalmente por VLADIMIR CARAMORI BORGES
VLADIMIR CARAMORI DE SOUZA 02902933673
VLADIMIR CARAMORI ND: C-BR, O-ICP-Brasil, OU=presencial, OU=
00489828000317, OU=Secretaria da Receita Federal do
Brasil - RFB, OU=ARMIPDG, OU=RFB e-CPF A3, CPB
VLADIMIR CARAMORI BORGES DE SOUZA-029902933673 SOUZA:02902933673 Localização: Data: 2025 01.30 07:56:50-0300: Foxit PDF Reader Versão: 2024.4

Razão: Eu sou o autor deste documento

Prof. Dr. Vladimir Caramori Borges de Souza (Orientador) Universidade Federal de Alagoas (UFAL)

> Documento assinado digitalmente DAYSY LIRA OLIVEIRA CAVALCANTI Data: 20/01/2025 09:48:20-0300 Verifique em https://validar.iti.gov.br

Profa. Dra. Daysy Lira Oliveira Cavalcanti (Coorientadora) Universidade Federal de Alagoas (UFAL)

Banca examinadora:

Documento assinado digitalmente ADEMIR ABDALA PRATA JUNIOR Data: 30/01/2025 11:02:08-0300 Verifique em https://validar.iti.gov.br

Examinador Externo – Prof. Dr. Ademir Abdala Prata Junior Universidade Estadual Paulista (Unesp)

> Documento assinado digitalmente MARLLUS GUSTAVO FERREIRA PASSOS DAS NE Data: 31/01/2025 23:09:54-0300 Verifique em https://validar.iti.gov.br

Examinador Interno – Prof. Dr. Marllus Gustavo F. Passos das Neves Universidade Federal de Alagoas (UFAL)

> Documento assinado digitalmente VALESKA CAVALCANTE DA COSTA Data: 06/02/2025 09:22:39-0300 Verifique em https://validar.iti.gov.br

Examinadora Externa – M.ª Valeska Cavalcante da Costa Companhia de Saneamento de Alagoas

Dedico esse trabalho aos meus pais José Tadeu da Silva e Terezinha Barbosa da Silva por todo amor e incentivo.

AGRADECIMENTOS

A Deus por conceder a paciência e resiliência necessária durante a difícil jornada da graduação.

A minha esposa Ana Clarissa de Moura da Silva que me acompanhou desde os primeiros semestres, me apoiou nos momentos difíceis e teve paciência, superior a minha, ao longo desses anos.

Aos meus familiares por tanto carinho e apoio ao longo da jornada.

Ao trabalho excepcional desempenhado pela minha psicóloga Clariana Rodrigues Trabuco que ajustou os meus circuitos mentais, já desestabilizados pelas disciplinas do ciclo básico. Lembro-me, na primeira oportunidade, de comunicá-la da minha decisão de trancar o curso. Em sua sabedoria, solicitou-me um pouco mais de reflexão, o que me fez seguir adiante.

Aos grandes amigos Wanderson Bruno Alcides de Morais Silva, Diego da Silva Lima e José Santos Silva Júnior que compartilharam dos momentos mais importantes da minha vida, sobretudo durante a graduação. Aos inúmeros amigos que compartilharam a vivência na Universidade, sou grato pelo espírito colaborativo e pelos momentos de descontração pelos corredores e lanchonetes, em especial a lanchonete do Bira e a lanchonete do COS.

Aos servidores da UFAL, que tornam a Instituição referência nacional. Desde os colaboradores responsáveis pela limpeza, pelos responsáveis pelo restaurante universitário, pela biblioteca e pelos laboratórios. Agradeço aos professores que compartilharam seus conhecimentos ao longo do curso, apontando os caminhos do aprendizado e nos posicionando quanto à atuação profissional. Um agradecimento especial ao Professor Dr. Vladimir Caramori e a Professora Dra. Daysy Cavalcanti pela orientação nesse trabalho, trazendo luz aos caminhos tortuosos da pesquisa e desenvolvimento de ferramentas computacionais relacionadas aos Sistemas de Abastecimento de Água.

Agradeço a Companhia de Saneamento de Alagoas pela disponibilização dos dados, fundamentais ao desenvolvimento deste trabalho. Em específico, agradeço aos colaboradores da Central de Controle Operacional da Região Metropolitana de Maceió pelos dois anos de experiências trocadas durante o tempo em que exerci a função de Controlador de Sistemas de Abastecimento de Água. Agradeço a todos os colaboradores da Companhia que, direta ou indiretamente me possibilitaram enfrentar tamanho desafio.

"Rios secam!"

(Curta e profunda reflexão do Professor Dr. Valmir Pedrosa ao longo das discussões na disciplina Hidrologia, indicando que até os mais caudalosos mananciais podem exaurir suas fontes diante da má gestão dos recursos naturais).

(PEDROSA, Valmir)

RESUMO

SILVA, E. B. Análise de dados como subsídio para modelagem e operação do sistema de

abastecimento de água Pratagy em Maceió/AL. Trabalho de Conclusão de Curso

(Graduação). Universidade Federal de Alagoas, Centro de Tecnologia. Maceió, 2024.

O presente trabalho concentra-se no estudo da operação do sistema de abastecimento de água

(SAA) Pratagy localizado em Maceió, Alagoas. O controle operacional é fundamental para o

equilíbrio entre o volume produzido e a demanda por água em cada área de abastecimento. A

operação com base em regras obtidas a partir da análise dos dados traz ganhos para as

companhias de abastecimento e para a sociedade, justificando o emprego de ferramentas que

contribuam para a racionalização de recursos empregados na produção e distribuição de água.

Nesse contexto, foi desenvolvida uma aplicação em Python para determinação do padrão de

consumo em distintas áreas de abastecimento. Conhecido o padrão de consumo, utilizou-se a

ferramenta EPANET para a construção do modelo hidráulico e determinação da regra

operacional para cada reservatório. Por fim, as simulações foram estendidas para o modelo geral

do SAA, de forma a determinar a vazão horária demandada em cada parte do Sistema integrado

e as pressões atuantes nas adutoras.

Palavras-chave: Séries temporais; Padrão de consumo; Fator de consumo; Python; Epanet.

ABSTRACT

SILVA, E. B. Data analysis as a basis for modeling and operation of the Pratagy water

supply system in Maceió/AL. Undergraduate Thesis. Federal University of Alagoas,

Technology Center. Maceió, 2024.

The present study focuses on the operation of the Pratagy Water Supply System (WSS) located

in Maceió, Alagoas. Operational control is essential to balance the volume of water produced

with the demand in each supply area. Operating based on rules derived from operational data

analysis brings benefits to water supply companies and society, justifying the use of tools that

contribute to the rationalization of resources employed in water production and distribution. In

this context, a Python application was developed to determine the consumption patterns in

different supply areas. Once the consumption pattern was identified, the EPANET tool was

used to build the hydraulic model and establish the operational rule for each reservoir. Finally,

the simulations were extended to the general model of the WSS to determine the hourly flow

demand in each part of the integrated system and the pressures acting on the main pipelines.

Keywords: Time series; Consumption pattern; Consumption factor; Python; Epanet.

LISTA DE FIGURAS

Figura 1 – Chuva Média Mensal em Maceió no período de 1960 a 2016 (mm)	20
Figura 2 – Elementos Físicos do Modelo de um Sistema de Abastecimento de Água	23
Figura 3 – Modelo de Sistema de Abastecimento de Água com Entrada do Fluxo de Água	a no
Reservatório pela Parte Superior	24
Figura 4 – Mapa de localização dos bairros abastecidos pelo Sistema Pratagy	28
Figura 5 – Diagrama Simplificado do Sistema Pratagy e Integração com o Sistema Cardoso	o 29
Figura 6 – Fluxograma da Aplicação em Python Pratagy-Módulo1	32
Figura 7 – Exemplo de Gráfico Gerado para as Séries Temporais de Fator de Consumo Di	ário
	36
Figura 8 – Exemplo de Gráfico Gerado para as Séries Temporais de Fator de Consu	umo
Reunidos Mensal	37
Figura 9 – Exemplo de Gráfico Gerado para o Consumo Base Mensal	37
Figura 10 – Fluxograma da Aplicação em Python Pratagy-Módulo2	38
Figura 11 – Exemplo de Gráfico Gerado para o Consumo Base por Período	41
Figura 12 – Exemplo de Gráfico Gerado para o Fator de Consumo por Dia	41
Figura 13 – Exemplo de Gráfico Gerado para o Padrão de Consumo por Período	42
Figura 14 – vista aérea da ETA Josué Palmeira com a localização do tanque de contato e	e da
caixa de passagem de saída de água tratada	46
Figura 15 – Diagrama do Sistema Integrado Pratagy	47
Figura 16 – Esquema do Sistema Isolado do Reservatório Benedito Bentes	50
Figura 17 – Esquema do Sistema Isolado do reservatório R4A	51
Figura 18 – Nível do Reservatório Benedito Bentes Conforme Simulação para Dias Com	ıuns
	55
Figura 19 – Nível do Reservatório Benedito Bentes Conforme Simulação para Finais de Sem	ıana
	56
Figura 20 – Nível do Reservatório R1 Conforme Simulação para Dias Comuns	56
Figura 21 – Nível do Reservatório R1 Conforme Simulação para Finais de Semana	57
Figura 22 – Nível do Reservatório R4A Conforme Simulação para Dias Comuns	58
Figura 23 – Nível do Reservatório R4A Conforme Simulação para Finais de Semana	59
Figura 24 – Consumo base - Benedito Bentes - Agosto, Setembro, Outubro, Novembro de 2	023
- Dias Comuns	. 84

Figura $25-$ Consumo base - Benedito Bentes - Agosto, Setembro, Outubro, Novembro de 2023
- Finais de Semana
Figura 26 - Consumo base - R1 - Agosto, Setembro, Outubro, Novembro de 2023 - Dias
Comuns85
Figura 27 – Consumo base - R1 - Agosto, Setembro, Outubro, Novembro de 2023 - Finais de
Semana85
Figura 28 - Consumo base - R2a - Agosto, Setembro, Outubro, Novembro de 2023 - Dias
Comuns86
Figura 29 – Consumo base - R2a - Agosto, Setembro, Outubro, Novembro de 2023 - Finais de
Semana
Figura 30 - Consumo base - R2 - Agosto, Setembro, Outubro, Novembro de 2023 - Dias
Comuns
Figura 31 – Consumo base - R2 - Agosto, Setembro, Outubro, Novembro de 2023 - Finais de
Semana
Figura 32 - Consumo base - R4 - Agosto, Setembro, Outubro, Novembro de 2023 - Dias
Comuns
Figura 33 – Consumo base - R4 - Agosto, Setembro, Outubro, Novembro de 2023 - Finais de
Semana
Figura 34 – Padrão de Consumo - dias reunidos com curva média - Benedito Bentes - Agosto,
Setembro, Outubro, Novembro de 2023 - Dias Comuns
Figura 35 – Padrão de Consumo - dias reunidos com curva média - Benedito Bentes - Agosto,
Setembro, Outubro, Novembro de 2023 - Finais de Semana
Figura 36 - Padrão de Consumo - dias reunidos com curva média - R1 - Agosto, Setembro,
Outubro, Novembro de 2023 - Dias Comuns
Figura 37 - Padrão de Consumo - dias reunidos com curva média - R1 - Agosto, Setembro,
Outubro, Novembro de 2023 - Finais de Semana90
Figura 38 – Padrão de Consumo - dias reunidos com curva média – R2a - Agosto, Setembro,
Outubro, Novembro de 2023 - Dias Comuns
Figura 39 - Padrão de Consumo - dias reunidos com curva média - R2a - Agosto, Setembro,
Outubro, Novembro de 2023 - Finais de Semana
Figura 40 - Padrão de Consumo - dias reunidos com curva média - R2 - Agosto, Setembro,
Outubro, Novembro de 2023 - Dias Comuns
Figura 41 - Padrão de Consumo - dias reunidos com curva média - R2 - Agosto, Setembro,
Outubro, Novembro de 2023 - Finais de Semana92

Figura 42 – Padrão de Consumo - dias reunidos com curva média - R4 - Agos	sto, Setembro,
Outubro, Novembro de 2023 - Dias Comuns	93
Figura 43 – Padrão de Consumo - dias reunidos com curva média – R4 - Agos	sto, Setembro,
Outubro, Novembro de 2023 - Finais de Semana	93
Figura 44 – Reservatórios em Planta de Corte	94

LISTA DE QUADROS

Quadro 1 – Equações de cálculo dos volumes dos reservatórios	30
Quadro 2 – Nomenclaturas dos títulos das colunas dos arquivos importados	33
Quadro 3 – Planilhas produzidas para aplicação em Python	36
Quadro 4 – Dados dos Elementos do Sistema Integrado Pratagy	48
Quadro 5 – Dados dos Elementos do Sistema Isolado do Reservatório Benedito Bentes	50
Quadro 6 – Dados dos Elementos do Sistema Isolado do Reservatório R4A	51
Quadro 7 – Controle das Válvulas do Tipo FCV	54
Quadro 8 – Padrão de Operação das Bombas – (agosto a novembro de 2023)	54
Quadro 9 – Configurações dos Nós que possuem Consumo	55

LISTA DE TABELAS

Tabela 1 – Características dos Reservatórios	30
Tabela 2 – Características das bombas	31
Tabela 3 – Padrão de Consumo – (agosto a novembro de 2023)	43
Tabela 4 – Consumo Base (m³/h) – (agosto a novembro de 2023)	45
Tabela 5 – Coordenadas dos elementos do Sistema Pratagy e Integração com o Sistema Car	rdoso
	66

LISTA DE ABREVIATURAS E SIGLAS

SAA Sistema de Abastecimento de Água EEAB Estação Elevatória de Água Bruta

RMM Região Metropolitana de Maceió

CCOP Central de Controle Operacional

ETA Estação de Tratamento de Água

CASAL Companhia de Saneamento de Alagoas

RDA Rede de Distribuição de Água

RNV Reservatórios de Nível Variável

DMC Distritos de Medição e Controle

RNF Reservatórios de Nível Fixo

FCV Válvula Reguladora de Vazão

PSV Válvula Sustentadora de Pressão

SUMÁRIO

1	INTRODUÇÃO	16
1.1	OBJETIVOS	17
1.1.1	Objetivo Geral	17
1.1.2	Objetivos Específicos	17
2	REFERENCIAL TEÓRICO	18
2.1	SISTEMAS DE ABASTECIMENTO DE ÁGUA	18
2.2	MODELAGEM DE SISTEMAS DE ABASTECIMENTO DE ÁGUA	22
2.3	ESTUDOS DE CASO E APLICAÇÕES RELEVANTES	25
3	METODOLOGIA	27
3.1	CARACTERIZAÇÃO DO LOCAL DE ESTUDO	27
3.2	DESENVOLVIMENTO DAS APLICAÇÕES EM PYTHON	31
3.2.1	Módulo 1 da aplicação em python	31
3.2.1.1	Definição das variáveis (níveis e vazões dos reservatórios)	
3.2.1.2	Escolha do reservatório e período de análise	33
3.2.1.3	Carregamento dos arquivos de dados	33
3.2.1.4	Cálculo de consumo	34
3.2.1.5	Geração de resumos e gráficos	35
3.2.1.6	Separação dos dias úteis e finais de semana	35
3.2.1.7	Exportação dos resultados	35
3.2.2	Módulo 2 da aplicação em python	38
3.2.2.1	Definição das variáveis e opções de entrada	39
3.2.2.2	Carregamento dos arquivos de csv	39
3.2.2.3	Transpor os dados	39
3.2.2.4	ConcatenarDataFrames	39
3.2.2.5	Calcular z-scores	39
3.2.2.6	Identificação e remoção dos outliers	40
3.2.2.7	Geração dos DataFrames finais limpos	40
3.2.2.8	Exportação dos resultados	40
3.3	PADRÕES DE CONSUMO E CONSUMO BASE	42
3.4	MODELAGEM DO SISTEMA NO EPANET	45
3.5	SIMULAÇÃO COM AUXÍLIO DO EPANET	52
4	RESULTADOS E DISCUSSÕES	55

4.1	RESULTADOS DAS SIMULAÇÕES	55
4.1.1	Benedito Bentes	55
4.1.2	R1	56
4.1.3	R2	57
4.1.4	R2A	57
4.1.5	R4A	58
4.1.6	Booster R6A e Booster Jacintinho	59
5	CONSIDERAÇÕES FINAIS	59
5.1	CONCLUSÕES	59
5.2	SUGESTÕES PARA TRABALHOS FUTUROS	61
	REFERÊNCIAS	62
	APÊNDICE A	66
	APÊNDICE B	67
	APÊNDICE C	76
	APÊNDICE D	83
	APÊNDICE E	84
	ANEXO A	94
	ANEXO B	96

1 INTRODUÇÃO

A operação de sistemas de abastecimento de água (SAA) visa a assegurar o atendimento à demanda populacional, direcionando o líquido em quantidade e qualidade a estabelecimentos públicos, comerciais, industriais e residenciais. Em grandes centros urbanos é comum que os sistemas sejam integrados, implicando numa relação de interdependência no abastecimento de áreas distintas. O gerenciamento do fluxo pode ser atribuído a Centrais de Controle Operacional, em que os Controladores tomam decisões com base em dados de telemetria e realizam manobras de forma remota.

Nesse contexto, a Central de Controle Operacional - CCOP – da Companhia de Saneamento de Alagoas (CASAL) – recebe as informações advindas de todos os Sistemas Produtores de 10 municípios da Região Metropolitana de Maceió – RMM. A Central monitora e controla o SAA Pratagy desde a Estação Elevatória de Água Bruta - EEAB até os pontos de entrega para a empresa responsável pela distribuição, onde foram instalados macromedidores.

Como o sistema é integrado, cabe à CCOP gerenciar o fluxo de modo a atender as demandas de consumo, evitar o extravasamento dos reservatórios e assegurar que os níveis variem entre o mínimo e o máximo projetado. O cenário ideal de operação é aquele em que o volume produzido é compatível com o consumo populacional de tal forma que os níveis nos reservatórios estejam de acordo com o planejado. Diversas são as intercorrências que podem influenciar o Sistema, exigindo que o Controlador tome decisões e realize manobras diante do cenário imposto.

O trabalho desenvolvido por Vicente (2005) propõe um modelo de operação para centros de controle de sistemas de abastecimentos de água e realiza um estudo de caso de operação em tempo real de um sistema adutor complexo. O modelo proposto fornece dados para suporte à decisão ao tempo em que fomenta a operação automática com supervisão de controladores.

Segundo Zahed (1990), uma maior eficiência e confiabilidade são obtidas com a operação automática do Sistema de Abastecimento de água. Na operação automática, o operador passa a atuar como supervisor do sistema e as tarefas repetitivas são minimizadas, permitindo, com isso, que o colaborador possa atuar de maneira crítica frente ao cenário enfrentado. Quando a operação não é automática, os critérios de operação não são explícitos, variando de acordo com a experiência e o comportamento de cada operador.

Nazaré (2012) enfatiza que as ações de otimização na operação de sistemas de abastecimento de água geram reflexos na melhoria da qualidade da água, na confiabilidade do

sistema, na redução do custo operacional, trazendo ganhos econômicos, financeiros, ambientais e sociais.

Vicente (2005) destaca que em um sistema onde não há limitações físicas, o problema de otimização se resume ao atendimento da demanda de água através da adução da vazão média em cada reservatório setorial.

Em meio à complexidade da operação do SAA Pratagy, foi identificada oportunidade de melhoria ao trabalho exercido pela CCOP por meio do uso de ferramentas computacionais, como a linguagem de programação *Python* e o *software EPANET*, para realizar simulações e estabelecer regras operacionais que norteiem as ações de acordo com cenários mapeados.

O presente trabalho delimita-se ao estudo do Sistema Pratagy, desde a caixa de passagem de saída de água tratada da estação de tratamento de água (ETA) até os reservatórios associados aos pontos de entrega da água à Concessionária responsável pela distribuição de água. Propõe, ainda, a concepção de ferramentas para análise e tomada de decisão para melhoria da operação do Sistema Pratagy. As simulações com o modelo hidráulico contribuirão para estudos futuros da operação do SAA e para a análise da eficiência energética, fomentando planos de manutenção e melhorias que reduzam perdas.

1.1 OBJETIVOS

1.1.1 Objetivo Geral

Esta pesquisa teve como objetivo desenvolver e aplicar ferramentas, a partir da análise de dados históricos de referência, para modelar, simular e estabelecer regras de operação para o sistema de abastecimento de água Pratagy.

1.1.2 Objetivos Específicos

- Desenvolver aplicações em Python para cálculo do volume consumido pela rede, do padrão de consumo e do consumo base para cada área de abastecimento.
- Construir modelo do Sistema Pratagy utilizando o *EPANET*
- Determinar as regras operacionais e verificar o atendimento da demanda de consumo das áreas de abastecimento do Sistema Pratagy, considerando a máxima produção possível da ETA Josué Palmeira, para o período em análise.

2 REFERENCIAL TEÓRICO

2.1 SISTEMAS DE ABASTECIMENTO DE ÁGUA

De acordo com a Portaria GM/MS nº 888, de 04 de maio de 2021 o sistema de abastecimento de água para consumo humano (SAA) é definido como a instalação composta por um conjunto de obras civis, materiais e equipamentos, desde a zona de captação até as ligações prediais, destinada à produção e ao fornecimento coletivo de água potável, por meio de rede de distribuição.

A água bruta proveniente de mananciais subterrâneos ou superficiais, via de regra, apresenta qualidade incompatível com o consumo humano. Dessa forma, faz-se necessário direcionar o fluxo dos mananciais até estações de tratamento de água (ETA), onde processos físico-químicos tornam a água potável.

As ETAs foram criadas para remover os riscos presentes nas águas das fontes de abastecimento, por meio de uma combinação de processos e de operações de tratamento. A seleção da tecnologia deve satisfazer três conceitos fundamentais: múltiplas barreiras, que considera haver mais de uma etapa de tratamento; tratamento integrado associando barreiras; tratamento por objetivos que sugere que cada etapa do tratamento reduz um tipo de risco específico (DI BERNARDO e SABOGAL, 2008).

A concepção de um SAA pode variar, mas em geral, o fluxo sai da ETA e segue por adutoras até os reservatórios e de lá para a rede de distribuição de água (RDA). Quando a topografia não favorece o abastecimento por gravidade, a água é aduzida para reservatórios elevados. Netto et al (1975) definem estações elevatórias, casas de bombas e "boosters" como instalações de mesma natureza destinadas a abrigar conjuntos de recalque e dispositivos complementares. Os autores especificam que nas instalações do tipo "booster" não existe poço de sucção, porque a água que é encaminhada para a entrada da bomba provém da tubulação sob pressão.

As principais finalidades dos reservatórios de distribuição são regularizar a vazão, assegurar o abastecimento, prover reserva de água para incêndio, regularizar as pressões, além de permitir o bombeamento de água fora do horário de pico elétrico e possibilitar o aumento do rendimento dos conjuntos elevatórios (TSUTIYA, 2006).

Garcez (1976) classifica os reservatórios de acordo com a localização no sistema de abastecimento (reservatório de montante e reservatório de jusante) e de acordo com a localização no terreno. No último caso, os reservatórios podem ser do tipo apoiados, enterrados, semi-enterrados, "stand-pipes" ou reservatórios elevados.

A operação de sistemas de abastecimento de água constitui-se na principal ação de gestão de empresas de saneamento, influenciando diretamente na qualidade do sistema de abastecimento em termos sanitários, ambientais, econômicos e sociais. O autor enfatiza que a possibilidade da deterioração da qualidade no trajeto entre a ETA e o consumidor final tem levado a órgãos estatais de muitos países a investirem no desenvolvimento de técnicas avançadas de análises e controles de abastecimento de água (GOMES, 2019).

A eficiência do sistema de abastecimento de água pode ser mensurada pela adequação das vazões e pressões disponíveis aos pontos de consumo, pela garantia da água potável fornecida ao consumidor, pela intermitência ou não do abastecimento, pelos níveis de perdas de água e pelo uso racional da energia (GOMES, 2019).

Na operação de reservatórios devem ser considerados alguns valores limites para nível, que podem influenciar na tomada de decisão pela abertura/fechamento de válvulas ou pelo acionamento ou desligamento de bombas. Tais limites são conceituados por Tsutiya (2006):

- limite baixo: nível mínimo do reservatório para que não haja formação de vórtice, entrada de ar na tubulação de saída, ou mal funcionamento na tubulação de saída, ou mal funcionamento da elevatória (se houver);
- limite alto: nível máximo do reservatório para que haja tempo hábil de manobra,
 evitando que a água atinja o extravasor ou que a boia de segurança seja acionada;
- limite de boia: nível d'água a partir do qual é acionado o dispositivo de uma boia que atua localmente no fechamento da válvula de controle do reservatório, independente da atuação de um operador, sendo que a boia é considerada um recurso de segurança extrema;
- limite de extravasamento: lâmina d'água a partir da qual começa haver perda d'água pelo sistema de extravasamento.

Destaca-se que o volume nominal é o volume definido entre o fundo do reservatório e o nível de extravasamento. O volume útil é definido entre o limite baixo e o limite alto e a folga é determinada pela diferença entre o limite da boia e o limite alto.

Para a otimização dos reservatórios com o objetivo de melhorar a distribuição de água, aproveitar ao máximo a capacidade de reservação e dar segurança operacional ao sistema, são necessários estabelecer os limites operacionais de segurança e as regras operacionais (TSUTIYA, 2006). As regras operacionais para operação de reservatórios objetivam a redução

do custo com energia elétrica, a regularização da vazão de entrada nos reservatórios e o aumento da confiabilidade do sistema.

Para a implantação de regras operacionais deve-se considerar a distribuição sazonal das demandas, além de outros fatores que podem influenciar diretamente o comportamento das curvas de consumo. Desta forma são estabelecidas as curvas de consumo máximas e mínimas registradas por dados históricos coletados, compondo as condições de contorno das curvas de consumo setoriais (TSUTIYA, 2006).

Tsutiya (2006) considera a previsão do consumo de água como elemento de suma importância para o planejamento, gerenciamento e operação dos sistemas de abastecimento de água e classifica os consumidores de água em categorias de acordo com o uso como doméstico, comercial, industrial ou público. De acordo com o autor, ocorrem variações no consumo que podem ser anuais, mensais, diárias horárias ou instantâneas. Outros fatores que podem influenciar a demanda por água são os hábitos populacionais e as condições climáticas.

A sazonalidade das chuvas em Maceió tem três estações do ano bem definidas. A estação chuvosa corresponde a abril a julho (59,52% da chuva), a estação seca de outubro a fevereiro (17,20% da chuva) e a estação de transição março, agosto e setembro (23,28%). Esse comportamento pode ser observado através da Figura 1 (OLIVEIRA JÚNIOR *et al.*, 2021).

350 (a)

WESES

(a)

The state of the state

Figura 1 – Chuva Média Mensal em Maceió no período de 1960 a 2016 (mm)

Fonte: OLIVEIRA JÚNIOR et al. (2021)

Há meses em que o consumo d'água é maior, e dentro de um mesmo mês existem dias em que a demanda de água predomina sobre os demais. Nas horas diurnas a vazão supera o valor médio, atingindo valores máximos nas horas das refeições. No período noturno o

consumo cai, abaixo da média, apresentando valores mínimos nas horas da madrugada (NETTO et al, 1975).

O conhecimento do padrão de consumo é importante para a gestão do SAA. A vazão horária consumida em cada área de abastecimento pode ser conhecida, entre outros, por meio do tratamento estatístico dos dados de micromedição, pela macromedição em distritos de medição de controle (DMC), pela macromedição na saída do reservatório a montante da área de abastecimento.

Quando há macromedição apenas na entrada do reservatório, é possível conhecer a vazão de consumo horária por meio do balanço de massa, considerando para o cálculo a vazão de entrada e a variação de volume no reservatório. Uma vez que se disponha dados de vazão e nível, idealmente a cada cinco minutos, são geradas séries temporais adimensionais das vazões médias de consumo diárias. Cada ponto no gráfico é, então, resultado da razão da vazão horária pela média da vazão horária obtida para cada dia.

A produção de padrões diários de consumo necessita de séries de registos com a duração mínima de 10 a 15 dias do tipo daquele que se pretende tipificar. Ou seja, para produzir um padrão diário de consumo em dia útil, poderá bastar um registo de 2 a 3 semanas, ou seja, 10 a 15 ocorrências de um dia útil; para produzir um padrão típico de um domingo, com a significância desejável, serão necessárias 10 semanas de registo (10 domingos) (COELHO; LOUREIRO; ALEGRE, 2006). Os padrões podem ser obtidos por meio de estudos de séries temporais, com auxílio de ferramentas como *Phyton*.

Durante a operação do SAA é importante considerar condições extremas de consumo e vazão disponibilizada. Nesse sentido os parâmetros *K1*, *K2 e K3* são fundamenteis para o projeto e planejamento de ações em sistemas de abastecimento. A relação entre o maior consumo diário verificado no período de um ano e o consumo médio diário neste mesmo período, considerando sempre as mesmas ligações, fornece o coeficiente de maior consumo K1, conforme apresentado na Equação 1 (TSUTIYA, 2006).

$$K1 = \frac{\text{maior consumo diário no ano}}{\text{consumo médio diário no ano}} \tag{1}$$

A relação entre a maior vazão horária observada num dia e a vazão média horária do mesmo dia, define o coeficiente da hora de maior consumo K2 como apresentado na Equação 2 (TSUTIYA, 2006).

$$K2 = \frac{\text{maior vazão horária no dia}}{\text{vazão média do dia}}$$
 (2)

O coeficiente K3 apresentado na Equação 3 é obtido a partir da razão entre o menor consumo horário do dia e o consumo médio do dia. Esse coeficiente serve como indicativo para a detecção de perdas físicas de água em determinados setores (VICENTE, 2005).

$$K3 = \frac{menor\ consumo\ horário\ do\ dia}{consumo\ médio\ do\ dia} \tag{3}$$

Durante a operação do SAA deve-se considerar o volume de água consumido na operação da ETA para lavagem de filtros e com a descarga de fundo de decantadores. Possíveis perdas com vazamentos também devem ser consideradas. Segundo Parsekian (1998 apud Silva, 2007, p. 3) especialistas estimam que o processo de tratamento de água numa ETA seja responsável por, aproximadamente, 5% de perdas de água.

2.2 MODELAGEM DE SISTEMAS DE ABASTECIMENTO DE ÁGUA

O EPANET é um programa de computador que permite executar simulações estáticas e dinâmicas do comportamento hidráulico e de qualidade da água em redes de distribuição pressurizada. O EPANET permite obter os valores da vazão em cada tubulação, da pressão em cada nó, da altura de água em cada reservatório de nível variável e da concentração de espécies químicas através da rede durante o período de simulação, subdividido em múltiplos intervalos de cálculo. Adicionalmente, além de espécies químicas, o modelo simula o cálculo da idade da água e o rastreio da origem de água em qualquer ponto da rede (GOMES, 2009).

O EPANET modela um sistema de distribuição de água como sendo um conjunto de trechos ligados a nós (Figura 2). Os trechos representam as tubulações, bombas e válvulas de controle. Os nós representam conexões, reservatórios de nível fixo (RNF) e reservatórios de nível variável (RNV) (GOMES, 2009).

RNF RNV Nó Bomba Válvula Tubulação

Figura 2 – Elementos Físicos do Modelo de um Sistema de Abastecimento de Água

Fonte: GOMES (2009)

Adicionalmente aos componentes físicos, o EPANET permite definir três categorias de informação sobre a rede: curvas, padrões e controles, que descrevem o comportamento e os aspectos operacionais de um sistema de distribuição de água (GOMES, 2009).

Os modelos simulados a partir do EPANET utilizam curvas que relacionam duas grandezas, podendo ser do tipo curva da bomba, curva de rendimento, curva do volume e curva de perda de carga (GOMES, 2009).

Um Padrão Temporal é constituído por um conjunto de fatores multiplicativos que podem ser aplicados ao valor de uma determinada grandeza, de forma a representar a sua variação no tempo. O consumo nodal, a carga hidráulica num reservatório de nível fixo, os esquemas de bombeamento e a entrada de um parâmetro de qualidade da água na rede podem estar associados a um padrão temporal (GOMES, 2009).

Os Controles são um conjunto de instruções que estabelecem o modo como a rede opera ao longo do tempo. Eles especificam o estado dos trechos selecionados em função do tempo, alturas de água num reservatório de nível variável e valores de pressão em pontos específicos da rede. Os controles podem ser simples ou programados. O primeiro tipo altera o estado ou as propriedades de um trecho considerando a altura de água num reservatório de nível variável, a pressão num nó, o instante de simulação ou o instante do dia. Os controles programados permitem que o estado e as propriedades dos trechos dependam da combinação de um conjunto de condições que podem ocorrer na rede, após o cálculo das condições hidráulicas iniciais (GOMES, 2009).

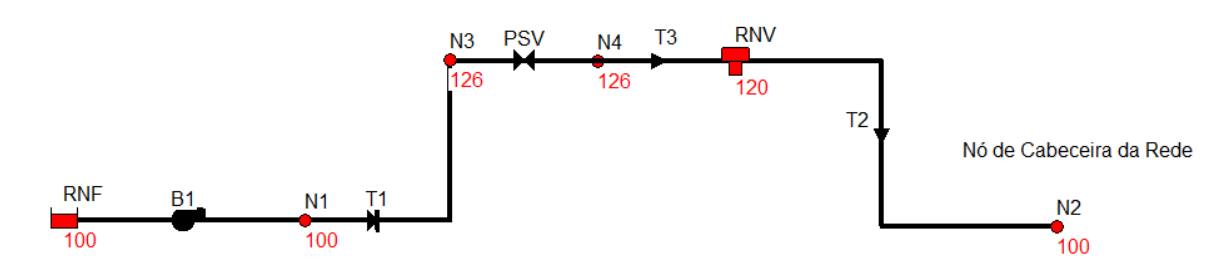
Depois de uma determinada rede ter sido apropriadamente descrita, se pode simular o seu comportamento hidráulico e de qualidade da água. Existem cinco categorias de opções

que controlam o modo como o EPANET simula uma rede: Hidráulica, Qualidade, Reações, Tempos e Energia (GOMES, 2009).

O EPANET permite que se comparem os resultados da simulação com os dados de medições em campo. A comparação pode ser efetuada através de gráficos de séries temporais, para localizações selecionadas na rede, ou utilizando a caixa de diálogo do Relatório de Calibração, que permite considerar múltiplas localizações (GOMES, 2009).

Gomes (2009) apresenta um modelo para o estudo de um SAA composto por uma fonte de água (reservatório de nível fixo – RNF) de onde um conjunto motobomba aduz água para um reservatório de nível variável (RNV), conforme representado na Figura 3. A partir do RNV o fluxo segue um nó na cabeceira da rede. No trecho T1 há uma válvula de retenção e entre os nós N3 e N4 foi adicionada uma válvula de retenção do tipo PSV (válvula sustentadora de pressão). Essa válvula é utilizada como artifício para que o EPANET processe os dados considerando que o fluxo entra no reservatório pela parte superior e a rede a montante não sofre os efeitos da pressão da lâmina d'água do reservatório. O trecho T3 é adicionado como requisito do EPANET, já que não é possível interligar uma válvula diretamente no reservatório.

Figura 3 – Modelo de Sistema de Abastecimento de Água com Entrada do Fluxo de Água no Reservatório pela Parte Superior



Fonte: adaptado de GOMES (2019)

As válvulas são elementos do modelo que podem existir fisicamente ou não. Em alguns casos são utilizadas para simular condições específicas de funcionamento. A válvula reguladora de vazão (FCV) serve para limitar a vazão máxima nas tubulações em que estão inseridas. A válvula sustentadora de pressão à montante (PSV) é frequentemente utilizada como artifício de simulação para modelar uma entrada de vazão por cima em um reservatório de nível variável (RNV). Essas válvulas PSV ou FCV não podem ser ligadas diretamente a um reservatório de nível fixo ou a um reservatório de nível variável. Como artifício, uma determinada extensão de tubulação deve ser utilizada para separar os dois componentes (COELHO; LOUREIRO; ALEGRE, 2006).

2.3 ESTUDOS DE CASO E APLICAÇÕES RELEVANTES

Vicente (2005) propõe um modelo de operação sustentado por um sistema de suporte à decisão para operar a distribuição de água em tempo real, atendendo a condições e restrições hidráulicas com o mínimo custo de energia elétrica. As condições hidráulicas são avaliadas por um modelo simulador previamente montado e calibrado, cujos resultados são analisados por um modelo de otimização baseado em programação linear. A operação em tempo real exige a alimentação automática e constante de informações operacionais, com atualização em intervalos inferiores a uma hora. Para garantir eficiência, o modelo utiliza simulações hidráulicas para prever o consumo nas próximas horas, refinando esses critérios com um modelo dinâmico de previsão de demanda. O modelo proposto integra todos esses sistemas por meio de uma interface testada no Sistema Adutor Metropolitano de São Paulo, demonstrando eficiência ao resultar em uma redução significativa no custo de energia elétrica.

Nazaré (2012) apresentou um estudo de caso de um sistema adutor de abastecimento d'água utilizando o EPANET, determinando 6 (seis) cenários ou estratégias operacionais com foco na redução do custo energético, mantendo a confiabilidade do sistema. Os resultados mostraram que o uso da simulação computacional é uma metodologia viável que possibilita a construção de regras e alternativas operacionais que permitem à equipe gestora tomar decisões mais rápidas e de forma mais eficiente visando à otimização operacional do sistema.

Santos (2022) realizou um estudo sobre o impacto da realocação de moradores de diversos bairros de Maceió em virtude da subsidência do solo causada pela exploração de minas de sal em área urbana. Foi observado o aumento abrupto da demanda por água nas áreas receptoras, impactando diretamente o Sistema de Abastecimento de Água (SAA). A caracterização populacional foi baseada em dados do Instituto Brasileiro de Geografia e Estatística (IBGE), Sistema Nacional de Informações sobre Saneamento (SNIS) e CASAL, e simulações foram realizadas no EPANET após a modelagem das redes no *software QGIS*. Os resultados indicaram reduções de pressão e aumentos de perda de carga, resultando em desabastecimento e vazamentos, sendo sugeridas redes de reforço, expansão do sistema e controle ativo de vazamentos como estratégias mitigadoras.

Moraes (2022) investigou o impacto da desocupação de residências devido à instabilidade do solo em bairros afetados em Maceió no SAA da capital. A caracterização da área e do sistema de abastecimento foi realizada, utilizando o *software* QGIS para o cadastro

da rede e parâmetros, posteriormente exportados para o EPANET para a execução da simulação hidráulica e calibração de cenários antes e após o evento.

Com a desocupação dos bairros, foi registrada uma redução de 41,30% nas ligações ativas de água, uma diminuição de 44,45% no consumo de água e uma queda de 31,72% no faturamento, representando um prejuízo mensal de mais de 500 mil reais. A simulação hidráulica indicou que 55,46% da rede apresentou aumento de pressão entre 0 e 5 mca, e 15,14% com acréscimo superior a 10 mca, especialmente nos horários de maior consumo, sugerindo maior propensão a vazamentos. A perda de carga foi reduzida devido à diminuição do atrito causado pela menor demanda.

As análises revelaram que áreas com maior variação de pressão e perdas de carga podem estar associadas a locais desocupados, indicando a necessidade de estratégias de controle de pressão e realocação de estruturas para garantir a sustentabilidade do sistema em áreas afetadas.

Bonadio (2023) desenvolveu um software, em linguagem de programação Python, que verifica a aplicabilidade da solução obtida pelo modelo matemático de otimização energética desenvolvido por Parras (2020), de forma a analisar a solução proposta por ele, e simulá-la no simulador hidráulico EPANET. Em seu trabalho, Parras (2020) propõe um modelo matemático de otimização linear inteiro misto, que visa minimizar os gastos com energia elétrica de um sistema de abastecimento de água, com restrições que facilitam a operação da rede por parte do operador. Um planejamento do estoque de água nos reservatórios também é realizado, de modo a garantir o total atendimento da demanda. Características de hidráulica e dinâmica de fluidos relevantes para o problema são consideradas pelo modelo, juntamente com a atual estrutura tarifária energética do Brasil.

Lourenço *et al.* (2024), realizou um estudo com dados de níveis de reservatórios, pressões e demandas de consumo. O trabalho objetivou avaliar a potencialidade do programa R interligado ao EPANET para banco de dados de sistemas de abastecimento de água. Nesse intuito, considerou-se a metodologia em propor uma simulação no R de uma rede de distribuição de água teórica criada no EPANET para avaliar os resultados da demanda de consumo diário. A rede proposta foi simulada variando-se demandas de consumo com os níveis do reservatório, sendo obtidos vários resultados no período de 24 horas. Consequentemente, foi possível automatizar o processo de análises estatísticas gerando tabelas, gráficos referentes à dispersão das demandas, pressões dos nós, vazões dos trechos oriundos de cada variação de consumo e níveis de reservatório. Os resultados obtidos comprovaram a compatibilidade e a

praticidade do modelo matemático de distribuição de água projetada no programa EPANET simulada no R e armazenada no banco de dados SQL server.

Rodrigues (2024) propôs alternativas para reduzir os custos de energia elétrica no bombeamento do sistema de abastecimento de água do município de Miranda/MS, analisando o sistema de abastecimento de todos os bairros e realizando simulações com base no levantamento das condições operacionais e demandas. Três cenários foram avaliados: no Cenário 01, foi analisada a troca de bombas e o custo de energia; no Cenário 02, foi diagnosticada a bomba EAT-002 e implementados inversores de frequência na EAT-003; e no Cenário 03, medidas mais abrangentes incluíram a substituição de bombas e redes antigas, instalação de nova adutora, reservatório de maior capacidade e estratégias de gerenciamento de energia. O Cenário 03 mostrou-se mais eficiente, com payback simples estimado em 15 anos, garantindo maior eficiência energética e viabilidade com taxa de desconto de 7,5%, mesmo considerando a ampliação do sistema para atender mais residências.

3 METODOLOGIA

Para o atendimento dos objetivos deste trabalho fez-se necessário a construção de um modelo computacional do SAA Pratagy, com o auxílio da ferramenta EPANET. Os elementos físicos do modelo relacionados a redes, reservatórios e sistemas elevatórios foram levantados por meio de consulta ao acervo de projetos da CASAL. Elementos não físicos, como padrões de consumo e consumo base, foram gerados com auxílio de aplicações em Python desenvolvidas pelo autor.

A seguir, descreve-se o processo metodológico por meio dos seguintes subitens: caracterização do local de estudo; desenvolvimento das aplicações em Python; padrão de consumo e consumo base; modelagem do sistema no EPANET e simulação com auxílio do EPANET

3.1 CARACTERIZAÇÃO DO LOCAL DE ESTUDO

A cidade de Maceió é abastecida pelos sistemas de abastecimento de água Catolé-Cardoso, Aviação, Pratagy (captação em manancial superficial) e por captações subterrâneas. O Sistema Pratagy foi projetado para o atendimento integral da cidade, após a conclusão da última etapa, com uma vazão de 15.552 m³/h. De acordo com Costa e Reis (2007), a obra foi iniciada em 1984 e em 2006 a estação operava com uma vazão de 2.600 m³/h. De acordo com a CASAL (2024), atualmente, a ETA possui capacidade nominal para operar com 3.888 m³/h.

De acordo com a CASAL, o Sistema Pratagy representa cerca de 40% do abastecimento da cidade e atende aos seguintes bairros: Cruz das Almas, Jatiúca, Ponta Verde, Pajuçara, Jaraguá, Poço, Centro, Prado, Levada, Ponta Grossa, Ponta da Terra, Vergel do Lago, Trapiche, Pontal da Barra, Benedito Bentes, Gruta, Farol, Pitanguinha, Jacintinho e Mangabeiras (Figura 4).

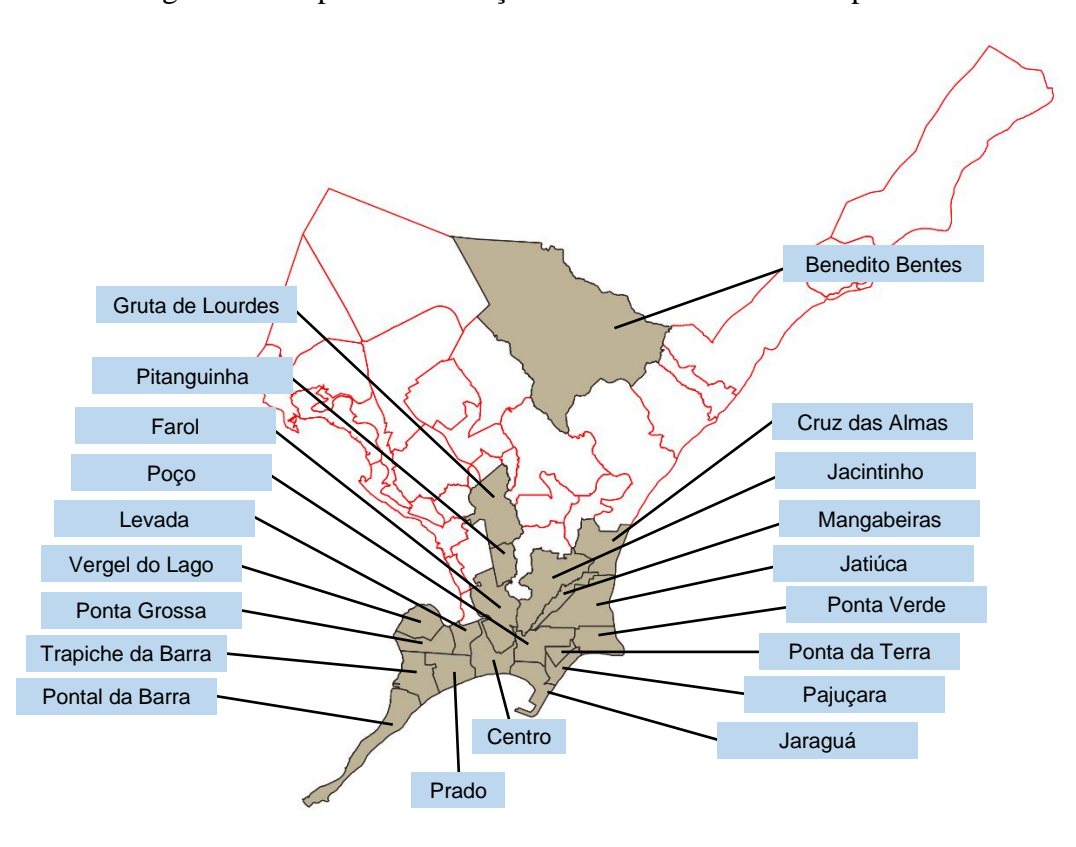


Figura 4 – Mapa de localização dos bairros abastecidos pelo Sistema Pratagy

Fonte: Adaptado CASAL (2024)

Pode-se ver no diagrama simplificado do Sistema Pratagy apresentado na Figura 5 que o fluxo inicia com a captação no rio homônimo e é elevado até a ETA Josué Palmeira. Após o tratamento, grande parte da água segue por gravidade para reservatórios apoiados, semienterrados e *boosters* que direcionam o fluxo para a parte baixa da cidade.

O segundo maior bairro de Maceió, situado na parte alta da cidade, é abastecido por meio de estação elevatória localizada na área da ETA, onde uma bomba centrífuga eleva o fluxo de um reservatório semienterrado (SBB) para um reservatório elevado (TBB). Deve-se observar que poços externos à ETA direcionam o fluxo para o reservatório semienterrado do Benedito Bentes. Há de se destacar também que, poços na área da ETA direcionam o fluxo para o tanque de contato da ETA, onde ocorre o processo de desinfecção.

O reservatório apoiado R2A, em geral, é abastecido pelo Sistema Catolé-Cardoso. A rede que interliga o Sistema Pratagy ao reservatório R2A é mantida fechada, sendo aberta apenas em caso de manutenção do Sistema Catolé-Cardoso ou por decisão operacional, em caso de necessidade de reforço ao abastecimento da área abrangida por esse reservatório.

O conjunto de coordenadas no *datum* WGS-84 dos elementos dos Sistemas Pratagy e Cardoso presentes na Figura 5 são apresentados no Apêndice A.

Dados da CASAL de 2024 dão conta que o somatório das vazões dos poços externos é de cerca de 550 m³/h. Já os poços internos produzem cerca de 250 m³/h. Vale ressaltar que o poço P-MAC-BB-05 (20 m³/h) pode ter o fluxo direcionado à ETA apenas nos finais de semana. Durante os dias úteis, o fluxo desse poço é direcionado a uma central de envase de garrafões de 20 litros para uso na Companhia e copos para uso em eventos.

As plantas de corte dos reservatórios do Sistema Pratagy são apresentadas no Anexo A.

As características gerais dos reservatórios são descritas na Tabela 1.

POÇOS CAPTAÇÃO **EXTERNOS** SUPERFICIAL **TBB** BOO-JAC BOO-R6A CAPTAÇÃO **EEAT** SUBTERRÂNEA SBB **EEAB** CAP PRATAGY ESTAÇÃO DE СХ TRATAMENTO DE ÁGUA CAIXA DE **PASSAGEM** R4 POÇOS R2A Ċ R2 **EEAT ESTAÇÕES** INTERNOS **ELEVATÓRIAS** R4A E BOOSTER RESERVATÓRIOS **APOIADOS** SEMI-ENTERRADOS RESERVATÓRIOS **EEAT ELEVADOS** REDE DE DISTRIBUIÇÃO

Figura 5 – Diagrama Simplificado do Sistema Pratagy e Integração com o Sistema Cardoso

Fonte: Autor (2024)

Tabela 1 – Características dos Reservatórios

Reservatório	Benedito Bentes	Benedito Bentes	R1	R2	R2a	R4	R4a
tipo	semienterrado	elevado	apoiado	semienterrado	apoiado	semienterrado	elevado
volume nominal (m³)	6500	2.000	8.000	3.000	4.000	4000	3.000
cota de nível máximo (m)	84,60	120,65	58,42	42,25	51,73	54,10	78,64
cota de fundo (m)	80,90	113,05	52,42	39,25	45,43	50,60	72,64
nível máximo (m)	3,70	7,60	6,00	3,00	6,30	3,50	6,00

Fonte: CASAL (2024)

Para o cálculo do volume dos reservatórios, foram utilizadas as medidas aferidas por meio da versão digitalizada das plantas de corte dos reservatórios apresentadas no Anexo A. A imagem foi importada para *software* CAD e, após ajuste de escala, foram aferidas as distâncias e efetuados os cálculos de modo a obter as seguintes equações (Quadro 1).

Quadro 1 – Equações de cálculo dos volumes dos reservatórios

Reservatório	Equação	Vmax (m³)	DVN
Benedito Bentes semienterrado	vol(sbb) = 1800h	6660	2,46%
Benedito Bentes Elevado	$vol(tbb) = 0,9608h^3 + 23,176h^2 + 35,367h$	2029	1,45%
R1	$vol(r1) = -62,278h^2 + 1690,1h$	7898	-1,28%
R2	vol(r2) = 1005,28h	3015	0,50%
R2a	vol(r2a) = 653,31h	4115	2,89%
R4	vol(r4) = 1062,10h	3717	-7,07%
R4a	$vol(r4a) = 1,395h^3 + 33,161h^2 + 262,625h$	3070	2,33%

Vmax: volume calculado para o nível máximo (m³); DVN: Diferença com relação ao volume nominal; vol: volume; h: altura de lâmina de água

Fonte: Autor (2024)

A seguir são apresentadas as características das bombas das elevatórias do Benedito Bentes e R4 (Tabela 2). Em virtude da indisponibilidade dos dados da bomba B1R4, será considerado nas simulações que as bombas da elevatória do R4 possuem as mesmas características e operam ao mesmo tempo em paralelo.

Tabela 2 – Características das bombas

Bomba	Vazão (l/s)	Altura Manométrica (mca)
B1BB	208,33	55
B1R4	-	-
B2R4	151,90	26,8

Fonte: CASAL (2024)

Em virtude da indisponibilidade dos dados das bombas dos *boosters* R6A e do Jacintinho, serão considerados nas simulações suas vazões médias de operação, respectivamente, 400 m³/h e 50 m³/h. Os dados da elevatória Cardoso-R2A não foram levados em consideração nas simulações, pois, não fazem parte do Sistema Pratagy.

Os dados relacionados às redes serão apresentados em conjunto com o diagrama correspondente no subitem 3.4.

3.2 DESENVOLVIMENTO DAS APLICAÇÕES EM PYTHON

Para que os padrões de consumo e o consumo base de cada área de abastecimento fossem conhecidos, foram desenvolvidas duas aplicações em Python. A primeira, denominada Pratagy-Módulo1, recebe como entrada os arquivos diários exportados a partir do banco de dados de telemetria. Após o processamento, a ferramenta gera relatórios e gráficos do comportamento mensal para todas as áreas de abastecimento em análise.

A segunda aplicação, denominada Pratagy-Módulo2, recebe como entrada os arquivos dos relatórios mensais exportados a partir do processamento da aplicação anterior. Após o processamento, a ferramenta gera relatórios e gráficos do comportamento do período escolhido para todas as áreas de abastecimento em análise.

3.2.1 Módulo 1 da aplicação em python

O fluxograma de funcionamento da aplicação Pratagy-Módulo1 e apresentado na Figura 6.

INÍCIO Definição das variáveis de nível e vazão para diferentes Definição das reservatórios variáveis Definição das expressões de volume de cada reservatório Usuário escolhe o reservatório via menu Escolha do O código retorna o reservatório escolhido, nível, vazão de reservatório entrada e expressão de volume Escolha do Usuário escolhe o mês e o ano via menu período de análise O código retorna o mês e o ano escolhidos Carregar o arquivo CSV correspondente ao dia Para cada Carregamento dia do dos arquivos de dados Corrigir e preencher os valores de nível e vazão mês escolhido Calcular altura e volume Calcular a variação de volume e a vazão média por hora Cálculo de Para cada consumo dia Calcular o consumo horário, consumo base diário e o fator de consumo Criar e salvar gráficos diários do fator de consumo Geração de Criar um gráfico consolidado com os fatores de consumo de resumos e todos os dias gráficos Gerar gráfico do consumo base por dia Separação de dias úteis e Organizar os dados entre dias comuns e finais de semana finais de semana **Exportação** Exportar os resultados para planilhas CSV (fator de dos consumo e consumo base) resultados **FIM**

Figura 6 – Fluxograma da Aplicação em Python Pratagy-Módulo1

Fonte: Autor (2024)

3.2.1.1 Definição das variáveis (níveis e vazões dos reservatórios)

Na base de dados importada, as colunas de nível e vazão possuem a seguinte designação (como no exemplo para a área do Benedito Bentes): "Penas do Gráfico-RMM Benedito Bentes I - REL\\Nível (MCA)"; "Penas do Gráfico-RMM Benedito Bentes I - REL-Vazão Entrada". As variáveis foram definidas como nivel_rese_bb e vazao_ent_rese_bb e recebem os dados associados as nomenclaturas do arquivo em csv.

As composições das nomenclaturas trazem informações referentes aos parâmetros de visualização dos gráficos gerados (Penas do Gráfico), a região de operação (Região Metropolitana de Maceió – RMM), a área de abastecimento (no caso dos exemplos acima,

Benedito Bentes), o tipo de reservatório (nos exemplos acima, Reservatório Elevado – REL) e por fim, a informação do dado avaliado, podendo esta ser referente ao nível ou vazão.

O Quadro 2 apresenta a relação das variáveis, atribuídas nas aplicações em *Python*, com as nomenclaturas dos títulos das colunas nos arquivos importados pelas aplicações.

Quadro 2 – Nomenclaturas dos títulos das colunas dos arquivos importados

Nomenclaturas dos títulos das colunas dos arquivos em csv	Variável associada
"Penas do Gráfico-RMM Benedito Bentes I - REL\\Nível (MCA)"	nivel_rese_bb
"Penas do Gráfico-RMM Benedito Bentes I - REL-Vazão Entrada"	vazao_ent_rese_bb
"Penas do Gráfico-RMM R-01 - RES - Câmara 02\\Nível (MCA)"	nivel_rese_r1
"Penas do Gráfico-RMM R-01 - RES - Câmara 01\\Vazão Sucção"	vazao_ent_rese_r1
"Penas do Gráfico-RMM R-02\\Nível (MCA)"	nivel_rese_r2
"Penas do Gráfico-RMM R-02\\Vazão Sucção"	vazao_ent_rese_r2
"Penas do Gráfico-RMM R-02A\\Nível (MCA)"	nivel_rese_r2a
"Penas do Gráfico-RMM R-02A\\Vazão Sucção"	vazao_ent_rese_r2a
"Penas do Gráfico-RMM R-04 - Torre\\Nível (MCA)"	nivel_rese_r4
"Penas do Gráfico-RMM R-04 - Torre\\Vazão Sucção"	vazao_ent_rese_r4

Fonte: Autor (2024)

3.2.1.2 Escolha do reservatório e período de análise

Nessa etapa o usuário deverá escolher o período da análise (mês/ano) e o reservatório que terá os dados processados (benedito bentes, r1, r2, r2a, r4). O código retorna as informações escolhidas.

3.2.1.3 Carregamento dos arquivos de dados

O código vai ler os arquivos em csv com os dados diários e executar as operações a seguir em um "loop" do primeiro ao último dia do mês.

• Ler arquivo csv do dia

Os arquivos a serem importados devem possuir a nomenclatura no seguinte formato "dia.csv", em que o dia é definido com o valor numérico com dois dígitos, como por exemplo: "01.csv". É possível processar os dados de um mês por vez apenas.

• Corrigir e preencher os valores de nível e vazão

A ocorrência desses vazios se dá pela interrupção do sinal que transmite o nível ou vazão de entrada atuais do reservatório. O armazenamento desses dados ocorre a cada 5 minutos e no caso da ausência dessas informações o preenchimento pela última informação registrada é adotado de forma paliativa, uma vez que na análise de dados proposta neste trabalho são considerados o conjunto de registros diários completos, com todos os registros a cada 5 min no período de 24 h.

A ausência de um desses dados na execução da análise causa interferência por incompatibilidade das dimensões das estruturas de dados, fazendo com que a aplicação não seja executada. Desta forma, a adoção do último valor se faz necessária para a adequada execução da aplicação realizada. Deve-se observar a quantidade de valores vazios nos dados importados, de modo a assegurar maior precisão no processamento dos dados.

• Calcular altura e volume

O nível apontado pela telemetria não representa a altura real do nível de água no reservatório. O sensor de nível foi instalado a uma certa distância, estimada em 25 cm, acima do fundo de todos os reservatórios, exceto para reservatório elevado do Benedito Bentes. No último caso, o sensor está instalado em tubulação abaixo do reservatório. Quando o reservatório elevado do Benedito Bentes é esvaziado, o nível na telemetria aponta que há no reservatório 25 cm de lâmina de água. Dessa forma, o código faz um ajuste nos níveis de telemetria para que o volume no reservatório seja calculado com base na altura real de lâmina de água ('altura_h').

Os dados estão espaçados em intervalos de cinco minutos. Para cada nível, em determinado instante de tempo, é calculado o volume correspondente por meio das equações definas para cada reservatório apresentadas no Quadro 1.

3.2.1.4 Cálculo de consumo

• Calcular variação de volume e a vazão média por hora

A variação de volume é calculada pela diferença dos volumes gerados para cada instante de tempo. Uma variação de volume negativa implica no esvaziamento do reservatório e uma variação positiva significa que o reservatório está em processo de enchimento. Faz-se então o somatório das variações de volume de forma a obter a variação de volume em uma hora. Calcula-se também a média de vazões para cada hora.

• Calcular consumo horário, consumo base diário e fator de consumo

Para o cálculo do consumo faz-se o balanço de volume que entrou no reservatório com o volume que variou no período de uma hora. Quando o reservatório está secando, as variações de volume são negativas. Variações positivas indicam que o reservatório está enchendo. Então, o consumo horário é definido pela diferença entre esses volumes, conforme apresentado na Equação 4.

$$consumo_{hor\acute{a}rio} = (volume\ de\ entrada) - (volume\ de\ sa\'ida)$$
 (4)

A razão entre o consumo horário e a média dos consumos horários (consumo base diário) define o fator de consumo (Equação 5).

$$fator de consumo = \frac{consumo horário}{consumo base diário}$$
 (5)

3.2.1.5 Geração de resumos e gráficos

Após o processamento implementado na aplicação, os dados são reunidos em formato de tabelas chamadas de *DataFrames*. Os *DataFrames* são estruturas de dados utilizadas pelas bibliotecas *pandas* e *numpy* para processamento das informações. Por meio dessas tabelas, foram produzidos os gráficos de consumo base (mensal) e fator de consumo para cada dia. Os gráficos diários que contém o fator de consumo foram consolidados e um gráfico mensal foi gerado.

3.2.1.6 Separação dos dias úteis e finais de semana

São gerados novos resumos contendo os dados de consumo base e fator de consumo separados por finais de semana e dias comuns (segunda à sexta).

3.2.1.7 Exportação dos resultados

Os resumos e gráficos gerados são exportados, respectivamente no formato *csv* e PNG. Os arquivos em formato *csv* são nomeados como apresentado no Quadro 3 seguindo o seguinte padrão: "resumo_consumo_base_fim_de_semana_{reservatorio}_{mes}_{ano}.csv".

No resumo "Dados" são reunidas as informações processadas pela aplicação para todos os dias do mês/ano em análise, para o reservatório escolhido. Os dados são apresentados para cada hora, exceto o volume produzido e o volume consumido, que totalizam o valor diário.

O resumo "Fator consumo geral" presenta o fator de consumo para cada horário para todos os dias em análise, para o mês/ano e reservatório escolhidos. Já os resumos "Fator

consumo dias comuns" e "Fator consumo fim de semana" apresentam em arquivos separados o conteúdo do resumo anterior, filtrados pelos dias da semana.

O resumo "Consumo base geral" apresenta o consumo base para cada dia em análise, para o mês/ano e reservatório escolhidos. Já os resumos "Consumo base dias comuns" e "Consumo base fim de semana" apresentam em arquivos separados o conteúdo do resumo anterior, filtrados pelos dias da semana.

Quadro 3 – Planilhas produzidas para aplicação em Python

Resumo	Título das Colunas		
Dados	horario, media vazao entrada [m3/h], variacao volume reservatorio [m3], consumo horario [m3], consumo base [m3], fator de consumo, volume produzido [m3], volume consumido [m3]		
Fator consumo geral	horario, dias numerados com duas casas decimais, dia da semana correspondente		
Fator consumo dias comuns	horario, dias numerados com duas casas decimais		
Fator consumo fim de semana	horario, dias numerados com duas casas decimais		
Consumo base geral	dias numerados com duas casas decimais, dia da semana correspondente		
Consumo base dias comuns	dias numerados com duas casas decimais		
Consumo base fim de semana	dias numerados com duas casas decimais		

Fonte: Autor (2024)

As imagens exportadas pela aplicação e o padrão de nomenclatura são apresentados nas Figuras 7, 8 e 9.

Figura 7 – Exemplo de Gráfico Gerado para as Séries Temporais de Fator de Consumo Diário



Figura 8 – Exemplo de Gráfico Gerado para as Séries Temporais de Fator de Consumo Reunidos Mensal

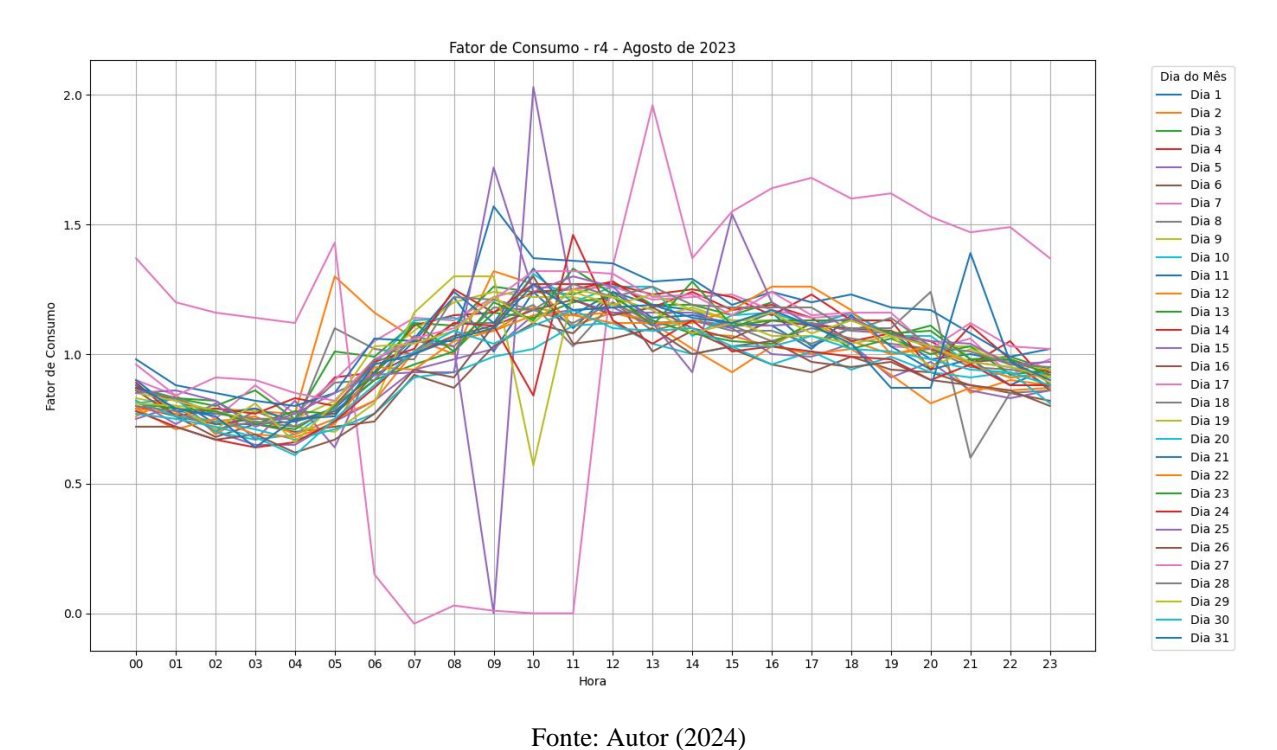
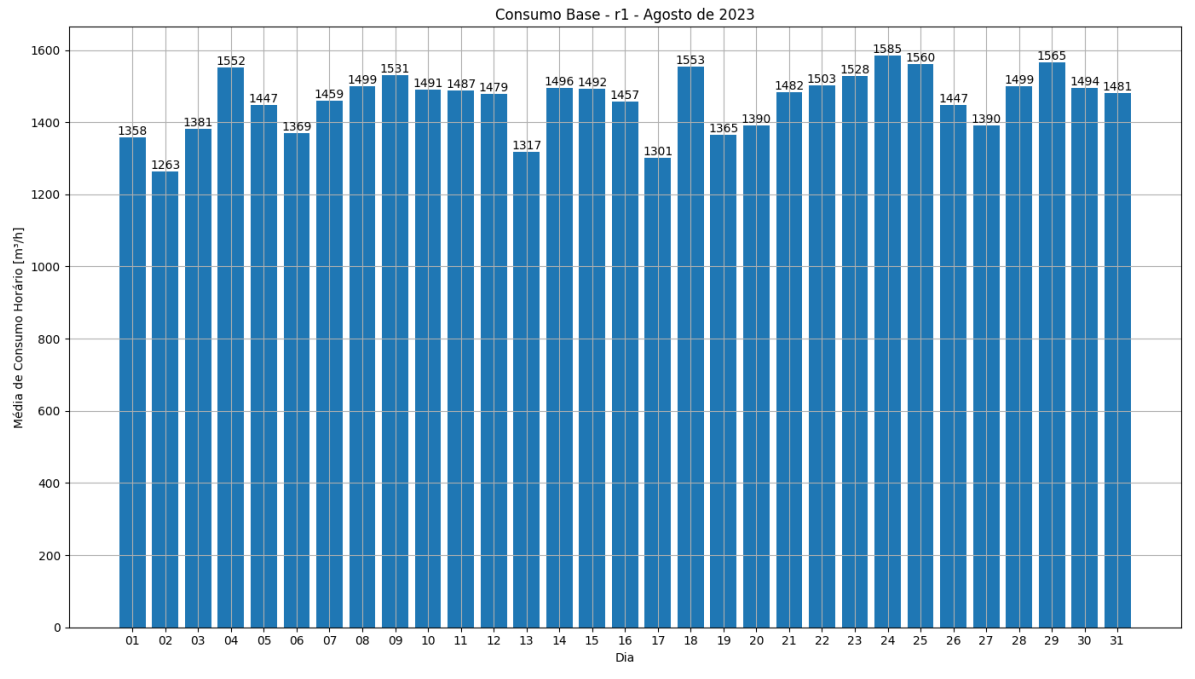


Figura 9 – Exemplo de Gráfico Gerado para o Consumo Base Mensal



3.2.2 Módulo 2 da aplicação em python

O fluxograma de funcionamento da aplicação Pratagy-Módulo2 e apresentado na Figura 10.

Reservatório (Benedito Bentes, r1, r2, r2a, r4a) INÍCIO O código pede ao usuário para selecionar: Período de análise (meses e ano) Definir variáveis e opções de entrada Tipo de análise (Dias Comuns ou Finais de O código exibe um resumo das escolhas feitas O código carrega os arquivos correspondentes ao reservatório, período e tipo de análise selecionados Carregar os arquivos csv As tabelas de dados são transpostas para que as horas fiquem nas colunas e os dias nas linha: Transpor dados Pequenos ajustes são feitos para corrigir os nomes das colunas Consumo Base (média horária de consumo por dia) Os DataFrames são concatenados em dois grandes grupos: **Concatenar DataFrames** Padrão de Consumo (fator de consumo por hora) Consumo Base O código calcula o **z-score** (pontuação padronizada) para: MÓDULO 2 Padrão de Consumo Calcular z-scores Isso é feito para identificar outliers O código identifica os valores que estão fora do intervalo de z-score [-3, 3] Identificar e remover outliers As linhas com outliers são removidas dos DataFrames O processo de cálculo de z-scores e remoção de outliers é repetido até que não haja mais valores fora do intervalo [-3, 3] Iteração até não haver mais outliers Consumo Base sem outliers Gerar DataFrames finais limpos Após a remoção dos outliers, o código gera os DataFrames finais com os dados limpos Padrão de Consumo sem outliers **Gráfico do Consumo Base**: gráfico de área mostrando o consumo diário e a média de consumo **Gráfico do Fator de Consumo**: gráfico para cada dia mostrando o fator de consumo por O código gera gráficos baseados nos dados Gerar gráficos Curva média do fator de consumo: gráfico que mostra a média do fator de consumo por hora ao longo do período

Figura 10 – Fluxograma da Aplicação em Python Pratagy-Módulo2

3.2.2.1 Definição das variáveis e opções de entrada

O código solicita ao usuário que selecione o reservatório (Benedito Bentes, r1, r2a, r4a) o período da análise (meses e ano) e o tipo da análise (Dias Comuns ou Finais de Semana). Neste trabalho optou-se por uma análise quadrimestral, justificada no subitem Padrões de Consumo e Consumo Base. Na sequência, o código apresenta as escolhas feitas pelo usuário.

3.2.2.2 Carregamento dos arquivos de csv

O código carrega os arquivos de consumo base e fator de consumo correspondentes ao reservatório, período e tipo de análise selecionados. Os arquivos, em formato csv, foram gerados utilizando a aplicação Pratagy-Módulo1 (Figura 6).

3.2.2.3 Transpor os dados

As tabelas de dados são transformadas em *DataFrames* e são transpostas para que as horas fiquem nas colunas e os dias nas linhas. Esse processo facilita a execução das ferramentas de geração de gráficos. Para que as operações seguintes sejam possíveis, após a transposição dos dados, são realizados os seguintes ajustes: a primeira linha [HORARIO] é removida dos arquivos correspondentes ao consumo base; as colunas de título são renomeadas em todos os arquivos.

3.2.2.4 ConcatenarDataFrames

Os *DataFrames* foram reunidos em dois grandes grupos: Consumo Base (média de consumo por dia) e Padrão de Consumo (fator de consumo por hora). Para o caso do Padrão de Consumo, cada coluna foi considerada uma série de dados que contém o fator de consumo do mesmo horário, para diferentes dias. Para o caso do Consumo Base, uma única coluna foi considerada uma série de dados que contém o consumo base de cada dia do período em análise.

3.2.2.5 Calcular z-scores

O código calcula o *z-score* para cada valor em cada série de dados nos *DataFrames* Consumo Base e Padrão de Consumo.

O *z-score* é uma medida estatística que indica o número de desvios-padrão que um dado ponto está afastado da média de distribuição. É uma medida útil para encontrar *outliers*, que são valores muito elevados ou baixos em relação à média.

O z-score é assim definido pela equação 6.

$$z = \frac{x - \mu}{\sigma} \tag{6}$$

Em que,

x = valor da amostra

 μ = média da distribuição

 σ = desvio-padrão da distribuição

3.2.2.6 Identificação e remoção dos outliers

Os pontos que destoam do comportamento médio podem surgir devido a falhas na análise de dados (por exemplo por uma quantidade excessiva de valores vazios) ou por comportamentos atípicos de operações do sistema (fechamento da saída dos reservatórios ou vazamentos na rede de distribuição). Esses pontos são caracterizados como outliers por meio da adoção do intervalo de *z-score* [-3, 3]. A partir dessa definição, o código realiza a identificação dos pontos que fogem do intervalo definido e elimina esses valores.

3.2.2.7 Geração dos DataFrames finais limpos

Após a remoção dos outliers, o código gera os *DataFrames* finais com os dados limpos: Consumo Base sem *outliers*; Padrão de Consumo sem *outliers*.

3.2.2.8 Exportação dos resultados

O código gera gráficos baseados nos dados limpos. O Gráfico do Consumo Base (Figura 11) é um gráfico de área e mostra o consumo diário e a média de consumo para o período em análise (adotada neste trabalho como consumo base nas simulações como o EPANET). O Gráfico do Fator de Consumo (Figura 12) é um gráfico de linha, exibindo para cada dia o fator de consumo por hora. O Gráfico Curva Média do Fator de Consumo (Figura 13) é um gráfico de linhas que mostra a média do fator de consumo por hora ao longo do período, adotada neste trabalho como padrão de consumo nas simulações com o EPANET.

Figura 11 – Exemplo de Gráfico Gerado para o Consumo Base por Período

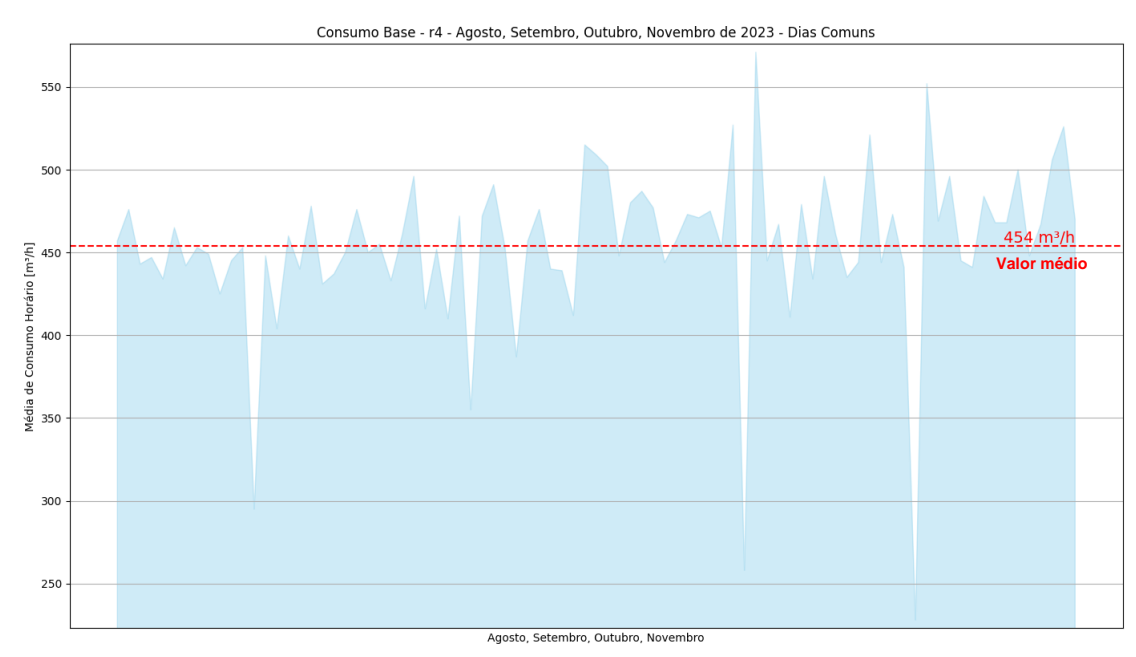
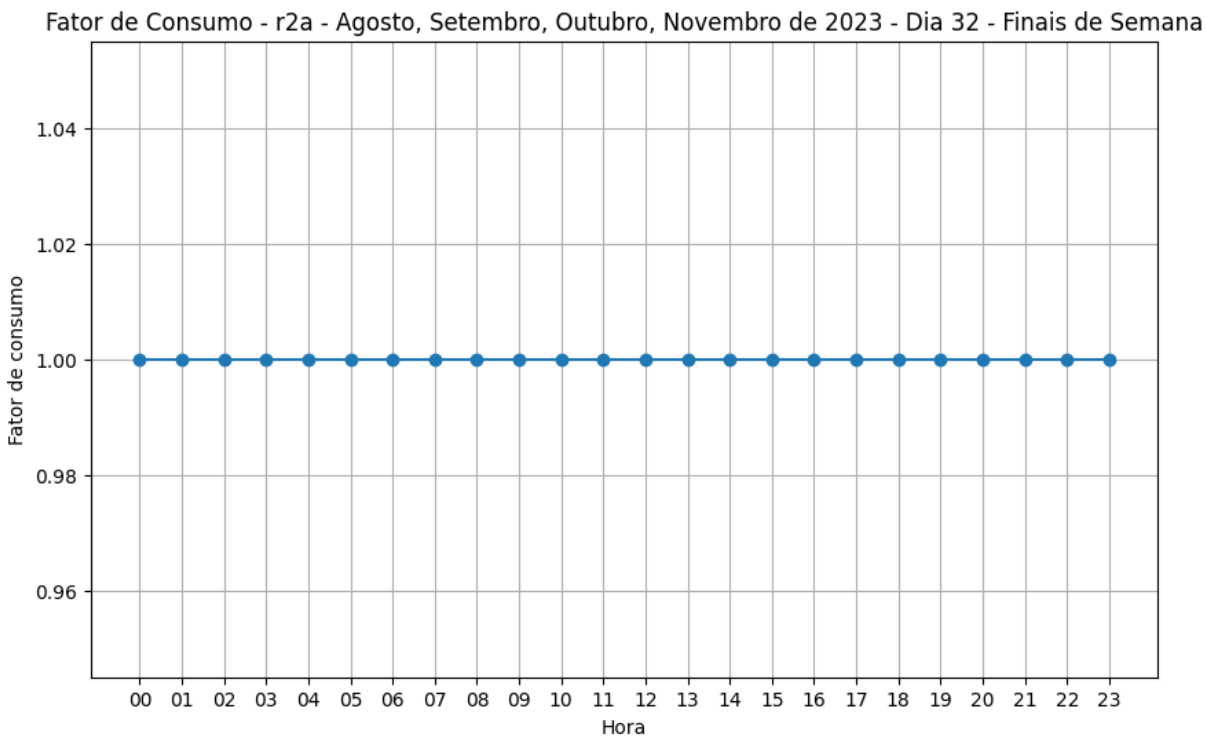


Figura 12 – Exemplo de Gráfico Gerado para o Fator de Consumo por Dia



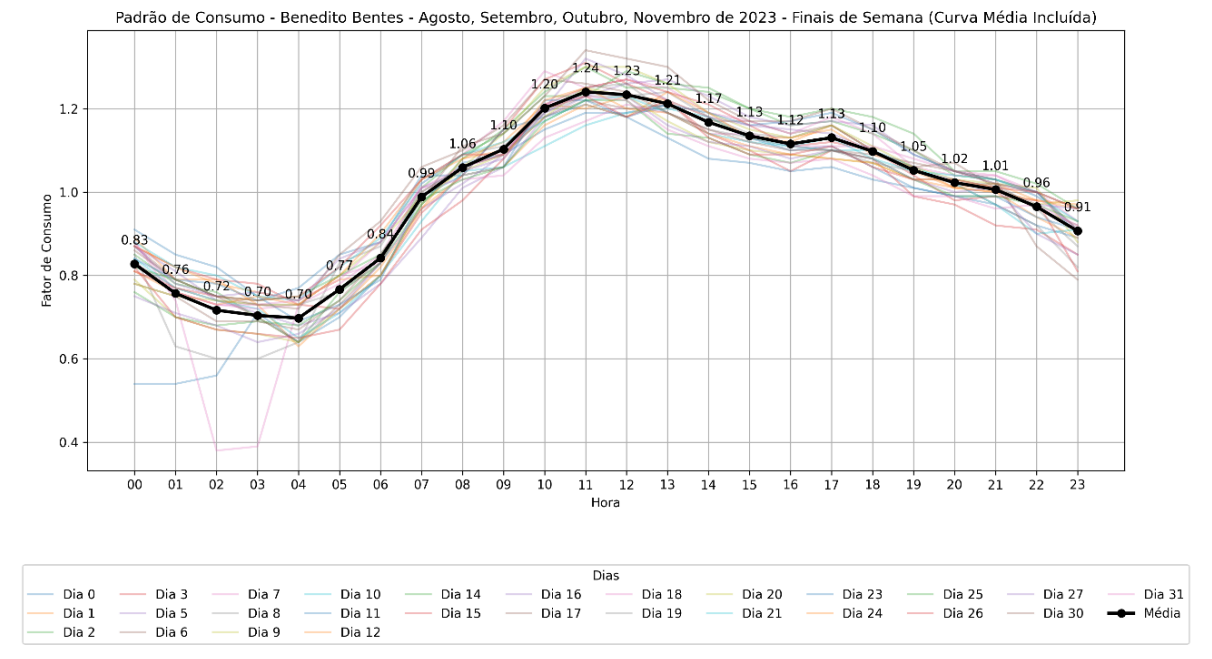


Figura 13 – Exemplo de Gráfico Gerado para o Padrão de Consumo por Período

3.3 PADRÕES DE CONSUMO E CONSUMO BASE

Fatores como a temperatura, precipitação e a umidade relativa influenciam o consumo de água. Em dias secos e quentes o consumo é maior e em dias úmidos e frios o consumo é menor (SANTOS *et al.*, 2006). Em Maceió, a chuva anual média varia entre 1.400 mm e 1.500 mm, concentrando-se de abril a julho (quadra chuvosa), enquanto a temperatura média é de 24,2°C na estação seca e varia entre 22,4°C e 25,5°C na estação chuvosa (Nascimento et al., 2018).

Para que a amostra fosse representativa, optou-se neste trabalho por uma análise quadrimestral (agosto, setembro, outubro e novembro de 2023). O período escolhido está relacionado à disponibilidade de dados e as características similares do clima na área estudada durante os meses avaliados.

Os dados foram separados em dias comuns (de segunda à sexta) e finais de semana (sábado e domingo). O estudo foi realizado de forma segmentada com o objetivo de verificar variações significativas no consumo de água potável em áreas de abastecimento urbano, indicadas pela literatura.

Os dados obtidos após o processamento com as ferramentas Pratagy-Módulo1 e Pratagy-Módulo2 são apresentados nas Tabelas 3 e 4.

Tabela 3 – Padrão de Consumo – (agosto a novembro de 2023)

	Benedito Bentes		R1	
intervalo	seg à sex	finais de semana	seg à sex	finais de semana
1	0,85	0,83	0,88	0,92
2	0,79	0,76	0,81	0,83
3	0,77	0,72	0,71	0,78
4	0,75	0,70	0,71	0,74
5	0,74	0,70	0,66	0,73
6	0,84	0,77	0,73	0,73
7	0,94	0,84	0,84	0,81
8	1,01	0,99	0,95	0,88
9	1,04	1,06	1,05	0,99
10	1,05	1,10	1,14	1,09
11	1,10	1,20	1,17	1,17
12	1,16	1,24	1,20	1,17
13	1,16	1,23	1,20	1,21
14	1,12	1,21	1,17	1,17
15	1,09	1,17	1,18	1,19
16	1,09	1,13	1,13	1,09
17	1,08	1,12	1,12	1,13
18	1,11	1,13	1,11	1,10
19	1,13	1,10	1,13	1,11
20	1,10	1,05	1,11	1,10
21	1,07	1,02	1,08	1,06
22	1,05	1,01	1,04	1,03
23	1,00	0,96	1,02	1,00
24	0,94	0,91	0,95	0,93
	R2			R2A
intervalo	seg à sex	finais de semana	seg à sex	finais de semana
1	0,99	0,96	0,97	0,99
2	0,99	0,96	0,98	0,98
3	0,99	0,97	0,97	0,98
4	0,99	0,98	0,98	0,98
5	0,98	0,98	0,98	0,98
6	0,99	0,97	0,99	0,99
7	0,99	0,98	1,02	1,02
8	1,01	1,00	1,02	1,03
9	1,01	1,01	1,02	1,05
10	1,02	1,03	1,02	1,04
11	1,02	1,03	1,02	1,04
12	1,02	1,03	1,03	1,04
14	1,02	1,03	1,03	1,04

(Continuação Tabe	ela 3)				
13	1,02	1,03	1,03	1,04	
14	1,02	1,02 1,03 1			
15	1,02	1,01 1,02			
16	1,01	1,01	1,01	1,00	
17	1,01	1,01	1,01	1,00	
18	1,01	1,01	1,01	1,00	
19	1,01	1,01	1,01	0,99	
20	1,01	1,00	1,00	0,98	
21	1,00	0,99	0,99	0,98	
22	0,98	0,99	0,99	0,98	
23	0,98	0,99	0,99	0,98	
24	0,97	0,99	0,98	0,98	
	R4A				
intervalo	seg à sex	finais de semana			
1	0,84	0,85			
2	0,81	0,81			
3	0,76	0,75			
4	0,76	0,75			
5	0,75	0,73			
6	0,85	0,80			
7	0,97	0,86			
8	1,05	0,96			
9	1,12	1,04			
10	1,15	1,10			
11	1,17	1,17			
12	1,17	1,16			
13	1,17	1,17			
14	1,13	1,14			
15	1,11	1,10			
16	1,11	1,09			
17	1,10	1,07			
18	1,10	1,06			
19	1,09	1,04			
20	1,06	1,01			
21	1,03	0,99			
22	0,98	0,96			
23	0,96	0,94			
24	0,92	0,89			

Tabela 4 – Consumo Base (m³/h) – (agosto a novembro de 2023)

ί J l	Consumo base (m³/h)		
Área de abastecimento	Segunda à sexta	Finais de semana	
Benedito Bentes	705	735	
R1	1505	1427	
R2	844	874	
R2A	483	494	
R4A	454	452	

3.4 MODELAGEM DO SISTEMA NO EPANET

Na Figura 15 estão representados os elementos físicos do Sistema Pratagy em um modelo integrado, enquanto no Quadro 4 são apresentados os dados dos elementos do sistema integrado Pratagy. A principal fonte de água tratada é representada pelo reservatório de nível fixo RNF1, na saída da ETA Josué Palmeira. O RNF2 representa o ponto de partida do fluxo produzido pelos poços externos, que direcionam o fluxo para o reservatório SBB. A partir do RNF1, o fluxo segue para os reservatórios de nível variável SBB, R1, R2, R2A, R4 e para os nós N25 (entrada do *Booster* R6A) e N26 (entrada do *Booster* Jacintinho). A partir do reservatório R4, o fluxo segue para o nó N29 (entrada da Estação Elevatória do R4A). A partir do reservatório SBB, o fluxo segue para o nó N39 (entrada da Estação Elevatória do Benedito Bentes).

Em campo, a saída da ETA é uma caixa de passagem com dimensões desconhecidas. O nível de água do RNF1 foi adotado como a cota de nível superior do tanque de contato 88,42 m (câmara de compensação onde ocorre o processo de desinfecção), à montante da caixa de passagem (Figura 14).

Figura 14 – vista aérea da ETA Josué Palmeira com a localização do tanque de contato e da caixa de passagem de saída de água tratada



Fonte: CASAL (2021)

Os poços externos foram modelados de forma simplificada. Conhecida a vazão medida (550 m³/h) dos poços externos e as características da tubulação de entrada no reservatório SBB, representou-se esse subsistema partindo do RNF2 (nível de água fictício igual a 90), passando pelo trecho T30 com comprimento adotado de 100 m, até o reservatório SBB. A vazão dos poços internos (230 m³/h) foi considerada integralmente destinada às perdas com os processos de lavagem de filtros e descarga de fundo dos decantadores, representando cerca de 6% da vazão nominal da ETA, que é de 3.888 m³/h.

As estações elevatórias foram modeladas separadamente, pois, estavam gerando instabilidades no modelo integrado. Ao conectar estações elevatórias, tendo em suas extremidades reservatórios de nível variável, verificou-se que a vazão recalcada se alterava cada vez que o nível do reservatório associado a sucção variava. Se por um lado o fenômeno físico estava bem representado no modelo, por outro lado, a regra de operação de bombeamento com uma vazão de recalque fixa tornou-se inviável.

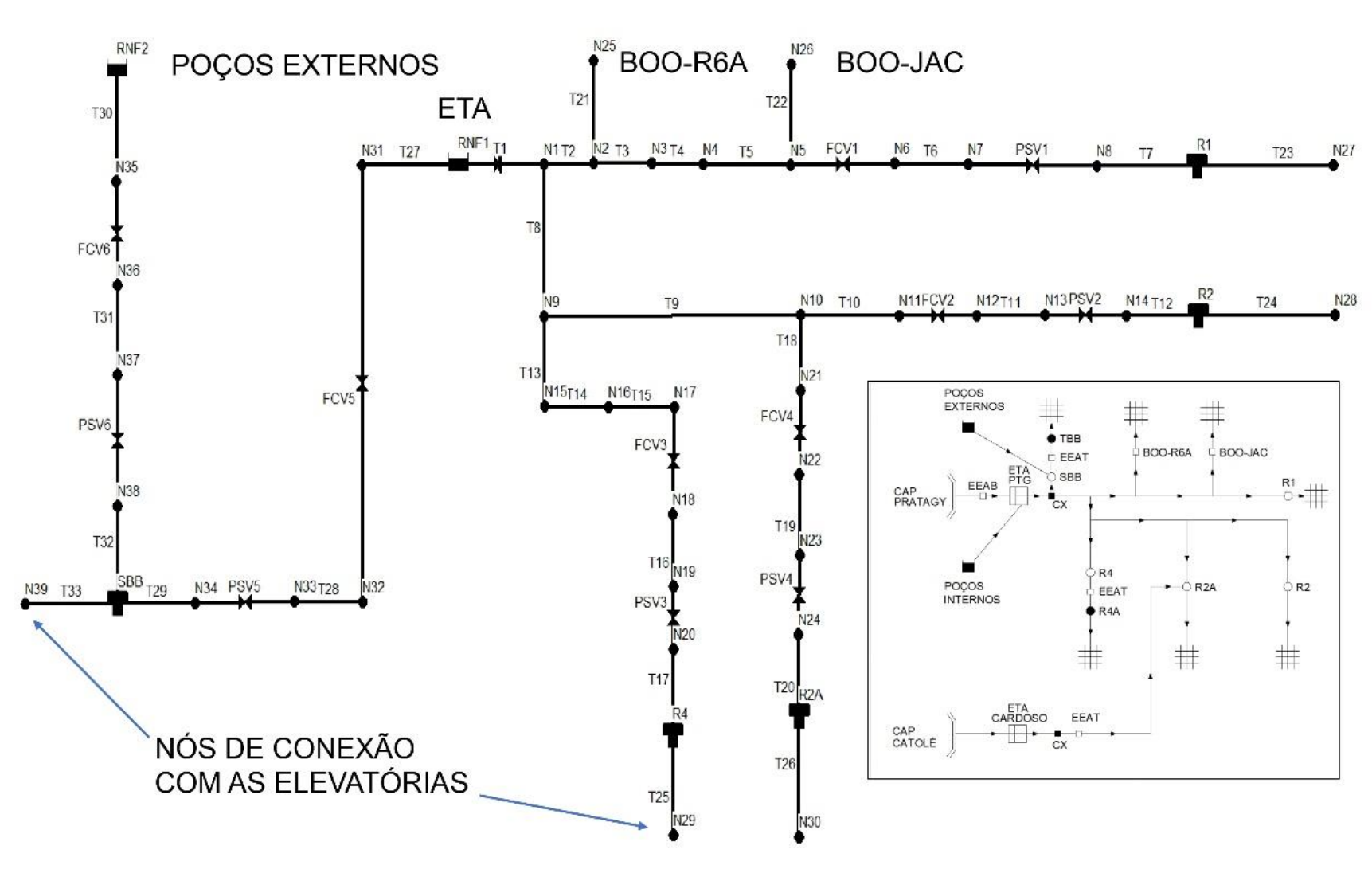


Figura 15 – Diagrama do Sistema Integrado Pratagy

Quadro 4 – Dados dos Elementos do Sistema Integrado Pratagy

RNFI	Elemento	Dados
Nef N1	RNF1	Cota do nível d'água = 88,42 m
Trecho T2	Trecho T1	Comprimento = 7795 m; D = 1200 mm; C (Hazen Williams) = 115
No N2	Nó N1	Cota = 84,55 m; consumo base = 0
Trecho T3	Trecho T2	Comprimento = 3081 m; D = 1000 mm; C (Hazen Williams) = 115
N6 N3	Nó N2	Cota = 63,21 m; consumo base = 0
N6 N3	Trecho T3	Comprimento = 1320 m; D = 800 mm; C (Hazen Williams) = 115
Trecho T4	Nó N3	•
No N4	Trecho T4	
Trecho TS Comprimento = 100 m; D = 400 mm; C (Hazen Williams) = 115 Nó NS Cota = 54,91 m; consume base = 0 Válvula FCV1 Válvula reguladora de vazão; Diâmetro 400 mm, parâmetro de controle (ver Quadro 7) Nó N6 Cota = 54,91 m; consumo base = 0 Trecho T6 Comprimento = 10 m; D = 400 mm; C (Hazen Williams) = 115 Nó N7 Cota = 58,42 m; consumo base = 0 Válvula PSV1 Válvula Sustentadora de Pressão; Diâmetro 400 mm, parâmetro de controle = 0 Nó N8 Cota = 58,42 m; consumo base = 0 Trecho T7 Comprimento = 0,0000000 mm; D = 1000000 mm; C (Hazen Williams) = 1000000 Reservatório R1 Curva característica: curva 00 − R1 (conforme Quadro 1); cota da la gia de fundo = 52,42 m; altura de água máxima = 6,00 m; altura de água mínima = 0 m e altura de água inicial = 3,0 m Nó N9 Cota = 51,00 m; consumo base = 0 Trecho T8 Comprimento = 1687 m; D = 500 mm; C (Hazen Williams) = 115 Nó N10 Cota = 45,00 m; consumo base = 0 Trecho T9 Comprimento = 1687 m; D = 500 mm; C (Hazen Williams) = 115 Nó N10 Cota = 442,25 m; consumo base = 0 Trecho T10 Comprimento = 100 m; D = 500 mm; C (Hazen Williams) = 115 Nó N12 Cota = 42,25 m; consumo base = 0		
Nó N5		
Válvula FCV1		
Nó N6 Cota = 54,91 m; consumo base = 0 Trecho T6 Comprimento = 10 m; D = 400 mm; C (Hazen Williams) = 115 N6 N7 Cota = 58,42 m; consumo base = 0 Válvula PSV1 Válvula Sustentadora de Pressão; Diâmetro 400 mm, parâmetro de controle = 0 N6 N8 Cota = 58,42 m; consumo base = 0 Trecho T7 Comprimento = 0,0000001 m; D = 1000000 mm; C (Hazen Williams) = 1000000 Reservatório R1 Curva característica: curva 00 − R1 (conforme Quadro 1); cota da laje de fundo = 52,42 m; altura de água máxima = 6,00 m; altura de água mínima = 0 m e altura de água inicial = 3,0 m Trecho T8 Comprimento = 2880 m; D = 700 mm; C (Hazen Williams) = 115 N6 N9 Cota = 51,00 m; consumo base = 0 Trecho T9 Comprimento = 1687 m; D = 500 mm; C (Hazen Williams) = 115 N6 N10 Cota = 45,00 m; consumo base = 0 Trecho T10 Comprimento = 1694 m; D = 500 mm; C (Hazen Williams) = 115 N6 N11 Cota = 42,25 m; consumo base = 0 Válvula FCV2 Válvula reguladora de vazão; Diâmetro 500 mm, parâmetro de controle (ver Quadro 7) N6 N12 Cota = 42,25 m; consumo base = 0 Trecho T11 Comprimento = 10 m; D = 500 mm; C (Hazen Williams) = 115 N6 N13 Cota = 42,25 m; consumo base = 0		
Trecho T6 Comprimento = 10 m; D = 400 mm; C (Hazen Williams) = 115 N6 N7 Cota = 58,42 m; consumo base = 0 Válvula PSV1 Válvula Sustentadora de Pressão; Diâmetro 400 mm, parâmetro de controle = 0 N6 N8 Cota = 58,42 m; consumo base = 0 Trecho T7 Comprimento = 0,0000001 m; D = 1000000 mm; C (Hazen Williams) = 1000000 Reservatório R1 Curva característica: curva 00 − R1 (conforme Quadro 1); cota da laje de fundo = 52,42 m; altura de água máxima = 6,00 m; altura de água mínima = 0 m e altura de água inicial = 3,0 m Trecho T8 Comprimento = 2880 m; D = 700 mm; C (Hazen Williams) = 115 N6 N9 Cota = 51,00 m; consumo base = 0 Trecho T9 Comprimento = 1687 m; D = 500 mm; C (Hazen Williams) = 115 N6 N10 Comprimento = 1694 m; D = 500 mm; C (Hazen Williams) = 115 N6 N11 Cota = 42,25 m; consumo base = 0 Válvula PCV2 Válvula reguladora de vazão; Diâmetro 500 mm, parâmetro de controle (ver Quadro 7) N6 N12 Cota = 42,25 m; consumo base = 0 Trecho T11 Comprimento = 10 m; D = 500 mm; C (Hazen Williams) = 115 N6 N13 Cota = 42,25 m; consumo base = 0 Válvula PSV2 Válvula Sustentadora de Pressão; Diâmetro 500 mm, parâmetro de controle = 0 N6 N14 Cota = 42,25 m; con		•
Nó N7		
Válvula PSV1 Válvula Sustentadora de Pressão; Diâmetro 400 mm, parâmetro de controle = 0 Nó N8 Cota = 58,42 m; consumo base = 0 Trecho T7 Comprimento = 0,0000001 m; D = 1000000 mm; C (Hazen Williams) = 1000000 Reservatório R1 Curva característica: curva 00 − R1 (conforme Quadro 1); cota da laje de fundo = 52,42 m; altura de água máxima = 6,00 m; altura de água mínima = 0 m e altura de água inicial = 3,0 m Trecho T8 Comprimento = 2880 m; D = 700 mm; C (Hazen Williams) = 115 Nó N9 Cota = 51,00 m; consumo base = 0 Trecho T9 Comprimento = 1687 m; D = 500 mm; C (Hazen Williams) = 115 Nó N10 Cota = 45,00 m; consumo base = 0 Trecho T10 Comprimento = 1694 m; D = 500 mm; C (Hazen Williams) = 115 Nó N11 Cota = 42,25 m; consumo base = 0 Válvula FCV2 Válvula reguladora de vazão; Diâmetro 500 mm, parâmetro de controle (ver Quadro 7) Nó N12 Cota = 42,25 m; consumo base = 0 Válvula PSV2 Válvula Sustentadora de Pressão; Diâmetro 500 mm, parâmetro de controle = 0 Nó N14 Cota = 42,25 m; consumo base = 0 Reservatório R2 Curva característica: curva 00 − R2 (conforme Quadro 1); cota da laje de fundo = 39,25 m; altura de água máxima = 3,00 m; altura de água mínima = 0 m e altura de água inicial = 1,0 m Ros N15 Cu		
Nó N8		
Trecho T7		
Curva característica: curva 00 – R1 (conforme Quadro 1); cota da laje de fundo = 52,42 m; altura de água máxima = 6,00 m; altura de água mínima = 0 m e altura de água inicial = 3,0 m		
Reservatorio R1 água máxima = 6,00 m; altura de água mínima = 0 m e altura de água inicial = 3,0 m Trecho T8 Comprimento = 2880 m; D = 700 mm; C (Hazen Williams) = 115 Nó N9 Cota = 51,00 m; consumo base = 0 Trecho T9 Comprimento = 1687 m; D = 500 mm; C (Hazen Williams) = 115 Nó N10 Cota = 45,00 m; consumo base = 0 Trecho T10 Comprimento = 1694 m; D = 500 mm; C (Hazen Williams) = 115 Nó N11 Cota = 42,25 m; consumo base = 0 Válvula FCV2 Válvula reguladora de vazão; Diâmetro 500 mm, parâmetro de controle (ver Quadro 7) Nó N12 Cota = 42,25 m; consumo base = 0 Trecho T11 Comprimento = 10 m; D = 500 mm; C (Hazen Williams) = 115 Nó N13 Cota = 42,25 m; consumo base = 0 Válvula PSV2 Válvula Sustentadora de Pressão; Diâmetro 500 mm, parâmetro de controle = 0 Nó N14 Cota = 42,25 m; consumo base = 0 Trecho T12 Comprimento = 0,0000001 m; D = 10000000 mm; C (Hazen Williams) = 1000000 Reservatório R2 Curva característica: curva 00 - R2 (conforme Quadro 1); cota da laje de fundo = 39,25 m; altura de água máxima = 3,00 m; altura de água mínima = 0 m e altura de água inicial = 1,0 m Trecho T13 Comprimento = 180 m; D = 700 mm; C (Hazen Williams) = 115 Nó N15		* 1
Trecho T8 Comprimento = 2880 m; D = 700 mm; C (Hazen Williams) = 115 N6 N9 Cota = 51,00 m; consumo base = 0 Trecho T9 Comprimento = 1687 m; D = 500 mm; C (Hazen Williams) = 115 N6 N10 Cota = 45,00 m; consumo base = 0 Trecho T10 Comprimento = 1694 m; D = 500 mm; C (Hazen Williams) = 115 N6 N11 Cota = 42,25 m; consumo base = 0 Válvula FCV2 Válvula reguladora de vazão; Diâmetro 500 mm, parâmetro de controle (ver Quadro 7) N6 N12 Cota = 42,25 m; consumo base = 0 Trecho T11 Comprimento = 10 m; D = 500 mm; C (Hazen Williams) = 115 N6 N13 Cota = 42,25 m; consumo base = 0 Válvula PSV2 Válvula Sustentadora de Pressão; Diâmetro 500 mm, parâmetro de controle = 0 N6 N14 Cota = 42,25 m; consumo base = 0 Trecho T12 Comprimento = 0,0000001 m; D = 1000000 mm; C (Hazen Williams) = 1000000 Reservatório R2 Curva característica: curva 00 − R2 (conforme Quadro 1); cota da laje de fundo = 39,25 m; altura de água máxima = 3,00 m; altura de água mínima = 0 m e altura de água inicial = 1,0 m Trecho T13 Comprimento = 180 m; D = 700 mm; C (Hazen Williams) = 115 N6 N15 Cota = 52,13 m; consumo base = 0 Trecho T14 Comprimento = 393 m; D = 600 mm; C (Hazen Williams) = 1	Reservatório R1	
Nó N9 Cota = 51,00 m; consumo base = 0 Trecho T9 Comprimento = 1687 m; D = 500 mm; C (Hazen Williams) = 115 Nó N10 Cota = 45,00 m; consumo base = 0 Trecho T10 Comprimento = 1694 m; D = 500 mm; C (Hazen Williams) = 115 Nó N11 Cota = 42,25 m; consumo base = 0 Válvula FCV2 Válvula reguladora de vazão; Diâmetro 500 mm, parâmetro de controle (ver Quadro 7) Nó N12 Cota = 42,25 m; consumo base = 0 Trecho T11 Comprimento = 10 m; D = 500 mm; C (Hazen Williams) = 115 Nó N13 Cota = 42,25 m; consumo base = 0 Válvula PSV2 Válvula Sustentadora de Pressão; Diâmetro 500 mm, parâmetro de controle = 0 Nó N14 Cota = 42,25 m; consumo base = 0 Trecho T12 Comprimento = 0,0000001 m; D = 1000000 mm; C (Hazen Williams) = 1000000 Reservatório R2 Curva característica: curva 00 – R2 (conforme Quadro 1); cota da laje de fundo = 39,25 m; altura de água míxima = 3,00 m; altura de água mínima = 0 m e altura de água inicial = 1,0 m Trecho T13 Comprimento = 180 m; D = 700 mm; C (Hazen Williams) = 115 Nó N15 Cota = 52,13 m; consumo base = 0 Trecho T14 Comprimento = 393 m; D = 600 mm; C (Hazen Williams) = 115 Nó N16 Cota = 54,10 m; consumo base = 0	Trecho T8	
Trecho T9 Comprimento = 1687 m; D = 500 mm; C (Hazen Williams) = 115 N6 N10 Cota = 45,00 m; consumo base = 0 Trecho T10 Comprimento = 1694 m; D = 500 mm; C (Hazen Williams) = 115 N6 N11 Cota = 42,25 m; consumo base = 0 Válvula FCV2 Válvula de vazão; Diâmetro 500 mm, parâmetro de controle (ver Quadro 7) N6 N12 Cota = 42,25 m; consumo base = 0 Trecho T11 Comprimento = 10 m; D = 500 mm; C (Hazen Williams) = 115 N6 N13 Cota = 42,25 m; consumo base = 0 Válvula PSV2 Válvula Sustentadora de Pressão; Diâmetro 500 mm, parâmetro de controle = 0 N6 N14 Cota = 42,25 m; consumo base = 0 Trecho T12 Comprimento = 0,0000001 m; D = 1000000 mm; C (Hazen Williams) = 1000000 Reservatório R2 Curva característica: curva 00 − R2 (conforme Quadro 1); cota da laje de fundo = 39,25 m; altura de água máxima = 3,00 m; altura de água mínima = 0 m e altura de água inicial = 1,0 m Trecho T13 Comprimento = 180 m; D = 700 mm; C (Hazen Williams) = 115 Nó N15 Cota = 52,13 m; consumo base = 0 Trecho T14 Comprimento = 393 m; D = 600 mm; C (Hazen Williams) = 115 Nó N16 Cota = 54,10 m; consumo base = 0 Trecho T15 Comprimento = 235 m; D = 400 mm; C (Hazen Williams) = 115		
Nó N10 Cota = 45,00 m; consumo base = 0 Trecho T10 Comprimento = 1694 m; D = 500 mm; C (Hazen Williams) = 115 Nó N11 Cota = 42,25 m; consumo base = 0 Válvula FCV2 Válvula reguladora de vazão; Diâmetro 500 mm, parâmetro de controle (ver Quadro 7) Nó N12 Cota = 42,25 m; consumo base = 0 Trecho T11 Comprimento = 10 m; D = 500 mm; C (Hazen Williams) = 115 Nó N13 Cota = 42,25 m; consumo base = 0 Válvula PSV2 Válvula Sustentadora de Pressão; Diâmetro 500 mm, parâmetro de controle = 0 Nó N14 Cota = 42,25 m; consumo base = 0 Trecho T12 Comprimento = 0,0000001 m; D = 1000000 mm; C (Hazen Williams) = 1000000 Reservatório R2 Curva característica: curva 00 − R2 (conforme Quadro 1); cota da laje de fundo = 39,25 m; altura de água máxima = 3,00 m; altura de água mínima = 0 m e altura de água inicial = 1,0 m Trecho T13 Comprimento = 180 m; D = 700 mm; C (Hazen Williams) = 115 Nó N15 Cota = 52,13 m; consumo base = 0 Trecho T14 Comprimento = 393 m; D = 600 mm; C (Hazen Williams) = 115 Nó N16 Cota = 47,50 m; consumo base = 0 Trecho T15 Comprimento = 235 m; D = 400 mm; C (Hazen Williams) = 115 Nó N17 Cota = 54,10 m; consumo base = 0		
Trecho T10 Comprimento = 1694 m; D = 500 mm; C (Hazen Williams) = 115 Nó N11 Cota = 42,25 m; consumo base = 0 Válvula FCV2 Válvula reguladora de vazão; Diâmetro 500 mm, parâmetro de controle (ver Quadro 7) Nó N12 Cota = 42,25 m; consumo base = 0 Trecho T11 Comprimento = 10 m; D = 500 mm; C (Hazen Williams) = 115 Nó N13 Cota = 42,25 m; consumo base = 0 Válvula PSV2 Válvula Sustentadora de Pressão; Diâmetro 500 mm, parâmetro de controle = 0 Nó N14 Cota = 42,25 m; consumo base = 0 Trecho T12 Comprimento = 0,0000001 m; D = 1000000 mm; C (Hazen Williams) = 1000000 Reservatório R2 Curva característica: curva 00 − R2 (conforme Quadro 1); cota da laje de fundo = 39,25 m; altura de água máxima = 3,00 m; altura de água mínima = 0 m e altura de água inicial = 1,0 m Trecho T13 Comprimento = 180 m; D = 700 mm; C (Hazen Williams) = 115 Nó N15 Cota = 52,13 m; consumo base = 0 Trecho T14 Comprimento = 393 m; D = 600 mm; C (Hazen Williams) = 115 Nó N16 Cota = 47,50 m; consumo base = 0 Trecho T15 Comprimento = 235 m; D = 400 mm; C (Hazen Williams) = 115 Nó N17 Cota = 54,10 m; consumo base = 0 Válvula FCV3 Válvula reguladora de vazão; Diâmetro 400 mm, parâme		
Nó N11 Cota = 42,25 m; consumo base = 0 Válvula FCV2 Válvula reguladora de vazão; Diâmetro 500 mm, parâmetro de controle (ver Quadro 7) Nó N12 Cota = 42,25 m; consumo base = 0 Trecho T11 Comprimento = 10 m; D = 500 mm; C (Hazen Williams) = 115 Nó N13 Cota = 42,25 m; consumo base = 0 Válvula PSV2 Válvula Sustentadora de Pressão; Diâmetro 500 mm, parâmetro de controle = 0 Nó N14 Cota = 42,25 m; consumo base = 0 Trecho T12 Comprimento = 0,0000001 m; D = 10000000 mm; C (Hazen Williams) = 1000000 Reservatório R2 Curva característica: curva 00 – R2 (conforme Quadro 1); cota da laje de fundo = 39,25 m; altura de água máxima = 3,00 m; altura de água mínima = 0 m e altura de água inicial = 1,0 m Trecho T13 Comprimento = 180 m; D = 700 mm; C (Hazen Williams) = 115 Nó N15 Cota = 52,13 m; consumo base = 0 Trecho T14 Comprimento = 393 m; D = 600 mm; C (Hazen Williams) = 115 Nó N16 Cota = 47,50 m; consumo base = 0 Trecho T15 Comprimento = 235 m; D = 400 mm; C (Hazen Williams) = 115 Nó N17 Cota = 54,10 m; consumo base = 0 Válvula FCV3 Válvula reguladora de vazão; Diâmetro 400 mm, parâmetro de controle (ver Quadro 7) Nó N18 Cota = 54,10 m; consumo base = 0		
Válvula FCV2 Válvula reguladora de vazão; Diâmetro 500 mm, parâmetro de controle (ver Quadro 7) Nó N12 Cota = 42,25 m; consumo base = 0 Trecho T11 Comprimento = 10 m; D = 500 mm; C (Hazen Williams) = 115 Nó N13 Cota = 42,25 m; consumo base = 0 Válvula PSV2 Válvula Sustentadora de Pressão; Diâmetro 500 mm, parâmetro de controle = 0 Nó N14 Cota = 42,25 m; consumo base = 0 Trecho T12 Comprimento = 0,0000001 m; D = 1000000 mm; C (Hazen Williams) = 1000000 Reservatório R2 Curva característica: curva 00 - R2 (conforme Quadro 1); cota da laje de fundo = 39,25 m; altura de água máxima = 3,00 m; altura de água mínima = 0 m e altura de água inicial = 1,0 m Trecho T13 Comprimento = 180 m; D = 700 mm; C (Hazen Williams) = 115 Nó N15 Cota = 52,13 m; consumo base = 0 Trecho T14 Comprimento = 393 m; D = 600 mm; C (Hazen Williams) = 115 Nó N16 Cota = 47,50 m; consumo base = 0 Trecho T15 Comprimento = 235 m; D = 400 mm; C (Hazen Williams) = 115 Nó N17 Cota = 54,10 m; consumo base = 0 Válvula FCV3 Válvula reguladora de vazão; Diâmetro 400 mm, parâmetro de controle (ver Quadro 7) Nó N18 Cota = 54,10 m; consumo base = 0 Válvula PSV3 Válvula Sustentadora de Pre		•
N6 N12 Cota = 42,25 m; consumo base = 0 Trecho T11 Comprimento = 10 m; D = 500 mm; C (Hazen Williams) = 115 N6 N13 Cota = 42,25 m; consumo base = 0 Válvula PSV2 Válvula Sustentadora de Pressão; Diâmetro 500 mm, parâmetro de controle = 0 N6 N14 Cota = 42,25 m; consumo base = 0 Trecho T12 Comprimento = 0,0000001 m; D = 1000000 mm; C (Hazen Williams) = 1000000 Reservatório R2 Curva característica: curva 00 − R2 (conforme Quadro 1); cota da laje de fundo = 39,25 m; altura de água máxima = 3,00 m; altura de água mínima = 0 m e altura de água inicial = 1,0 m Trecho T13 Comprimento = 180 m; D = 700 mm; C (Hazen Williams) = 115 N6 N15 Cota = 52,13 m; consumo base = 0 Trecho T14 Comprimento = 393 m; D = 600 mm; C (Hazen Williams) = 115 N6 N16 Cota = 47,50 m; consumo base = 0 Trecho T15 Comprimento = 235 m; D = 400 mm; C (Hazen Williams) = 115 N6 N17 Cota = 54,10 m; consumo base = 0 Válvula FCV3 Válvula reguladora de vazão; Diâmetro 400 mm, parâmetro de controle (ver Quadro 7) Nó N18 Cota = 54,10 m; consumo base = 0 Válvula PSV3 Válvula Sustentadora de Pressão; Diâmetro 400 mm, parâmetro de controle = 0 Nó N20 Cota = 54,10 m; consumo base = 0		
Trecho T11 Comprimento = 10 m; D = 500 mm; C (Hazen Williams) = 115 Nó N13 Cota = 42,25 m; consumo base = 0 Válvula PSV2 Válvula Sustentadora de Pressão; Diâmetro 500 mm, parâmetro de controle = 0 Nó N14 Cota = 42,25 m; consumo base = 0 Trecho T12 Comprimento = 0,0000001 m; D = 1000000 mm; C (Hazen Williams) = 1000000 Reservatório R2 Curva característica: curva 00 − R2 (conforme Quadro 1); cota da laje de fundo = 39,25 m; altura de água máxima = 3,00 m; altura de água mínima = 0 m e altura de água inicial = 1,0 m Trecho T13 Comprimento = 180 m; D = 700 mm; C (Hazen Williams) = 115 Nó N15 Cota = 52,13 m; consumo base = 0 Trecho T14 Comprimento = 393 m; D = 600 mm; C (Hazen Williams) = 115 Nó N16 Cota = 47,50 m; consumo base = 0 Trecho T15 Comprimento = 235 m; D = 400 mm; C (Hazen Williams) = 115 Nó N17 Cota = 54,10 m; consumo base = 0 Válvula FCV3 Válvula reguladora de vazão; Diâmetro 400 mm, parâmetro de controle (ver Quadro 7) Nó N18 Cota = 54,10 m; consumo base = 0 Trecho T16 Comprimento = 10 m; D = 400 mm; C (Hazen Williams) = 115 Nó N19 Cota = 54,10 m; consumo base = 0 Válvula PSV3 Válvula Sustentadora de Pressão; Diâmetro 400 mm, parâ		
Nó N13 Cota = 42,25 m; consumo base = 0 Válvula PSV2 Válvula Sustentadora de Pressão; Diâmetro 500 mm, parâmetro de controle = 0 Nó N14 Cota = 42,25 m; consumo base = 0 Trecho T12 Comprimento = 0,0000001 m; D = 1000000 mm; C (Hazen Williams) = 1000000 Reservatório R2 Curva característica: curva 00 - R2 (conforme Quadro 1); cota da laje de fundo = 39,25 m; altura de água máxima = 3,00 m; altura de água mínima = 0 m e altura de água inicial = 1,0 m Trecho T13 Comprimento = 180 m; D = 700 mm; C (Hazen Williams) = 115 Nó N15 Cota = 52,13 m; consumo base = 0 Trecho T14 Comprimento = 393 m; D = 600 mm; C (Hazen Williams) = 115 Nó N16 Cota = 47,50 m; consumo base = 0 Trecho T15 Comprimento = 235 m; D = 400 mm; C (Hazen Williams) = 115 Nó N17 Cota = 54,10 m; consumo base = 0 Válvula FCV3 Válvula reguladora de vazão; Diâmetro 400 mm, parâmetro de controle (ver Quadro 7) Nó N18 Cota = 54,10 m; consumo base = 0 Trecho T16 Comprimento = 10 m; D = 400 mm; C (Hazen Williams) = 115 Nó N19 Cota = 54,10 m; consumo base = 0 Válvula PSV3 Válvula Sustentadora de Pressão; Diâmetro 400 mm, parâmetro de controle = 0 Nó N20 Comprimento = 0,0000001 m; D = 10000000		
Válvula PSV2 Válvula Sustentadora de Pressão; Diâmetro 500 mm, parâmetro de controle = 0 Nó N14 Cota = 42,25 m; consumo base = 0 Trecho T12 Comprimento = 0,0000001 m; D = 1000000 mm; C (Hazen Williams) = 1000000 Reservatório R2 Curva característica: curva 00 – R2 (conforme Quadro 1); cota da laje de fundo = 39,25 m; altura de água máxima = 3,00 m; altura de água mínima = 0 m e altura de água inicial = 1,0 m Trecho T13 Comprimento = 180 m; D = 700 mm; C (Hazen Williams) = 115 Nó N15 Cota = 52,13 m; consumo base = 0 Trecho T14 Comprimento = 393 m; D = 600 mm; C (Hazen Williams) = 115 Nó N16 Cota = 47,50 m; consumo base = 0 Trecho T15 Comprimento = 235 m; D = 400 mm; C (Hazen Williams) = 115 Nó N17 Cota = 54,10 m; consumo base = 0 Válvula FCV3 Válvula reguladora de vazão; Diâmetro 400 mm, parâmetro de controle (ver Quadro 7) Nó N18 Cota = 54,10 m; consumo base = 0 Trecho T16 Comprimento = 10 m; D = 400 mm; C (Hazen Williams) = 115 Nó N19 Cota = 54,10 m; consumo base = 0 Válvula PSV3 Válvula Sustentadora de Pressão; Diâmetro 400 mm, parâmetro de controle = 0 Nó N20 Cota = 54,10 m; consumo base = 0 Trecho T17 Comprimento = 0,0000001 m; D = 10000		1
Nó N14 Cota = 42,25 m; consumo base = 0 Trecho T12 Comprimento = 0,0000001 m; D = 1000000 mm; C (Hazen Williams) = 1000000 Reservatório R2 Curva característica: curva 00 – R2 (conforme Quadro 1); cota da laje de fundo = 39,25 m; altura de água máxima = 3,00 m; altura de água mínima = 0 m e altura de água inicial = 1,0 m Trecho T13 Comprimento = 180 m; D = 700 mm; C (Hazen Williams) = 115 Nó N15 Cota = 52,13 m; consumo base = 0 Trecho T14 Comprimento = 393 m; D = 600 mm; C (Hazen Williams) = 115 Nó N16 Cota = 47,50 m; consumo base = 0 Trecho T15 Comprimento = 235 m; D = 400 mm; C (Hazen Williams) = 115 Nó N17 Cota = 54,10 m; consumo base = 0 Válvula FCV3 Válvula reguladora de vazão; Diâmetro 400 mm, parâmetro de controle (ver Quadro 7) Nó N18 Cota = 54,10 m; consumo base = 0 Trecho T16 Comprimento = 10 m; D = 400 mm; C (Hazen Williams) = 115 Nó N19 Cota = 54,10 m; consumo base = 0 Válvula PSV3 Válvula Sustentadora de Pressão; Diâmetro 400 mm, parâmetro de controle = 0 Nó N20 Cota = 54,10 m; consumo base = 0 Trecho T17 Comprimento = 0,0000001 m; D = 10000000 mm; C (Hazen Williams) = 1000000		
Trecho T12 Comprimento = 0,0000001 m; D = 1000000 mm; C (Hazen Williams) = 1000000 Reservatório R2 Curva característica: curva 00 − R2 (conforme Quadro 1); cota da laje de fundo = 39,25 m; altura de água máxima = 3,00 m; altura de água mínima = 0 m e altura de água inicial = 1,0 m Trecho T13 Comprimento = 180 m; D = 700 mm; C (Hazen Williams) = 115 Nó N15 Cota = 52,13 m; consumo base = 0 Trecho T14 Comprimento = 393 m; D = 600 mm; C (Hazen Williams) = 115 Nó N16 Cota = 47,50 m; consumo base = 0 Trecho T15 Comprimento = 235 m; D = 400 mm; C (Hazen Williams) = 115 Nó N17 Cota = 54,10 m; consumo base = 0 Válvula FCV3 Válvula reguladora de vazão; Diâmetro 400 mm, parâmetro de controle (ver Quadro 7) Nó N18 Cota = 54,10 m; consumo base = 0 Trecho T16 Comprimento = 10 m; D = 400 mm; C (Hazen Williams) = 115 Nó N19 Cota = 54,10 m; consumo base = 0 Válvula PSV3 Válvula Sustentadora de Pressão; Diâmetro 400 mm, parâmetro de controle = 0 Nó N20 Cota = 54,10 m; consumo base = 0 Trecho T17 Comprimento = 0,0000001 m; D = 10000000 mm; C (Hazen Williams) = 1000000		
Reservatório R2 Curva característica: curva 00 – R2 (conforme Quadro 1); cota da laje de fundo = 39,25 m; altura de água máxima = 3,00 m; altura de água mínima = 0 m e altura de água inicial = 1,0 m Trecho T13 Comprimento = 180 m; D = 700 mm; C (Hazen Williams) = 115 Nó N15 Cota = 52,13 m; consumo base = 0 Trecho T14 Comprimento = 393 m; D = 600 mm; C (Hazen Williams) = 115 Nó N16 Cota = 47,50 m; consumo base = 0 Trecho T15 Comprimento = 235 m; D = 400 mm; C (Hazen Williams) = 115 Nó N17 Cota = 54,10 m; consumo base = 0 Válvula FCV3 Válvula reguladora de vazão; Diâmetro 400 mm, parâmetro de controle (ver Quadro 7) Nó N18 Cota = 54,10 m; consumo base = 0 Trecho T16 Comprimento = 10 m; D = 400 mm; C (Hazen Williams) = 115 Nó N19 Cota = 54,10 m; consumo base = 0 Válvula PSV3 Válvula Sustentadora de Pressão; Diâmetro 400 mm, parâmetro de controle = 0 Nó N20 Cota = 54,10 m; consumo base = 0 Trecho T17 Comprimento = 0,0000001 m; D = 1000000 mm; C (Hazen Williams) = 1000000		
Reservatorio R2 água máxima = 3,00 m; altura de água mínima = 0 m e altura de água inicial = 1,0 m Trecho T13 Comprimento = 180 m; D = 700 mm; C (Hazen Williams) = 115 Nó N15 Cota = 52,13 m; consumo base = 0 Trecho T14 Comprimento = 393 m; D = 600 mm; C (Hazen Williams) = 115 Nó N16 Cota = 47,50 m; consumo base = 0 Trecho T15 Comprimento = 235 m; D = 400 mm; C (Hazen Williams) = 115 Nó N17 Cota = 54,10 m; consumo base = 0 Válvula FCV3 Válvula reguladora de vazão; Diâmetro 400 mm, parâmetro de controle (ver Quadro 7) Nó N18 Cota = 54,10 m; consumo base = 0 Trecho T16 Comprimento = 10 m; D = 400 mm; C (Hazen Williams) = 115 Nó N19 Cota = 54,10 m; consumo base = 0 Válvula PSV3 Válvula Sustentadora de Pressão; Diâmetro 400 mm, parâmetro de controle = 0 Nó N20 Cota = 54,10 m; consumo base = 0 Trecho T17 Comprimento = 0,0000001 m; D = 10000000 mm; C (Hazen Williams) = 1000000	TICCHO T12	
Trecho T13	Reservatório R2	
Nó N15 Cota = 52,13 m; consumo base = 0 Trecho T14 Comprimento = 393 m; D = 600 mm; C (Hazen Williams) = 115 Nó N16 Cota = 47,50 m; consumo base = 0 Trecho T15 Comprimento = 235 m; D = 400 mm; C (Hazen Williams) = 115 Nó N17 Cota = 54,10 m; consumo base = 0 Válvula FCV3 Válvula reguladora de vazão; Diâmetro 400 mm, parâmetro de controle (ver Quadro 7) Nó N18 Cota = 54,10 m; consumo base = 0 Trecho T16 Comprimento = 10 m; D = 400 mm; C (Hazen Williams) = 115 Nó N19 Cota = 54,10 m; consumo base = 0 Válvula PSV3 Válvula Sustentadora de Pressão; Diâmetro 400 mm, parâmetro de controle = 0 Nó N20 Cota = 54,10 m; consumo base = 0 Trecho T17 Comprimento = 0,00000001 m; D = 10000000 mm; C (Hazen Williams) = 1000000	Trecho T13	
$ \begin{array}{cccccccccccccccccccccccccccccccccccc$		
Nó N16 Cota = 47,50 m; consumo base = 0 Trecho T15 Comprimento = 235 m; D = 400 mm; C (Hazen Williams) = 115 Nó N17 Cota = 54,10 m; consumo base = 0 Válvula FCV3 Válvula reguladora de vazão; Diâmetro 400 mm, parâmetro de controle (ver Quadro 7) Nó N18 Cota = 54,10 m; consumo base = 0 Trecho T16 Comprimento = 10 m; D = 400 mm; C (Hazen Williams) = 115 Nó N19 Cota = 54,10 m; consumo base = 0 Válvula PSV3 Válvula Sustentadora de Pressão; Diâmetro 400 mm, parâmetro de controle = 0 Nó N20 Cota = 54,10 m; consumo base = 0 Trecho T17 Comprimento = 0,0000001 m; D = 10000000 mm; C (Hazen Williams) = 1000000		
Trecho T15 Comprimento = 235 m; D = 400 mm; C (Hazen Williams) = 115 Nó N17 Cota = 54,10 m; consumo base = 0 Válvula FCV3 Válvula reguladora de vazão; Diâmetro 400 mm, parâmetro de controle (ver Quadro 7) Nó N18 Cota = 54,10 m; consumo base = 0 Trecho T16 Comprimento = 10 m; D = 400 mm; C (Hazen Williams) = 115 Nó N19 Cota = 54,10 m; consumo base = 0 Válvula PSV3 Válvula Sustentadora de Pressão; Diâmetro 400 mm, parâmetro de controle = 0 Nó N20 Cota = 54,10 m; consumo base = 0 Trecho T17 Comprimento = 0,0000001 m; D = 10000000 mm; C (Hazen Williams) = 1000000		
Nó N17Cota = 54,10 m; consumo base = 0Válvula FCV3Válvula reguladora de vazão; Diâmetro 400 mm, parâmetro de controle (ver Quadro 7)Nó N18Cota = 54,10 m; consumo base = 0Trecho T16Comprimento = 10 m; D = 400 mm; C (Hazen Williams) = 115Nó N19Cota = 54,10 m; consumo base = 0Válvula PSV3Válvula Sustentadora de Pressão; Diâmetro 400 mm, parâmetro de controle = 0Nó N20Cota = 54,10 m; consumo base = 0Trecho T17Comprimento = 0,0000001 m; D = 10000000 mm; C (Hazen Williams) = 1000000		
Válvula FCV3Válvula reguladora de vazão; Diâmetro 400 mm, parâmetro de controle (ver Quadro 7)Nó N18Cota = 54,10 m; consumo base = 0Trecho T16Comprimento = 10 m; D = 400 mm; C (Hazen Williams) = 115Nó N19Cota = 54,10 m; consumo base = 0Válvula PSV3Válvula Sustentadora de Pressão; Diâmetro 400 mm, parâmetro de controle = 0Nó N20Cota = 54,10 m; consumo base = 0Trecho T17Comprimento = 0,0000001 m; D = 1000000 mm; C (Hazen Williams) = 1000000		•
Nó N18Cota = 54,10 m; consumo base = 0Trecho T16Comprimento = 10 m ; D = 400 mm ; C (Hazen Williams) = 115 Nó N19Cota = $54,10 \text{ m}$; consumo base = 0 Válvula PSV3Válvula Sustentadora de Pressão; Diâmetro 400 mm , parâmetro de controle = 0 Nó N20Cota = $54,10 \text{ m}$; consumo base = 0 Trecho T17Comprimento = $0,00000001 \text{ m}$; D = 10000000 mm ; C (Hazen Williams) = 10000000		
Trecho T16 Comprimento = 10 m; D = 400 mm; C (Hazen Williams) = 115 Nó N19 Cota = 54,10 m; consumo base = 0 Válvula PSV3 Válvula Sustentadora de Pressão; Diâmetro 400 mm, parâmetro de controle = 0 Nó N20 Cota = 54,10 m; consumo base = 0 Trecho T17 Comprimento = 0,0000001 m; D = 1000000 mm; C (Hazen Williams) = 1000000		
Nó N19Cota = 54,10 m; consumo base = 0Válvula PSV3Válvula Sustentadora de Pressão; Diâmetro 400 mm, parâmetro de controle = 0Nó N20Cota = 54,10 m; consumo base = 0Trecho T17Comprimento = 0,0000001 m; D = 1000000 mm; C (Hazen Williams) = 1000000		
Válvula PSV3Válvula Sustentadora de Pressão; Diâmetro 400 mm, parâmetro de controle = 0Nó N20Cota = 54,10 m; consumo base = 0Trecho T17Comprimento = 0,0000001 m; D = 1000000 mm; C (Hazen Williams) = 1000000		
Nó N20 Cota = 54,10 m; consumo base = 0 Trecho T17 Comprimento = 0,0000001 m; D = 1000000 mm; C (Hazen Williams) = 1000000		
Trecho T17 Comprimento = 0,0000001 m; D = 1000000 mm; C (Hazen Williams) = 1000000		
1		
Curva característica: curva ()() = R4 (conforme Quadro 1): cota da laie de fundo = 50 60 m: altura de 1		Curva característica: curva 00 – R4 (conforme Quadro 1); cota da laje de fundo = 50,60 m; altura de
Reservatório R4 Reservatório R4 água máxima = 3,50 m; altura de água mínima = 0 m e altura de água inicial = 1,5 m	Reservatório R4	

(Continuação Quadro 4)

(Continuação Qua	dro 4)
Trecho T18	Comprimento = 326 m; D = 500 mm; C (Hazen Williams) = 115
Nó N21	Cota = 51,73 m; consumo base = 0
Válvula FCV4	Válvula reguladora de vazão; Diâmetro 500 mm, parâmetro de controle (ver Quadro 7)
Nó N22	Cota = 51,73 m; consumo base = 0
Trecho T19	Comprimento = 10 m; D = 500 mm; C (Hazen Williams) = 115
Nó N23	Cota = 51,73 m; $consumo base = 0$
Válvula PSV4	Válvula Sustentadora de Pressão; Diâmetro 500 mm, parâmetro de controle = 0
Nó N24	Cota = 51,73 m; $consumo base = 0$
Trecho T20	Comprimento = 0,0000001 m; D = 1000000 mm; C (Hazen Williams) = 1000000
Reservatório	Curva característica: curva 00 – R2A (conforme Quadro 1); cota da laje de fundo = 45,43 m; altura
R2A	de água máxima = 6,30 m; altura de água mínima = 0 m e altura de água inicial = 1,0 m
Trecho T21	Comprimento = 68 m; D = 300 mm; C (Hazen Williams) = 115
Nó N25	Cota = 66,00 m; consumo base (ver Tabela 4)
Trecho T22	Comprimento = 100 m; D = 200 mm; C (Hazen Williams) = 115
Nó N26	Cota = 56,00 m; consumo base (ver Tabela 4)
Trecho T23	Comprimento = 10 m; D = 400 mm; C (Hazen Williams) = 115
Nó N27	Cota = 51,42 m; consumo base (ver Tabela 4)
Trecho T24	Comprimento = 10 m; D = 500 mm; C (Hazen Williams) = 115
Nó N28	Cota = 38,25 m; consumo base (ver Tabela 4)
Trecho T25	Comprimento = 127,30 m; D = 500 mm; C (Hazen Williams) = 115
Nó N29	Cota = 50,60 m; consumo base (ver Tabela 4)
Trecho T26	Comprimento = 10 m; D = 500 mm; C (Hazen Williams) = 115
Nó N30	Cota = 44,43 m; consumo base (ver Tabela 4)
Trecho T27	Comprimento = 230 m; D = 800 mm; C (Hazen Williams) = 115
Nó N31	Cota = 84,60 m; consumo base = 0
Válvula FCV5	Válvula reguladora de vazão; Diâmetro 500 mm, parâmetro de controle (ver Quadro 7)
Nó N32	Cota = 84,60 m; $consumo base = 0$
Trecho T28	Comprimento = 10 m; D = 500 mm; C (Hazen Williams) = 115
Nó N33	Cota = 84,60 m; $consumo base = 0$
Válvula PSV5	Válvula Sustentadora de Pressão; Diâmetro 500 mm, parâmetro de controle = 0
Nó N34	Cota = 84,60 m; $consumo base = 0$
Trecho T29	Comprimento = 0,0000001 m; D = 1000000 mm; C (Hazen Williams) = 1000000
Reservatório	Curva característica: curva 00 – SBB (conforme Quadro 1); cota da laje de fundo = 80,90 m; altura
SBB	de água máxima = 3,70 m; altura de água mínima = 0 m e altura de água inicial = 1,50 m
RNF2	Cota do nível d'água = 90 m
Trecho T30	Comprimento = 100 m; D = 300 mm; C (Hazen Williams) = 115
Nó N35	Cota = 84,60 m; consumo base = 0
Válvula FCV6	Válvula reguladora de vazão; Diâmetro 300 mm, parâmetro de controle (ver Quadro 7)
Nó N36	Cota = 84,60 m; consumo base = 0
Trecho T31	Comprimento = 10 m; D = 300 mm; C (Hazen Williams) = 115
Nó N37	Cota = 84,60 m; consumo base = 0
Válvula PSV6	Válvula Sustentadora de Pressão; Diâmetro 300 mm, parâmetro de controle = 0
Nó N38	Cota = 84,60 m; consumo base = 0
Trecho T32	Comprimento = 0,0000001 m; D = 1000000 mm; C (Hazen Williams) = 1000000
Trecho T33	Comprimento = 16,50 m; D = 600 mm; C (Hazen Williams) = 115
Nó N39	Cota = 78,43 m; consumo base (ver Tabela 4)

Fonte: Autor (2024)

No caso do modelo isolado da elevatória do Benedito Bentes apresentado na Figura 16 e com descrição dos dados no Quadro 5, o ponto de partida é o RNF3, que representa um poço de sucção existente (cota de fundo 78,43 m). No modelo integrado (Figura 15) o RNF3 é

representado pelo nó N39. Para que o volume recalcado pela B1BB fosse equivalente ao volume consumido pelo nó N39, inseriu-se um consumo base e associou-se um padrão de consumo ao nó (Quadro 9). No modelo isolado, o nó N104 representa o ponto de partida da rede de distribuição com cota igual a cota de nível do terreno do reservatório elevado (ver padrão de consumo e consumo base nas Tabelas 3 e 4, respectivamente). Ainda que o reservatório elevado do Benedito Bentes tenha como nível máximo 7,60 m, nas simulações, este nível foi limitado a 6,25 m em virtude de um vazamento que ocorre pela tubulação do extravasor a partir do referido nível.

N102 PSV7 N103 T102 TBB
120.65 120.65 113.05

T103

Adutora

Nó de cabeceira da Rede

N104

88.55

Figura 16 – Esquema do Sistema Isolado do Reservatório Benedito Bentes

Fonte: Autor (2024)

Quadro 5 – Dados dos Elementos do Sistema Isolado do Reservatório Benedito Bentes

Elemento	Dados		
RNF3	Cota do nível d'água = 78.43 m		
Bomba B1BB	Curva característica: curva 00 – MB Benedito Bentes (vazão = 208,33 L/s, carga = 55 mca). Padrão = (ver Quadro 8)		
Nó N101	Cota = 82,48 m; consumo base = 0		
Trecho T101	Comprimento = 200m; D = 400 mm; Material= aço; Tempo de uso= maior que 20 anos; C (Hazen Williams) = 115		
Nó N102	Cota = 120,65 m; consumo base = 0		
PSV7	Válvula Sustentadora de Pressão; Diâmetro 400 mm, parâmetro de controle = 0		
Nó N103	Cota = 120,65 m; consumo base = 0		
Trecho T102	Comprimento = 0,0000001 m; D = 1000000 mm; C (Hazen Williams) = 1000000		
Reservatório TBB	Curva característica: curva 2 – Torre Benedito Bentes (conforme Quadro 1); cota da laje de fundo = 113,05 m; altura de água máxima = 6,25 m; altura de água mínima = 0 m e altura de água inicial = 3,00 m		
Trecho T103	Comprimento = 26,50m; D = 500 mm; Material= aço; Tempo de uso= maior que 20 anos C (Hazen Williams) = 115		
Nó N104	Cota = 86,55 m; consumo base = (ver Tabela 4); padrão de consumo = (ver Tabela 3)		

Fonte: Autor (2024)

No caso do modelo isolado da elevatória do R4A representado pela Figura 17 e descrito no Quadro 6, o ponto de partida é o RNF4, que representa o reservatório de onde ocorre

a sucção da água tratada. Adotou-se então a cota 50,60 m (cota de fundo do reservatório R4) como cota de nível de água do RNF4. No modelo integrado, o nó N29 representa o RNF4, e o trecho T25 é fictício, servindo apenas ao propósito de permitir o fluxo de saída do reservatório. Para que o volume recalcado pelas bombas B1R4 e B2R4 fosse equivalente ao volume consumido pelo nó N29, inseriu-se um consumo base e associou-se um padrão de consumo ao nó (Quadro 9). No modelo isolado, o nó N204 representa o ponto de partida da rede de distribuição, com cota igual a cota de nível do terreno do reservatório elevado (ver padrão de consumo e consumo base nas Tabelas 3 e 4, respectivamente).

Figura 17 – Esquema do Sistema Isolado do reservatório R4A

Fonte: Autor (2024)

Quadro 6 – Dados dos Elementos do Sistema Isolado do Reservatório R4A

Elemento	Dados		
RNF4	Cota do nível d'água = 50,60 m		
Bomba B1R4	Curva característica: curva 00 – R4A (vazão = 151,90 L/s, carga = 26,8 mca); Padrão = (ver Quadro 8)		
Bomba B2R4	Curva característica: curva 00 – R4A (vazão = 151,90 L/s, carga = 26,8 mca); Padrão = (ver Quadro 8)		
Nó N201	Cota = 50.60 m; consumo base = 0		
Trecho T201	Comprimento = 127,30 m; D = 500 mm; Material= Ferro Fundido Dúctil; Tempo de uso= maior que 20 anos; C (Hazen Williams) = 115		
Nó N202	Cota = 78,64 m; consumo base = 0		
PSV8	Válvula Sustentadora de Pressão; Diâmetro 500 mm, parâmetro de controle = 0		
Nó N203	Cota = 78,64 m; consumo base = 0		
Trecho T202	Comprimento = 0,0000001 m; D = 1000000 mm; C (Hazen Williams) = 1000000		
Reservatório R4A	Curva característica: curva 00 – Torre R4A (conforme Quadro 1); cota da laje de fundo = 72,64 m; altura de água máxima = 6,00 m; altura de água mínima = 0 m e altura de água inicial = 4,0 m		
Trecho T203	Comprimento = 21,50m; D = 500 mm; Material= Ferro Fundido Dúctil; Tempo de uso= maior que 20 anos C (Hazen Williams) = 115		
Nó N204	Cota = 51,14 m; consumo base = (ver Tabela 4); padrão de consumo = (ver Tabela 3)		

Fonte: Autor (2024)

As características das bombas do *Booster* R6A e do *Booster* Jacintinho não foram disponibilizadas. Dessa forma, adotou-se como simplificação, a representação desses

subsistemas por meio dos nós de consumo N25 e N26, respectivamente. Os consumos bases considerados foram 400 m³/h para o N25 e 50 m³/h para o nó N26, conforme média diária distribuída e totalizada por meio do sistema de telemetria. O padrão de consumo foi fixado em 1. Ressalta-se que não havia cadastro da tubulação T22, dessa forma, a derivação até o *Booster* Jacintinho foi considerada com diâmetro de 200 mm e 100 m de extensão. A cota do nó N26 foi adotada em 56m, próximo ao valor da cota do nó N5 (54,91m), de onde o trecho T22 deriva.

Durante a elaboração do modelo, a adoção de diâmetros nominais ao invés do diâmetro interno das tubulações é corriqueira, tendo em vista que a pequena diferença entre esses valores se dá pelo tipo de revestimento do tubo ou por incrustações no seu interior devido à ação do tempo. Por isso, para efeitos de modelagem, foi adotado o diâmetro nominal do tubo.

Segundo Sanova (2021), o ajuste do erro entre a variação dos diâmetros é feito a partir dos coeficientes de rugosidade. Vale ressaltar que alterações nos valores de rugosidade causam um impacto menor em comparação ao ajuste do diâmetro interno.

As tubulações de saída de alguns reservatórios não constavam nos cadastros consultados. Dessa forma, os trechos T23 (associado ao reservatório R1), T24 (associado ao reservatório R2) e T30 (associado ao reservatório R2A) foram adotados com as características da tubulação de entrada (Quadro 4). Os nós de cabeceira de rede, associados aos reservatórios citados, respectivamente N27, N28 e N30 tiveram as cotas adotas com um metro abaixo das cotas de fundo dos reservatórios associados.

As válvulas FCV1, FCV2, FCV3, FCV4, FCV5 e FCV6 são válvulas reais e operadas com o objetivo de controlar a vazão de entrada nos reservatórios. Possuem controle por telemetria as válvulas FCV1, FCV2 e FCV3. As demais válvulas podem ser manobradas manualmente. As válvulas PSV1, PSV2, PSV3, PSV4, PSV5, PSV6, PSV7e PSV8 são válvulas fictícias, adicionadas ao modelo como artifício para que o fluxo de água entre por cima nos reservatórios. Os trechos T7, T12, T17, T20, T29, T32, T102 e T202 são trechos fictícios, com perda de carga desprezível, adicionados ao modelo tão somente para conectar as válvulas do tipo PSV aos reservatórios.

3.5 SIMULAÇÃO COM AUXÍLIO DO EPANET

As simulações foram realizadas nos modelos isolados (elevatória do Benedito Bentes e elevatória do R4A) e no modelo integrado considerando os padrões de consumo (Tabelas 3) e consumo base (Tabelas 4) apresentados anteriormente. Para cada modelo foram realizadas duas simulações, uma para o cenário dos dias comuns (120 h) e a outra para o cenário dos finais de semana (48 h). Considerou-se que o reservatório R2A passou a ser abastecido

exclusivamente pelo Sistema Pratagy, no caso de uma manutenção hipotética ou desativação do Sistema Catolé-Cardoso.

Entende-se como regra operacional a determinação das vazões disponibilizadas para cada área de abastecimento em horários estabelecidos, controladas por meio manobras de abertura e fechamento de válvulas e pelo regime de bombeamento nas estações elevatórias. Como premissas às regras cita-se: a operação da ETA em sua capacidade máxima; todos os poços elencados em funcionamento; o atendimento a demanda de consumo das áreas de abastecimento; a operação dos reservatórios entre os níveis mínimo e máximo. As válvulas FCV3 e FCV5 foram manobradas de modo a manter os reservatórios SBB e R4 com nível constante, para não influenciar na altura de sucção relacionada às bombas B1R4, B2R4 e B1BB.

No presente trabalho, não foram considerados os dados de pressão e vazão nas redes de distribuição das áreas de abastecimentos atendidas pelo Sistema Pratagy. Dessa forma, considerou-se que os projetos previram uma capacidade de armazenamento adequada, prevendo além do volume útil, o volume para emergências e o volume para combate a incêndios. Considerou-se ainda que o incêndio não ocorre ao mesmo tempo com as emergências. Cabe então, em futuros estudos, verificar se os níveis máximos (nível próximo ao nível de transbordo) e mínimo (acima da cota de fundo dos reservatórios) atendem às pressões de serviço nas redes de distribuição.

Para todos os casos, a primeira tentativa de estabelecimento da regra operacional visou a disponibilização de uma vazão constante na entrada dos reservatórios. Não sendo possível, foi estabelecida uma vazão máxima para o enchimento dos reservatórios durante a madrugada e outra vazão para os demais horários.

Para os casos dos reservatórios R2 e R2A, a análise de demanda de consumo foi indeterminada pelo método utilizado neste trabalho. Ainda que a vazão disponibilizada para essas áreas de abastecimento tenha variado ao longo do período em análise, observou-se que o nível desses reservatórios sofre pequenas variações e permanece baixo. O padrão de consumo processado pelas aplicações (Pratagy-Módulo1 e Pratagy-Módulo2) aproximou-se de 1 em todos os horários, tanto para dias comuns como para os finais de semana.

Pode-se inferir que a vazão disponibilizada para estas áreas de abastecimento não atendeu ao consumo demandado pela rede de distribuição associada a esses reservatórios. Desta forma, nas simulações, direcionou-se a vazão média disponibilizada no período para o reservatório R2. O fluxo direcionado para o R2A foi calculado de modo que a oferta de água no sistema integrado não ultrapassasse o volume produzido pela ETA e pelos poços externos.

A seguir, são evidenciadas as vazões praticadas por meio do controle das válvulas do tipo FCV e por meio do controle das bombas (motores associados a sistemas elétricos com inversores de frequência) (Quadro 7).

Quadro 7 – Controle das Válvulas do Tipo FCV

Fonte/destino	Válvula	Parâmetro de controle (l/s)		
Fonte/destino	varvuta	Segunda à sexta	Finais de semana	
			[00h-05h] - 34,20	
ETA/SBB	FCV5	43,27	[06h-23h] - 56,28	
Poços externos /SBB	FCV6	152,97	152,97	
ETA/R1	FCV1	418,05	396,58	
ETA/R2	FCV2	234,44	242,77	
			[00h-05h] - 158,82	
ETA/R2A	FCV4	132,30	[06h-23h] - 136,74	
ETA/R4	FCV3	126,95	122,64	

Fonte: Autor (2024)

Nos finais de semana, as válvulas FCV4 e FCV5 foram operadas com vazões diferentes em horários definidos pelos controles programados no EPANET apresentados nos apêndices.

A seguir são apresentados os dados referentes ao padrão de bombeamento empregado nas simulações (Quadro 8).

Quadro 8 – Padrão de Operação das Bombas – (agosto a novembro de 2023)

	Benedito Bentes – B1BB				
	Segunda à sext	ta		finais de seman	a
intervalo fator vazão equivalente multiplicativo (m³/h)		intervalo	fator multiplicativo	vazão equivalente (m³/h)	
[1-24]	0,03565	706	[1-6]	0,89153	674
				0,92152	753
		R4 – B1I	R4 e B2R4		
	Segunda à sext	ta		finais de seman	a
intervalo fator vazão equivalente multiplicativo (m³/h)		intervalo	fator multiplicativo	vazão equivalente (m³/h)	
[1-24]	0,912175	457	[1-24]	0,91045	442

Fonte: Autor (2024)

A seguir, apresentam-se as configurações dos nós que possuem consumo nos sistemas isolados e no sistema integrado (Quadro 9).

Quadro 9 – Configurações dos Nós que possuem Consumo

Ná / sistama	Segur	nda à sexta	Finais de semana	
Nó / sistema associado	Consumo Base	Padrão de Consumo	Consumo Base	Padrão de Consumo
N25 (R6A)	111,11	Fixo em 1	111,11	Fixo em 1
N26 (Jacintinho)	13,88	Fixo em 1	13,88	Fixo em 1
N27 (R1)	418,05	Tabela 3	397,22	Tabela 3
N28 (R2)	234,44	Fixo em 1	242,77	Fixo em 1
N29 (Ponto conexão com RNF4 - R4a)	126,95	Fixo em 1	122,64	Fixo em 1
N30 (R2A)	132,30	Fixo em 1	158,82	[1-6] – 1 [7-24] – 0,86097469
N39 (Ponto de conexão com RNF3 – Benedito Bentes)	196,24	Fixo em 1	209,25	[1-6] – 0,894480287 [7-24] - 1
N104 (TBB)	195,83	Tabela 3	204,16	Tabela 3
N 204 (R4A)	126,11	Tabela 3	125,55	Tabela 3

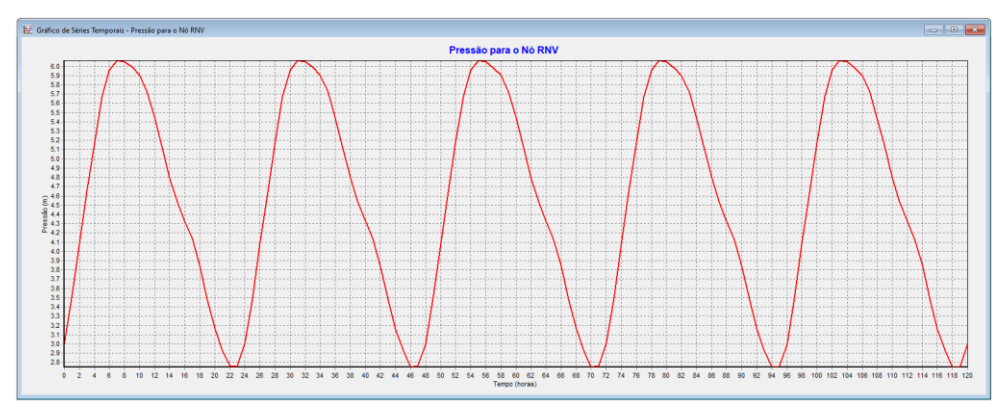
4 RESULTADOS E DISCUSSÕES

4.1 RESULTADOS DAS SIMULAÇÕES

4.1.1 Benedito Bentes

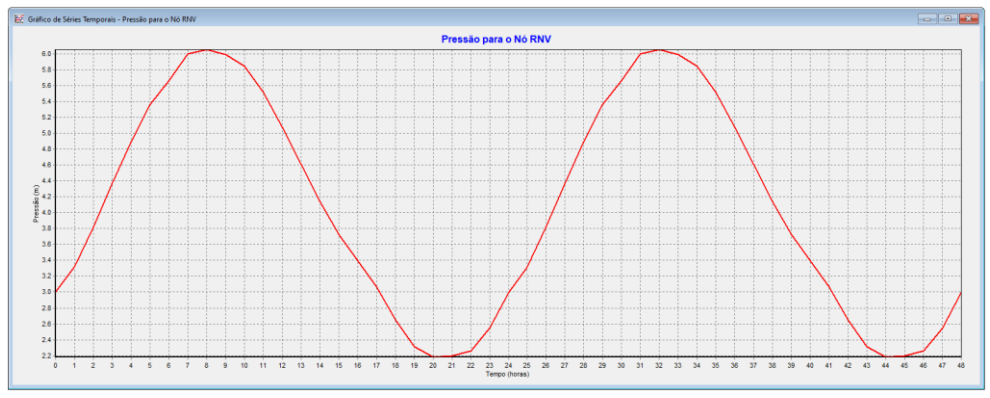
A simulação realizada, considerando o cenário para dias comuns (120h), atingiu o equilíbrio por meio da operação da bomba com uma vazão única de 706 m³/h. O nível do reservatório final foi igual ao nível inicial (3m) e os níveis mínimo e máximo foram, respectivamente, 2,76 m e 6,06 m conforme Figura 18. As pressões mínima e máxima no nó N104 (nó de cabeceira da rede de distribuição) foram, respectivamente, 29,19 mca e 32,50 mca.

Figura 18 – Nível do Reservatório Benedito Bentes Conforme Simulação para Dias Comuns



A simulação realizada, considerando o cenário para finais de semana (48h), atingiu o equilíbrio por meio da operação da bomba com vazões distintas: das 00h às 06h a vazão foi de 674 m³/h e, a partir das 06h, a vazão foi de 753 m³/h. O nível do reservatório final foi igual ao nível inicial (3 m) e os níveis mínimo e máximo foram, respectivamente, 2,14 m e 6,00 m conforme Figura 19. As pressões mínima e máxima no nó N104 (nó de cabeceira da rede de distribuição) foram, respectivamente, 28,57 mca e 32,42 mca.

Figura 19 – Nível do Reservatório Benedito Bentes Conforme Simulação para Finais de Semana

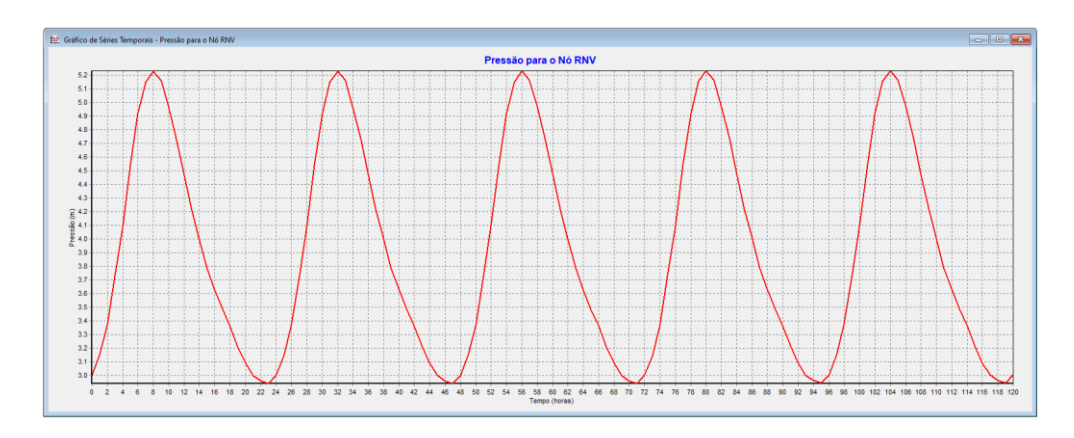


Fonte: Autor (2024)

4.1.2 R1

A simulação realizada, considerando o cenário para dias comuns (120h), atingiu o equilíbrio por meio da operação da válvula controladora de vazão (FCV1) com uma vazão única de 1511 m³/h. O nível do reservatório final foi igual ao nível inicial (3m) e os níveis mínimo e máximo foram, respectivamente, 2,94 m e 5,23 m conforme Figura 20. As pressões mínima e máxima no nó N27 (nó na saída do reservatório) foram, respectivamente, 3,69 mca e 5,95 mca.

Figura 20 – Nível do Reservatório R1 Conforme Simulação para Dias Comuns



A simulação realizada, considerando o cenário para finais de semana (48h), atingiu o equilíbrio por meio da operação da válvula controladora de vazão (FCV1) com uma vazão única de 1428 m³/h. O nível do reservatório final foi igual ao nível inicial (3 m) e os níveis mínimo e máximo foram, respectivamente, 2,93 m e 4,88 m conforme Figura 21. As pressões mínima e máxima no nó N27 (nó na saída do reservatório) foram, respectivamente, 3,68 mca e 5,62 mca.

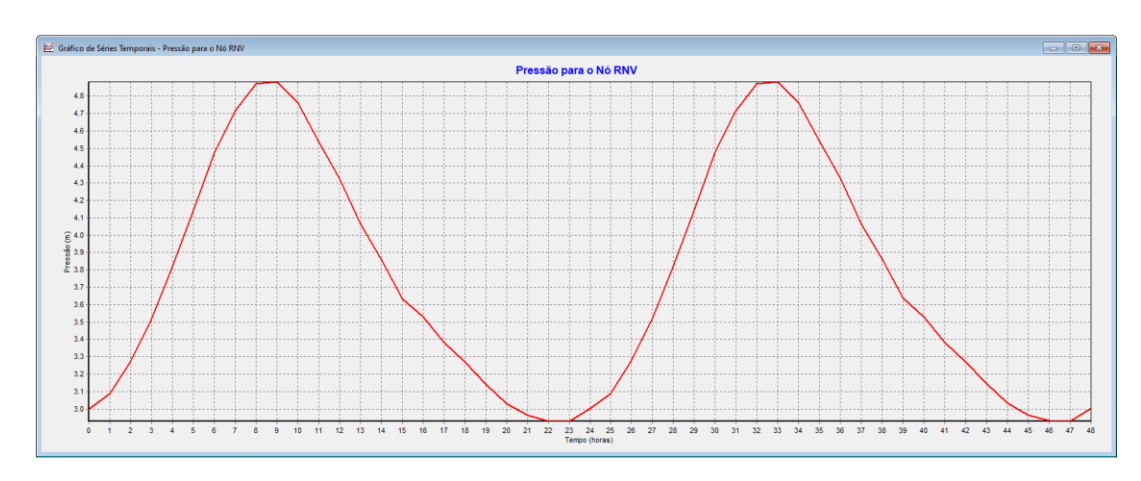


Figura 21 – Nível do Reservatório R1 Conforme Simulação para Finais de Semana

Fonte: Autor (2024)

4.1.3 R2

A simulação foi realizada considerando o cenário para dias comuns (120h) e a válvula controladora de vazão (FCV2) foi ajustada com uma vazão única de 844 m³/h. O nó N28 foi configurado para que o volume disponibilizado ao reservatório fosse integralmente consumido. O nível do reservatório permaneceu fixo em 1m. A pressão nó N28 (nó na saída do reservatório) permaneceu fixa em 1,97 mca.

A simulação foi realizada considerando o cenário para finais de semana (48h) e a válvula controladora de vazão (FCV2) foi ajustada com uma vazão única de 874 m³/h. O nó N28 foi configurado para que o volume disponibilizado ao reservatório fosse integralmente consumido. O nível do reservatório permaneceu fixo em 1 m. A pressão nó N28 (nó na saída do reservatório) permaneceu fixa em 1,97 mca.

4.1.4 R2A

A simulação foi realizada considerando o cenário para dias comuns (120h) e a válvula controladora de vazão (FCV4) foi ajustada com uma vazão única de 476 m³/h. O nó N30 foi configurado para que o volume disponibilizado ao reservatório fosse integralmente

consumido. O nível do reservatório permaneceu fixo em 1m. A pressão nó N30 (nó na saída do reservatório) permaneceu fixa em 2,0 mca.

A simulação foi realizada considerando o cenário para finais de semana (48h) e a válvula controladora de vazão (FCV4) foi ajustada com vazões distintas: das 00h às 06h a vazão foi de 572 m³/h e, a partir das 06h, a vazão foi de 492 m³/h. O nó N30 foi configurado para que o volume disponibilizado ao reservatório fosse integralmente consumido. O nível do reservatório permaneceu fixo em 1m. A pressão nó N30 (nó na saída do reservatório) permaneceu fixa em 2,0 mca.

4.1.5 R4A

A simulação realizada, considerando o cenário para dias comuns (120h), atingiu o equilíbrio por meio da operação da bomba com uma vazão única de 457 m³/h. O nível do reservatório final foi igual ao nível inicial (4 m) e os níveis mínimo e máximo foram, respectivamente, 3,87 m e 4,92 m conforme Figura 22. As pressões mínima e máxima no nó N204 (nó de cabeceira da rede de distribuição) foram, respectivamente, 25,35 mca e 26,40 mca.

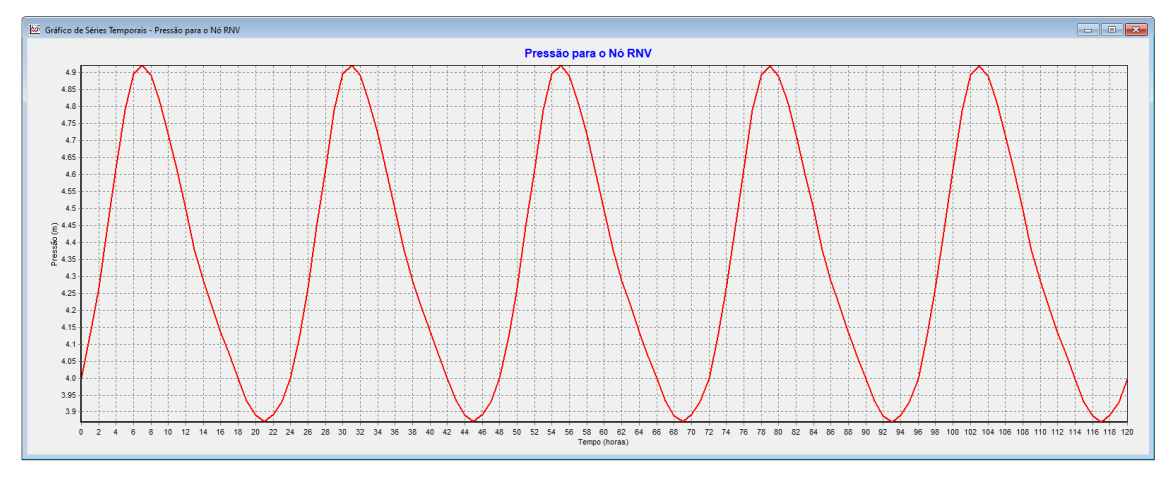


Figura 22 – Nível do Reservatório R4A Conforme Simulação para Dias Comuns

Fonte: Autor (2024)

A simulação realizada, considerando o cenário para finais de semana (48h), atingiu o equilíbrio por meio da operação da bomba com uma vazão única de 442 m³/h. O nível do reservatório final foi igual ao nível inicial (4m) e os níveis mínimo e máximo foram, respectivamente, 3,89 m e 4,92 m conforme Figura 23. As pressões mínima e máxima no nó N204 (nó de cabeceira da rede de distribuição) foram, respectivamente, 25,37 mca e 26,39 mca.

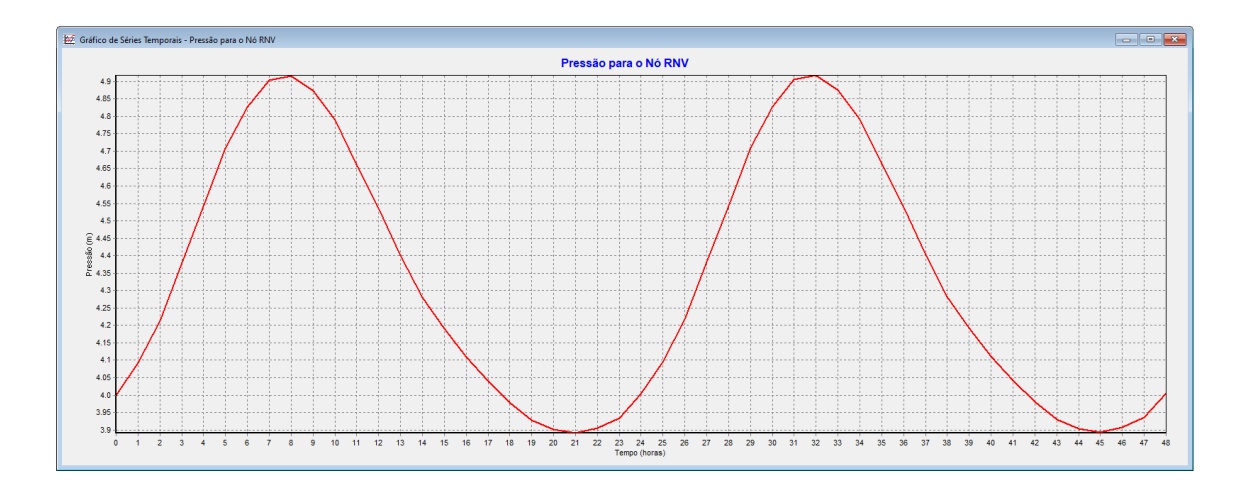


Figura 23 – Nível do Reservatório R4A Conforme Simulação para Finais de Semana

4.1.6 Booster R6A e *Booster* Jacintinho

Nas simulações realizadas para dias comuns (120h) e nas simulações realizadas considerando o cenário para finais de semana (48h) as vazões disponibilizadas aos *Booster* R6A e *Booster* Jacintinho foram, respectivamente 400 m³/h e 50 m³/h. As pressões na entrada do *Booster* R6A (nó N25) permaneceu constante com 14,55 mca durante os dias comuns e durante o final de semana ficou em 14,58 mca até às 05h e em 14,80 mca a partir das 06h. As pressões na entrada do *Booster* Jacintinho (nó N26) permaneceu constante com 19,61 mca durante os dias comuns e durante o final de semana ficou em 20,12 mca até às 05h e em 20,34 mca a partir das 06h.

5 CONSIDERAÇÕES FINAIS

5.1 CONCLUSÕES

As simulações realizadas evidenciaram que a produção máxima do Sistema Pratagy atenderia parcialmente ao consumo demandado em sua área de abrangência, caso houvesse necessidade de direcionar parte do fluxo para o reservatório R2A, abastecido em primeira opção pelo Sistema Catolé-Cardoso. Descartada essa possibilidade, estudos adicionais seriam necessários para planejar o abastecimento do reservatório R2, já que não foi possível determinar a demanda de consumo da região abastecida por meio da metodologia utilizada neste trabalho.

As regras de operação definidas permitem que o sistema seja operado com vazões fixas na entrada de todos os pontos de consumo, durante os dias comuns. Já nos finais de

semana, as vazões de entrada no reservatório TBB, SBB e R2A foram fixadas das 00h até às 06h da manhã. Nesse horário, fez-se necessário a realização de manobras para que um novo valor fixo de vazão fosse direcionado para esses reservatórios. Tal fato deve-se à limitação na capacidade de acumulação de água no reservatório TBB. Trabalhos futuros poderão investigar o comportamento do Sistema, utilizando a capacidade máxima de armazenamento desse reservatório.

Como regra operacional, os níveis dos reservatórios associados às estações elevatórias foram fixados para manter constante a altura de sucção de bombeamento. No caso do reservatório R4, há uma válvula que permite o controle da vazão de entrada remotamente, propiciando ajustes mais finos e constantes. No caso do reservatório SBB, a válvula é operada manualmente, de forma a ser possível um menor número de intervenções. Assim, deve-se admitir que os níveis desses reservatórios possam sofrer pequenas oscilações, sempre ajustados em torno do valor de referência.

Destaca-se a importância das captações subterrâneas, que reforçam o abastecimento dos reservatórios do Sistema Pratagy em cerca de 20%, se comparado ao volume nominal da ETA. Futuros trabalhos poderão dedicar-se a modelagem dos poços, tomando proveito dos resultados das simulações para promover melhorias no sistema de abastecimento. Levantamentos adicionais também poderão ser realizados para o conhecimento das características do *Booster* R6A e do *Booster* Jacintinho, bem como, sondagens poderão ser realizadas para a determinação das propriedades dos trechos não cadastrados que tiveram suas características estimadas.

Neste trabalho, adotou-se como padrão de consumo a média dos índices horários das séries temporais agrupadas para o quadrimestre avaliado. O consumo base também foi definido pela média de consumo do período, para cada região de abastecimento. Esses valores são norteadores da operação do sistema e definem regras que devem ser ajustadas de acordo com possíveis intercorrências.

Por meio da aplicação Pratagy-Módulo1, desenvolvida pelo autor, pode-se gerar um banco de dados com os consumos horários, para cada área de abastecimento. Com isso, poderão ser realizados estudos anuais e determinados os coeficientes k1, k2, k3. Esses parâmetros são importantes para o planejamento da operação de sistemas de abastecimento, e permitem que os gestores tomem decisões com base no conhecimento das flutuações extremas ao longo do tempo. Pequenos ajustes poderão ser feitos na aplicação Pratagy-Módulo2 para que o programa calcule automaticamente os parâmetros citados na análise anual.

Este trabalho poderá ser utilizado como ponto de partida para a investigação das condições atuais de abastecimento da área de abrangência do Sistema Pratagy. Medições de pressão e vazão em pontos de coleta de dados nas redes de distribuição poderão evidenciar se os níveis mínimos e máximos nos reservatórios estão adequados.

As ferramentas desenvolvidas poderão auxiliar no planejamento da operação do Sistema Pratagy e em outros Sistemas de Abastecimento em que a metodologia adotada por esse trabalho se demonstre aplicável. As ferramentas em Python demonstraram-se fundamentais no processamento de grande quantidade de dados e úteis à modelagem do Sistema Pratagy com o uso da ferramenta *EPANET*. Os códigos em linguagem *Python* e as instruções aplicadas no *software EPANET* estão apresentados nos Apêndices B, C e D.

5.2 SUGESTÕES PARA TRABALHOS FUTUROS

Sugere-se para trabalhos futuros o estudo de cenários alternativos para análise do comportamento do Sistema Pratagy, tais como:

- Desativação dos poços;
- Uso de séries temporais de épocas variadas do ano;
- Uso da capacidade máxima do reservatório elevado do Benedito Bentes;
- Uso de curvas de consumo únicas, desconsiderando as variações presentes nos finais de semana;
- Uso de parâmetros extremos k1, k2 e k3.

REFERÊNCIAS

ASCENSÃO, Carlos Ferreira Pinto. **Estudo de modelos de reconstrução de séries temporais de caudal em sistemas de abastecimento de água**. 2023. Dissertação (Mestrado em Engenharia Civil – Área de Especialização: Estruturas) – Instituto Politécnico de Setúbal, Setúbal, 2023.

BONADIO, Larissa de Castro. **Programação das bombas hidráulicas para otimização** energética em sistemas de abastecimento de água utilizando Python e o software **EPANET**. 2023.

COELHO, Sérgio Teixeira; LOUREIRO, Dália; ALEGRE, Helena. **Modelação e análise de sistemas de abastecimento de água**. Lisboa: Instituto Regulador de Águas e Resíduos; Laboratório Nacional de Engenharia Civil, 2006.

Companhia de Saneamento de Alagoas. **Capital**. Disponível em: https://www.casal.al.gov.br/capital/. Acesso em: 27 fevereiro 2024.

Companhia de Saneamento de Alagoas. **História**. Disponível em: https://www.casal.al.gov.br/historia/. Acesso em: 27 fevereiro 2024.

Companhia de Saneamento de Alagoas. **Sistema Pratagy opera com capacidade reduzida após falta de energia**. Disponível em: https://www.casal.al.gov.br/2022/01/sistema-pratagy-opera-com-capacidade-reduzida-apos-falta-de-energia/. Acesso em: 27 fevereiro 2024.

COSTA, V.C.; REIS, R.S. Análise da Variabilidade Temporal de Qualidade da Água Bruta e Tratada na ETA do Pratagy. In: SIMPÓSIO BRASILEIRO DE RECURSOS HÍDRICOS, 17., 2007, São Paulo – SP. Anais [...]. São Paulo, ABRH, 2007. 16 p. Disponível em: https://files.abrhidro.org.br/Eventos/Trabalhos/151/b1aa42639e360cdf186280ce2e439ee8 _1380b263330eb8f8451785973c1c0130.pdf . Acesso em: 27 fevereiro 2024.

DI BERNARDO, L.; SABOGAL PAZ, L.P. **Seleção de tecnologias de tratamento de água**. v. 1 e 2. São Carlos: LDiBe. 1560 p., 2008.

FILHO, S.S.F. Tratamento de água: concepção, projeto e operação de estações de tratamento. Rio de Janeiro: Elsevier, 2017.

GARCEZ, L.N. Elementos de Engenharia Hidráulica e Sanitária. 2.ed. São Paulo: Edgard Bluncher LTDA, 1976.

GOMES, H.P. Abastecimento de água. João pessoa: Editora Universitária da UFPB, 2019.

GOMES, H.P.; SALVINO, M. M. **Manual do Usuário Epanet 2.0 Brasil**: Laboratório de eficiência energética e hidráulica em saneamento da UFPB. 2009.

JÚNIOR, J. F. de O.; SOUZA, P. H. de A.; SOUZA, E. de O.; VANDERLEI, M. H. G. dos S.; FILHO, W. L. F. C.; SANTOS, C. T. B.; BATISTA, B. A.; SANTIAGO, D. B.; GOIS, G. Climatologia da chuva em Maceió: aspectos climáticos e ambientais. Revista Brasileira de Geografia Física, v. 14, n. 4, p. 2253-2264, 2021.

LOURENÇO, Claudio Abiar et al. **Desenvolvimento de banco de dados para sistemas de abastecimento de água visando eficiência hidroenergética usando R e EPANET**. Engenharia Sanitaria e Ambiental, v. 29, p. e20230143, 2024.

Ministério da Saúde. **PORTARIA GM/MS Nº 888, DE 4 DE MAIO DE 2021**. Disponível em: https://bvsms.saude.gov.br/bvs/saudelegis/gm/2021/prt0888_07_05_2021.html . Acesso em: 27 fevereiro 2024.

Nascimento, M.C., Lombardo, M.A., Guimarães Junior, S.A.M., e Andrade, E.L. (2018). Análise da vulnerabilidade físico-ambiental causada pelas chuvas intensas na Região Metropolitana de Maceió. Caminhos da Geografia (UFU. Online), 19, 268-288. Disponível em: https://doi.org/10.14393/Hygeia196718.

Nazaré, A.V.B. Modelagem e simulação do sistema adutor principal da bacia leiteira em Alagoas utilizando o EPANET. 2012. 209 f. Dissertação (Mestrado em Recursos Hídricos e Saneamento) - Programa de Pós-Graduação em Recursos Hídricos e Saneamento – PPGRHS – Universidade Federal de Alagoas, Maceió, 2012.

NETTO, J.M.A *et al.* **Projeto de Sistemas de Distribuição de Água**. São Paulo: CETESBE, 1975.

PARRAS, I. G. Modelo matemático para a otimização energética em sistemas de abastecimento, considerando zonas de pressão e condições estruturais. Dissertação

(Mestrado) – Universidade Estadual Paulista (Unesp), Faculdade de Engenharia, Bauru. 2020. Disponível em: . Acesso em: 27 Nov. 2024

Presidência da República. **LEI Nº 14.026, DE 15 DE JULHO DE 2020**. Disponível em: https://www.planalto.gov.br/ccivil_03/_ato2019-2022/2020/lei/114026.htm. Acesso em: 27 fevereiro 2024.

RODRIGUES, Ludmila Machado. **Análise de Eficiência Energética em Sistema De Abastecimento de Água**. 2024.

SANOVA; Companhia de Água e Esgoto do Estado de Rondônia – CAERD; BS2G Consultoria Ltda. **Apostila teórica sobre modelagem hidráulica com o software EPANET**. 2021.

SANTOS, Cláudia Cristina dos e PEREIRA FILHO, Augusto José e GINEZ, Wagner Garcia. Características do consumo de água na Região Metropolitana de São Paulo e os impactos do tempo e do clima. 2006, Anais.. Florianópolis: Sociedade Brasileira de Meteorologia, 2006.

SANTOS, F.M.P. Tendências de Deslocamento Populacional no Caso de Afundamento do Solo em Maceió/AL e Seus Impactos no Abastecimento de Água em Localidades Receptoras de Realocação. Trabalho de Conclusão de Curso (Graduação). Universidade Federal de Alagoas, Centro de Tecnologia. Maceió, 2022.

SILVA, Ofélia de Lira Carneiro. Viabilidade técnica econômica, econômica e ambiental no reaproveitamento de água de lavagem de ETAs - estudo de caso: ETA Gravatá - Campina Grande/PB. Campina Grande, f. 196, 2007. Tese (Doutorado em Recursos Naturais) - Universidade Federal de Campina Grande.

TSUTYIA, M.T. **Abastecimento de Água**. São Paulo: Departamento de Engenharia Hidráulica e Sanitária da Escola Politécnica da Universidade de São Paulo, 2006.

VICENTE, Rosmeiry Vanzella. **Modelo de operação para centros de controle de sistemas de abastecimento de água: estudo de caso: sistema adutor metropolitano de São Paulo**. 2005. Dissertação (Mestrado em Engenharia) — Escola Politécnica, Universidade de São Paulo, São Paulo, 2005.

ZAHED FILHO, K. **Previsão de demanda de consumo em tempo real no desenvolvimento operacional de sistemas de distribuição de água**. Tese de doutorado, Escola Politécnica da USP. 1990, 135p.

APÊNDICE A

Tabela 5 — Coordenadas dos elementos do Sistema Pratagy e Integração com o Sistema Cardoso

Item	Latitude	Longitude	Área Abastecida
Captação Pratagy	9°31'47.05"S	35°41'26.52"O	-
ETA Josué Palmeira	9°33'34.19"S	35°44'19.28"O	-
Caixa de Passagem	, , , , , , , , ,		
saída da ETA Josué	9°33'32.15"S	35°44'18.39"O	-
Palmeira			
SBB	9°33'26.21"S	35°44'23.62"O	-
EEAT Benedito	9°33'25.47"S	35°44'24.73"O	_
Bentes			
TBB	9°33'27.44"S	35°44'20.33"O	Benedito Bentes
Booster R6A	9°38'13.23"S	35°42'56.01"O	Jacintinho
Booster Jacintinho	9°38'45.77"S	35°43'6.39"O	Jacintinho
R1	9°38'44.92"S	35°43'5.44"O	Cruz das Almas, Jatiúca, Ponta Verde, Pajuçara, Jaraguá, Poço
R4	9°37'59.74"S	35°44'14.32"O	-
EEAT R4	9°37'59.66"S	35°44'15.28"O	-
R4A	9°38'0.87"S	35°44'16.99"O	Farol, Pinheiro, Gruta de Lourdes, Pitanguinha
R2A	9°38'49.31"S	35°44'13.48"O	Orla Lagunar
R2	9°39'39.67"S	35°44'3.57"O	Centro, Pontal
Captação Catolé Cardoso	9°33'38.73"S	35°47'46.55"O	-
ETA Cardoso	9°37'24.95"S	35°44'47.78"O	-
Caixa de Passagem saída da ETA Cardoso	9°37'25.58"S	35°44'48.61"O	-
EEAT Cardoso-R2A	9°37'26.23"S	35°44'48.90"O	-
]	Poços internos	
P-MAC-BB-05	9°33'24.29"S	35°44'23.42"O	-
P-MAC-BB-06	9°33'27.27"S	35°44'27.29"O	-
P-MAC-BB-16	9°33'27.00"S	35°44'25.00"O	-
P-MAC-BB-17	9°33'30.00"S	35°44'25.00"O	-
P-MAC-BB-18	9°33'29.00"S	35°44'20.00"O	-
]	Poços externos	
P-MAC-BB-01	9°32'42.36"S	35°43'40.80"O	-
P-MAC-BB-02	9°32'47.00"S	35°43'45.00"O	-
P-MAC-BB-03	9°32'56.28"S	35°43'55.10"O	-
P-MAC-BB-04	9°33'18.61"S	35°44'18.23"O	-
P-MAC-BB-08	9°32'35.37"S	35°43'33.47"O	-
P-MAC-BB-13	9°33'14.34"S	35°44'13.88"O	-
P-MAC-BB-14	9°33'9.15"S	35°44'8.47"O	-
	T.	(2024)	

APÊNDICE B

Algoritmo computacional em Python Pratagy-Módulo1

```
import pandas as pd
         import numpy as np
         import matplotlib.pyplot as plt
         import calendar
         import os
         # Definindo variáveis dos dados de entrada
         nivel rese bb = "Penas do Gráfico-RMM Benedito Bentes I - REL\\Nível (MCA)"
         vazao ent rese bb = "Penas do Gráfico-RMM Benedito Bentes I - REL-Vazão Entrada"
         nivel_rese_r1 = "Penas do Gráfico-RMM R-01 - RES - Câmara 02\\Nível (MCA)"
         vazao_ent_rese_r1 = "Penas do Gráfico-RMM R-01 - RES - Câmara 01\\Vazão Sucção"
         nivel_rese_r2 = "Penas do Gráfico-RMM R-02\\Nível (MCA)"
         vazao ent rese r2 = "Penas do Gráfico-RMM R-02\\Vazão Sucção"
         nivel_rese_r2a = "Penas do Gráfico-RMM R-02A\\Nível (MCA)"
         vazao_ent_rese_r2a = "Penas do Gráfico-RMM R-02A\\Vazão Sucção"
         nivel_rese_r4 = "Penas do Gráfico-RMM R-04 - Torre\\Nível (MCA)"
         vazao_ent_rese_r4 = "Penas do Gráfico-RMM R-04 - Torre\\Vazão Sucção"
         # Expressões de volume
         expressoes_de_volume = {
             "Benedito Bentes": lambda altura_h: altura_h**3 * 0.9608 + altura_h**2 * 23.176 + altura_h *
35.367,
            "r1": lambda altura h: altura_h**2 * -62.278 + altura_h * 1690.1,
            "r2": lambda altura_h: altura_h*1005.28,
            "r2a": lambda altura_h: altura_h*653.31,
            "r4": lambda altura_h: altura_h**3 * 1.395738 + altura_h**2 * 33.161258 + altura_h * 262.625451
         }
         # Menu para seleção do reservatório
         def escolher_reservatorio():
            reservatorios = {
                  "Benedito Bentes": (nivel rese bb, vazao ent rese bb, expressoes de volume["Benedito
Bentes"]),
              "r1": (nivel_rese_r1, vazao_ent_rese_r1, expressoes_de_volume["r1"]),
              "r2": (nivel_rese_r2, vazao_ent_rese_r2, expressoes_de_volume["r2"]),
              "r2a": (nivel_rese_r2a, vazao_ent_rese_r2a, expressoes_de_volume["r2a"]),
              "r4": (nivel_rese_r4, vazao_ent_rese_r4, expressoes_de_volume["r4"])
            print("Selecione o reservatório:")
            for i, reservatorio in enumerate(reservatorios.keys(), 1):
              print(f"{i}. {reservatorio}")
            # Selecionando o reservatório
            while True:
              try:
                   opcao_reservatorio = int(input("Digite o número correspondente ao reservatório desejado:
(1)Benedito Bentes; (2)r1; (3)r2; (4)r2a; (5)r4 "))
                 if 1 <= opcao_reservatorio <= len(reservatorios):
                   reservatorio_selecionado = list(reservatorios.keys())[opcao_reservatorio - 1]
```

```
nivel, vazao_ent_rese, expressao_volume = reservatorios[reservatorio_selecionado]
                   break
                 else:
                   print(f"Por favor, escolha um número entre 1 e {len(reservatorios)}.")
               except ValueError:
                 print("Entrada inválida! Por favor, insira um número.")
            return reservatorio selecionado, nivel, vazao ent rese, expressao volume
          # Executa a função para escolher o reservatório e armazena os valores
          reservatorio, nivel, vazao_ent_rese, expressao_volume = escolher_reservatorio()
          # Imprime os resultados para verificação
          print(f"Reservatório selecionado: {reservatorio}")
          print(f"Nível associado: {nivel}")
          print(f"Vazão de entrada associada: {vazao ent rese}")
          print(f"Expressão de volume associada: {expressao_volume}")
          # Menu para seleção do período de análise
          def escolher_periodo():
            meses = ["Janeiro", "Fevereiro", "Março", "Abril", "Maio", "Junho", "Julho", "Agosto", "Setembro",
"Outubro", "Novembro", "Dezembro"]
            print("Selecione o mês:")
            for i, mes in enumerate(meses, 1):
               print(f"{i}. {mes}")
            opcao_mes = int(input("Digite o número correspondente ao mês desejado (Digite um número entre
1 e 12): "))
            while opcao_mes < 1 or opcao_mes > 12:
               opcao_mes = int(input("Opção inválida! Digite um número entre 1 e 12: "))
            mes = meses[opcao\_mes - 1]
            ano = input("Digite o ano com quatro dígitos (ex: 2023): ")
            while not ano.isdigit() or len(ano) != 4:
               ano = input("Entrada inválida! Digite um ano válido com quatro dígitos (ex: 2023): ")
            return mes, int(ano)
          # Executa a função para escolher o período e armazena os valores
          mes, ano = escolher_periodo()
          print(f"Mês selecionado: {mes}")
          print(f"Ano selecionado: {ano}")
          #formatando o pandas para os valores no dataframe nao aparecerem em notação científica
          pd.options.display.float format = '{:.2f}'.format
          #importando o arquivo de dados
          # Lista para armazenar os DataFrames
          bases\_df = []
          # Criar uma lista com os nomes dos meses em português
          meses_portugues = ['Janeiro', 'Fevereiro', 'Março', 'Abril', 'Maio', 'Junho',
                     'Julho', 'Agosto', 'Setembro', 'Outubro', 'Novembro', 'Dezembro']
          # Obter o número do mês a partir do nome em português (por exemplo, "Agosto")
```

```
mes_numero = meses_portugues.index(mes) + 1 # Converte o nome do mês para o número
correspondente
          # Obter o último dia do mês escolhido
          ultimo_dia = calendar.monthrange(ano, mes_numero)[1]
          # Definir o caminho base automaticamente como o local onde o script está salvo
          caminho base = os.getcwd()
          # Montar o caminho completo para o ano e mês escolhidos, apontando para a pasta 'entradas'
          caminho_completo = os.path.join(caminho_base, str(ano), str(mes_numero), "entradas")
          # Verificar se o caminho existe
          if not os.path.exists(caminho_completo):
            raise FileNotFoundError(f"Caminho {caminho_completo} não encontrado")
          # Lista para armazenar os DataFrames de resumo
          df_resumos = []
          # Itera sobre todos os dias do mês
          for dia in range(1, ultimo_dia + 1):
             arquivo = os.path.join(caminho_completo, f'{dia:02d}.xlsx') # Monta o caminho completo do
arquivo
            try:
               base df = pd.read excel(arquivo) # Lê o arquivo Excel
               bases df.append(base df) # Adiciona o DataFrame à lista
               # Corrigindo a data
               base_df['data_convertida'] = pd.to_datetime(base_df['Time'], origin='1899-12-30', unit='D')
               # Substituindo valores vazios pelo valor anterior
               base df[nivel] = base df[nivel].fillna(method="ffill")
               base_df[vazao_ent_rese] = base_df[vazao_ent_rese].fillna(method="ffill")
               # Convertendo o nível da telemetria no nível real do reservatório
               if reservatorio == "Benedito Bentes":
                 base_df['altura_h'] = base_df[nivel] - 0.25
                 base_df['altura_h'] = base_df[nivel] + 0.25
               # Gerando a coluna de volumes
               base_df['volume_torre'] = expressao_volume(base_df['altura_h'])
               # Criando a variável de variação de volume
               base df['vari vol'] = base df['volume torre'].diff(periods=-1)
               base df['vari vol'] = base df['vari vol'].fillna(0) # Substitui valores vazios da coluna vari vol
               base df['vari vol'] = base df['vari vol'] * -1 # Corrige o sinal da variação de volume
               # Calculando a variação de volume na torre por hora
               intervalos = [(0, 12), (13, 24), (25, 37), (38, 49), (50, 62), (63, 74), (75, 87), (88, 99),
                       (100, 112), (113, 124), (125, 137), (138, 149), (150, 162), (163, 174), (175, 187),
                       (188, 199), (200, 212), (213, 224), (225, 237), (238, 249), (250, 262), (263, 274),
                       (275, 287), (288, 299)
               soma_vari_vol = [base_df['vari_vol'].iloc[inicio:fim + 1].sum() for inicio, fim in intervalos]
               med_vaz = [base_df[vazao_ent_rese].iloc[inicio:fim + 1].mean() for inicio, fim in intervalos]
               # Criando DataFrames a partir de listas
               df_vazoes = pd.DataFrame(med_vaz, columns=['med_vaz_ent'])
               df_soma_vari_vol = pd.DataFrame(soma_vari_vol, columns=['vari_vol_rese'])
```

```
df_resumo = pd.concat([df_vazoes, df_soma_vari_vol], axis='columns')
              # Calculando o consumo horário
              df_resumo['consumo_horario'] = df_resumo['med_vaz_ent'] - df_resumo['vari_vol_rese']
              # Calculando o consumo base
              df_resumo['consumo_base'] = df_resumo['med_vaz_ent'].mean()
              # Calculando o fator de consumo
              df_resumo['fator_consumo'] = df_resumo['consumo_horario'] / df_resumo['consumo_base']
              # Calculando o volume produzido
              df_resumo['vol_produz'] = df_resumo['med_vaz_ent'].sum()
              # Calculando o volume consumido
              df_resumo['vol_consum'] = df_resumo['consumo_horario'].sum()
              # Limpando as colunas de volume produzido e volume consumido
              df_resumo['vol_produz'] = df_resumo['vol_produz'].where(df_resumo.index == 0, pd.NA)
              df_resumo['vol_consum'] = df_resumo['vol_consum'].where(df_resumo.index == 0, pd.NA)
              # Criando uma coluna com o índice que corresponderá ao horário
              df resumo['Horario'] = df resumo.index
              # Organizando para a coluna Horario ser a primeira
              colunas = ['Horario'] + [col for col in df resumo.columns if col != 'Horario']
              df resumo = df resumo[colunas]
              # Formatando o nome das colunas
              df_resumo = df_resumo.rename(columns={
                'Horario': 'HORARIO',
                'med_vaz_ent': 'MEDIA VAZAO ENTRADA [M3/H]',
                'vari_vol_rese': 'VARIACAO VOLUME RESERVATORIO [M3]',
                'consumo horario': 'CONSUMO HORARIO [M3]',
                'consumo_base': 'CONSUMO BASE [M3]',
                'fator_consumo': 'FATOR DE CONSUMO',
                'vol produz': 'VOLUME PRODUZIDO [M3]',
                'vol_consum': 'VOLUME CONSUMIDO [M3]'
              })
              # Adiciona o DataFrame de resumo à lista
              df_resumos.append(df_resumo)
           except FileNotFoundError:
              print(f"Arquivo {arquivo} não encontrado, pulando.")
         # Concatenando todos os DataFrames de resumo em um único DataFrame
         df_resumo_final = pd.concat(df_resumos, keys=[f'Dia {dia:02d}' for dia in range(1, ultimo_dia + 1)],
names=['Dia'])
         # Exibe o DataFrame final
         display(df_resumo_final)
         #formatando o pandas para os valores no dataframe nao aparecerem em notação cientifica
         pd.options.display.float_format = '{:.2f}'.format
         #criando os dataframes dos dias
         # Criar uma lista para armazenar os DataFrames por dia
```

Juntando DataFrames

```
dfs_por_dia = []
# Iterar pelos dias do mês até o último dia válido
for dia in range(1, ultimo_dia + 1):
  try:
    # Formatar o nome da linha com dois dígitos (ex: 'Dia 01', 'Dia 02', etc.)
    nome linha = f'Dia {dia:02d}'
    # Carregar os dados do resumo para o dia correspondente
    df_dia = df_resumo_final.loc[nome_linha]
    dfs_por_dia.append(df_dia)
  except KeyError:
    print(f'{nome_linha} não encontrado no DataFrame, ignorando...')
    continue
# Criar uma lista para armazenar os DataFrames dos fatores de consumo
dfs fator de consumo = []
# Iterar pelos dias do mês até o último dia válido
for dia in range(1, ultimo_dia + 1):
    # Formatar o nome da linha com dois dígitos (ex: 'Dia 01', 'Dia 02', etc.)
    nome_linha = f'Dia {dia:02d}'
    # Recuperar o FATOR DE CONSUMO do dia correspondente
    df_dia = df_resumo_final.loc[nome_linha][['FATOR DE CONSUMO']]
    # Renomear a coluna 'FATOR DE CONSUMO' para o nome do dia com dois dígitos
    df dia.columns = [f'{dia:02d}']
    # Adicionar o DataFrame modificado à lista
    dfs_fator_de_consumo.append(df_dia)
  except KeyError:
    print(f'{nome_linha} não encontrado no DataFrame, ignorando...')
    continue
# Concatenar todos os DataFrames de FATOR DE CONSUMO e o HORARIO de df 01
df 00 = pd.DataFrame(\{'HORARIO': range(24)\})
resumo_fator_de_consumo_df = pd.concat([df_00[['HORARIO']]] + dfs_fator_de_consumo, axis=1)
#exibindo resumo de fator de consumo
display(resumo_fator_de_consumo_df)
# Criar uma lista para armazenar os DataFrames de CONSUMO BASE
dfs_consumo_base = []
dias validos = []
# Iterar pelos dias do mês até o último dia válido
for dia in range(1, ultimo dia + 1):
  trv:
    # Formatar o nome da linha com dois dígitos (ex: 'Dia 01', 'Dia 02', etc.)
    nome_linha = f'Dia {dia:02d}'
    # Adicionar o CONSUMO BASE do dia correspondente
    df_dia = df_resumo_final.loc[nome_linha][['CONSUMO BASE [M3]']]
    dfs_consumo_base.append(df_dia)
    # Adicionar o dia como string para nomear as colunas posteriormente
    dias_validos.append(f'{dia:02d}')
  except KeyError:
    print(f'{nome_linha} não encontrado no DataFrame, ignorando...')
    continue
```

```
resumo_consumo_base_df = pd.concat(dfs_consumo_base, axis=1)
          # Definir os nomes das colunas como os dias válidos
          resumo_consumo_base_df.columns = dias_validos
          #removendo as linhas desnecessárias
          resumo consumo base df = resumo consumo base df.iloc[:1]
          #exibindo resumo de consumo base
          display(resumo_consumo_base_df)
          #exibindo resumo_fator_de_consumo_df
          print('resumo_fator_de_consumo_df')
          display(resumo_fator_de_consumo_df)
          #gerando os graficos
          # Certifica-se de que o número do mês e o ano são strings
          mes_numero_str = str(mes_numero)
          ano_str = str(ano) # Converte o ano para string
          # Montar o caminho completo para a pasta de saídas (ano/mês/saidas)
          caminho_saidas = os.path.join(caminho_base, ano_str, mes_numero_str, "saidas")
          # Verifica se o diretório de saídas existe, se não existir, cria o diretório
          if not os.path.exists(caminho saidas):
            os.makedirs(caminho saidas) # Cria a pasta e subpastas se não existirem
          #grafico fator de consumo 01
          eixo x dia fator consumo
['00','01','02','03','04','05','06','07','08','09','10','11','12','13','14','15','16','17','18','19','20','21','22','23']
          for dia in range(1, ultimo_dia + 1):
            coluna_dia = f'{dia:02d}' # Formata o dia para ter dois dígitos
            eixo_y_dia_fator_consumo = resumo_fator_de_consumo_df[coluna_dia].round(2).tolist()
             plt.figure() # Cria uma nova figura para cada gráfico
            plt.plot(eixo x dia fator consumo, eixo y dia fator consumo)
            plt.xlabel('Hora')
            plt.ylabel('Fator de consumo')
            plt.grid(True)
            plt.title(f'Fator de Consumo - {reservatorio} - {mes} de {ano} - Dia {dia}')
            # Exporta o gráfico
                                                                       plt.savefig(os.path.join(caminho_saidas,
f'Fator_de_Consumo_{reservatorio}_{mes}_{ano}_Dia_{dia},png'), format='png') # Salva o gráfico como PNG
            plt.show()
          #juntando os graficos de fator de consumo em um só
          # Configurações do gráfico
          eixo x dia fator consumo = ['00', '01', '02', '03', '04', '05', '06', '07', '08', '09', '10', '11', '12', '13', '14',
'15', '16', '17', '18', '19', '20', '21', '22', '23']
          plt.figure(figsize=(14, 8)) # Ajuste o tamanho do gráfico conforme necessário
          # Itera sobre todos os dias do mês
          for dia in range(1, ultimo_dia + 1):
            coluna_dia = f'{dia:02d}' # Formata o dia para ter dois dígitos
            eixo_y_dia_fator_consumo = resumo_fator_de_consumo_df[coluna_dia].round(2).tolist()
            plt.plot(eixo_x_dia_fator_consumo, eixo_y_dia_fator_consumo, label=f'Dia {dia}')
          plt.xlabel('Hora')
```

Concatenar todos os DataFrames de CONSUMO BASE

```
plt.ylabel('Fator de Consumo')
          plt.grid(True)
          plt.title(f'Fator de Consumo - {reservatorio} - {mes} de {ano}')
          plt.legend(title='Dia do Mês', bbox_to_anchor=(1.05, 1), loc='upper left') # Ajuste a legenda para fora
do gráfico
          plt.tight_layout() # Ajusta o layout para não cortar a legenda
          # Exporta o gráfico
          plt.savefig(os.path.join(caminho saidas,
f'Fator_de_Consumo_Dias_Reunidos_{reservatorio}_{ano}, format='png') # Salva o gráfico como
PNG
          plt.show()
          # Gráfico de Consumo Base
          eixo_x_dia_consumo_base = [f'\{dia:02d\}' for dia in range(1, ultimo_dia + 1)]
          eixo_y_consumo_base = resumo_consumo_base_df.iloc[0].apply(lambda x: int(x) if isinstance(x,
float) else x).tolist()
          # Ajuste o tamanho da figura
          plt.figure(figsize=(14, 8)) # Largura e altura da figura
          # Criação do gráfico
          barras_consumo_base = plt.bar(eixo_x_dia_consumo_base, eixo_y_consumo_base)
          # Adiciona os rótulos nas barras
          plt.bar label(barras consumo base, labels=eixo y consumo base)
          # Configuração dos eixos e título
          plt.xlabel('Dia')
          plt.ylabel('Média de Consumo Horário [m³/h]')
          plt.grid(True)
          plt.title(f'Consumo Base - {reservatorio} - {mes} de {ano}')
          # Ajuste do layout para evitar cortes
          plt.tight_layout()
          # Exporta o gráfico
          plt.savefig(os.path.join(caminho saidas,
                                                         f'Consumo_Base_{reservatorio}_{mes}_{ano}.png'),
format='png') # Salva o gráfico como PNG
          # Exibe o gráfico
          plt.show()
          # Organizando os dados por dia da semana - fator de consumo
          #utilizando o nome do arquivo para extrair o mes e o ano
          nome_arquivo = (f"resumo_fator_consumo_{reservatorio}_{mes}_{ano}.xlsx")
          # Criar dicionário com os meses em Português
          meses ptbr = {
            'Janeiro': 1, 'Fevereiro': 2, 'Março': 3, 'Abril': 4, 'Maio': 5, 'Junho': 6,
            'Julho': 7, 'Agosto': 8, 'Setembro': 9, 'Outubro': 10, 'Novembro': 11, 'Dezembro': 12
          # Extrair o mês e o ano do nome do arquivo, garantindo que seja um nome válido
            # Dividir nome do arquivo pelo sublinhado e pegar as últimas partes
            partes_nome_arquivo = nome_arquivo.split('_')
            # O mês e o ano estão nas duas últimas partes
            mes_nome = partes_nome_arquivo[-2] # Ex: "Agosto"
```

```
ano = int(partes_nome_arquivo[-1].split('.')[0]) # Ex: "2023"
         except ValueError:
            print("Erro ao extrair o mês e o ano do nome do arquivo.")
            raise # Levantar o erro novamente para depuração
         # Verificar se o nome do mês está no dicionário
         if mes nome not in meses_ptbr:
            raise ValueError(f"Nome do mês '{mes_nome}' inválido ou não está no formato esperado.")
         # Converter o nome do mês para número
         mes_num = meses_ptbr[mes_nome] # Ex: "Agosto" -> 8
         # Criar uma lista de datas para o mês e ano fornecidos
         # Verificando se o dataframe tem as colunas corretas (números)
         if not all(col.isdigit() for col in resumo fator de consumo df.columns[1:]):
            raise ValueError("Algumas colunas do DataFrame não são números válidos de dias.")
         # Criar as datas correspondentes aos dias do DataFrame
         datas = pd.date_range(start=f'{ano}-{mes_num}-01', periods=resumo_fator_de_consumo_df.shape[1]
- 1, freq='D')
         # Obter o nome dos dias da semana
         dias_da_semana = [data.strftime('% A') for data in datas]
         # Inserir a linha dos dias da semana no DataFrame
         resumo fator de consumo df.loc['Dia da Semana'] = ['HORARIO'] + dias da semana # Inserindo no
DataFrame
         # Reorganizar o DataFrame para que a linha dos dias da semana fique na primeira linha
         resumo_fator_de_consumo_df = resumo_fator_de_consumo_df.reindex(['Dia da Semana'] +
list(resumo_fator_de_consumo_df.index[:-1])) # Reposiciona a nova linha no topo
         # Exibir o DataFrame atualizado
         display(resumo_fator_de_consumo_df)
         #separando os dataframes em dias comuns e dias de final de semana
         # Extraímos a linha que contém os dias da semana e o resto do DataFrame com os dados
         dias_da_semana = resumo_fator_de_consumo_df.iloc[0, 1:] # A primeira linha contém os dias da
semana, excluindo a coluna de horário
         df_consumo = resumo_fator_de_consumo_df.iloc[1:, :] # As linhas seguintes contêm os dados de
consumo
         # Filtrar os dias úteis (Monday a Friday) e fim de semana (Saturday e Sunday)
         dias_comuns = dias_da_semana[dias_da_semana.isin(['Monday', 'Tuesday', 'Wednesday', 'Thursday',
'Friday'])]
         dias fim de semana = dias da semana[dias da semana.isin(['Saturday', 'Sunday'])]
         # Criar DataFrames para dias comuns e fim de semana com base nas colunas correspondentes
         df_dias_comuns = df_consumo[['HORARIO'] + list(dias_comuns.index)]
         df_fim_de_semana = df_consumo[['HORARIO'] + list(dias_fim_de_semana.index)]
         # Exibir os dois DataFrames
         print("DataFrame com Dias Comuns:")
         display(df_dias_comuns)
         print("\nDataFrame com Dias de Fim de Semana:")
         display(df_fim_de_semana)
```

```
# Organizando os dados por dia da semana - consumo base
          # Inserir a linha dos dias da semana no DataFrame
          resumo_consumo_base_df.loc['Dia da Semana'] = dias_da_semana # Inserindo no DataFrame
          # Reorganizar o DataFrame para que a linha dos dias da semana fique na primeira linha
          resumo_consumo_base_df = resumo_consumo_base_df.reindex(['Dia
                                                                                            Semana']
list(resumo consumo base df.index[:-1])) # Reposiciona a nova linha no topo
          # Exibir o DataFrame atualizado
          display(resumo_consumo_base_df)
          #separando os dataframes em dias comuns e dias de final de semana
          # Extraímos a linha que contém os dias da semana e o resto do DataFrame com os dados
          df_consumo = resumo_consumo_base_df.iloc[1:,:] # As linhas seguintes contêm os dados de consumo
          # Filtrar os dias úteis (Monday a Friday) e fim de semana (Saturday e Sunday)
          dias_comuns = dias_da_semana[dias_da_semana.isin(['Monday', 'Tuesday', 'Wednesday', 'Thursday',
'Friday'])]
          dias_fim_de_semana = dias_da_semana[dias_da_semana.isin(['Saturday', 'Sunday'])]
          # Criar DataFrames para dias comuns e fim de semana com base nas colunas correspondentes
          df_dias_comuns_cb = df_consumo[list(dias_comuns.index)]
          df_fim_de_semana_cb = df_consumo[list(dias_fim_de_semana.index)]
          # Exibir os dois DataFrames
          print("DataFrame com Dias Comuns:")
          display(df_dias_comuns_cb)
          print("\nDataFrame com Dias de Fim de Semana:")
          display(df_fim_de_semana_cb)
          #exportando as planilhas
          # Certifica-se de que o número do mês e o ano são strings
          mes numero str = str(mes numero)
          ano str = str(ano) # Converte o ano para string
          # Montar o caminho completo para a pasta de saídas (ano/mês/saidas)
          caminho_saidas = os.path.join(caminho_base, ano_str, mes_numero_str, "saidas")
          # Verifica se o diretório de saídas existe, se não existir, cria o diretório
          if not os.path.exists(caminho_saidas):
            os.makedirs(caminho_saidas) # Cria a pasta e subpastas se não existirem
          # Exporta as planilhas para o diretório de saídas
          df resumo final.to excel(os.path.join(caminho saidas,
f"resumo dados {reservatorio} {mes} {ano}.xlsx"), index=False)
          resumo_fator_de_consumo_df.to_excel(os.path.join(caminho_saidas,
f"resumo_fator_consumo_geral_{reservatorio}_{mes}_{ano}.xlsx"), index=False)
          df_dias_comuns.to_excel(os.path.join(caminho_saidas,
f"resumo_fator_consumo_dias_comuns_{reservatorio}_{mes}_{ano}.xlsx"), index=False)
          df_fim_de_semana.to_excel(os.path.join(caminho_saidas,
f"resumo_fator_consumo_fim_de_semana_{reservatorio}_{mes}_{ano}.xlsx"), index=False)
          resumo_consumo_base_df.to_excel(os.path.join(caminho_saidas,
f"resumo_consumo_base_geral_{reservatorio}_{mes}_{ano}.xlsx"), index=False)
          df dias comuns cb.to excel(os.path.join(caminho saidas,
f"resumo_consumo_base_dias_comuns_{reservatorio}_{mes}_{ano}.xlsx"), index=False)
          df_fim_de_semana_cb.to_excel(os.path.join(caminho_saidas,
f"resumo_consumo_base_fim_de_semana_{reservatorio}_{mes}_{ano}.xlsx"), index=False)
```

APÊNDICE C

Algoritmo computacional em Python Pratagy-Módulo2

```
import pandas as pd
          import numpy as np
          from scipy import stats
          import matplotlib.pyplot as plt
          #formatando o pandas para os valores no dataframe nao aparecerem em notação científica
          pd.options.display.float format = '{:.2f}'.format
          # Menu de seleção de reservatório
          print("Escolha o reservatório:")
          reservatorios = ["Benedito Bentes", "r1", "r2", "r2a", "r4"]
          for i, reserv in enumerate(reservatorios, 1):
            print(f"{i}. {reserv}")
          reservatorio_escolhido = int(input("Digite o número correspondente ao reservatório desejado:
(1)Benedito Bentes; (2)r1; (3)r2; (4)r2a; (5)r4 "))
          reservatorio = reservatorios[reservatorio_escolhido - 1]
          # Menu de seleção de meses (período personalizado)
          print("\nEscolha os meses do período que deseja analisar (separe por vírgula):")
          meses = ["Janeiro", "Fevereiro", "Março", "Abril", "Maio", "Junho", "Julho", "Agosto", "Setembro",
"Outubro", "Novembro", "Dezembro"]
          # Exibe a lista de meses com os números correspondentes
          for i, mes in enumerate(meses, 1):
            print(f"\{i\}.\ \{mes\}")
          # Solicita ao usuário que selecione os meses
          meses escolhidos = input("Digite os números correspondentes aos meses desejados, separados por
vírgula (ex: 1, 3, 5): ")
          # Converte a string de entrada em uma lista de números inteiros
          meses_selecionados = [meses[int(mes.strip()) - 1] for mes in meses_escolhidos.split(",")]
          # Define o período como os meses selecionados
          periodo = ', '.join(meses_selecionados)
          # Menu de seleção do ano (entrada manual)
          print("\nDigite o ano desejado:")
          ano = input("Ano (ex: 2023): ")
          # Menu de seleção do tipo de análise
          print("\nEscolha o tipo de análise:")
          tipos = ["Dias Comuns", "Finais de Semana"]
          for i, tipo_analise in enumerate(tipos, 1):
            print(f"{i}. {tipo_analise}")
          tipo_escolhido = int(input("Digite o número correspondente ao tipo de análise desejado: (1) Dias
Comuns; (2) Finais de Semana "))
          tipo = tipos[tipo escolhido - 1]
          # Exibe as escolhas feitas
          print("\nResumo da seleção:")
          print(f"Reservatório: {reservatorio}")
          print(f"Período: {', '.join(meses_selecionados)}")
          print(f"Ano: {ano}")
          print(f"Tipo de Análise: {tipo}")
```

```
#importando os arquivos em excel
         #benedito bentes | dias comuns
         #base df1
                                            pd.read_excel('resumo_fator_consumo_dias_comuns_Benedito
Bentes_Agosto_2023.xlsx')
         #base_df2
                                            pd.read_excel('resumo_fator_consumo_dias_comuns_Benedito
Bentes Setembro 2023.xlsx')
         #base df3
                                            pd.read excel('resumo fator consumo dias comuns Benedito
Bentes_Outubro_2023.xlsx')
         #base df4
                                            pd.read_excel('resumo_fator_consumo_dias_comuns_Benedito
Bentes_Novembro_2023.xlsx')
         #base_df5
                                             pd.read_excel('resumo_consumo_base_dias_comuns_Benedito
Bentes_Agosto_2023.xlsx')
         #base_df6
                                             pd.read_excel('resumo_consumo_base_dias_comuns_Benedito
Bentes_Setembro_2023.xlsx')
         #base df7
                                             pd.read excel('resumo consumo base dias comuns Benedito
Bentes_Outubro_2023.xlsx')
         #base df8
                                             pd.read_excel('resumo_consumo_base_dias_comuns_Benedito
Bentes_Novembro_2023.xlsx')
         #benedito bentes | fim de semana
         #base_df1
                                          pd.read_excel('resumo_fator_consumo_fim_de_semana_Benedito
Bentes_Agosto_2023.xlsx')
         #base_df2
                                          pd.read_excel('resumo_fator_consumo_fim_de_semana_Benedito
Bentes_Setembro_2023.xlsx')
         #base df3
                                          pd.read excel('resumo fator consumo fim de semana Benedito
Bentes_Outubro_2023.xlsx')
         #base df4
                                          pd.read excel('resumo fator consumo fim de semana Benedito
Bentes_Novembro_2023.xlsx')
         #base df5
                                          pd.read_excel('resumo_consumo_base_fim_de_semana_Benedito
Bentes_Agosto_2023.xlsx')
                                          pd.read_excel('resumo_consumo_base_fim_de_semana_Benedito
         #base_df6
Bentes_Setembro_2023.xlsx')
         #base df7
                                          pd.read_excel('resumo_consumo_base_fim_de_semana_Benedito
Bentes_Outubro_2023.xlsx')
         #base_df8
                                          pd.read_excel('resumo_consumo_base_fim_de_semana_Benedito
Bentes Novembro 2023.xlsx')
         #r1 | dias comuns
         #base_df1 = pd.read_excel('resumo_fator_consumo_dias_comuns_r1_Agosto_2023.xlsx')
         #base_df2 = pd.read_excel('resumo_fator_consumo_dias_comuns_r1_Setembro_2023.xlsx')
         #base_df3 = pd.read_excel('resumo_fator_consumo_dias_comuns_r1_Outubro_2023.xlsx')
         #base_df4 = pd.read_excel('resumo_fator_consumo_dias_comuns_r1_Novembro_2023.xlsx')
         #base_df5 = pd.read_excel('resumo_consumo_base_dias_comuns_r1_Agosto_2023.xlsx')
         #base_df6 = pd.read_excel('resumo_consumo_base_dias_comuns_r1_Setembro_2023.xlsx')
         #base df7 = pd.read excel('resumo consumo base dias comuns r1 Outubro 2023.xlsx')
         #base_df8 = pd.read_excel('resumo_consumo_base_dias_comuns_r1_Novembro_2023.xlsx')
         #r1 | fim de semana
         #base df1 = pd.read excel('resumo fator consumo fim de semana r1 Agosto 2023.xlsx')
         #base df2 = pd.read excel('resumo fator consumo fim de semana r1 Setembro 2023.xlsx')
         \#base\_df3 = pd.read\_excel('resumo\_fator\_consumo\_fim\_de\_semana\_r1\_Outubro\_2023.xlsx')
         #base_df4 = pd.read_excel('resumo_fator_consumo_fim_de_semana_r1_Novembro_2023.xlsx')
         #base_df5 = pd.read_excel('resumo_consumo_base_fim_de_semana_r1_Agosto_2023.xlsx')
         #base_df6 = pd.read_excel('resumo_consumo_base_fim_de_semana_r1_Setembro_2023.xlsx')
         #base_df7 = pd.read_excel('resumo_consumo_base_fim_de_semana_r1_Outubro_2023.xlsx')
         #base_df8 = pd.read_excel('resumo_consumo_base_fim_de_semana_r1_Novembro_2023.xlsx')
         #r2 | dias comuns
         #base df1 = pd.read_excel('resumo_fator_consumo_dias_comuns_r2_Agosto_2023.xlsx')
         #base_df2 = pd.read_excel('resumo_fator_consumo_dias_comuns_r2_Setembro_2023.xlsx')
         #base_df3 = pd.read_excel('resumo_fator_consumo_dias_comuns_r2_Outubro_2023.xlsx')
```

```
#base_df4 = pd.read_excel('resumo_fator_consumo_dias_comuns_r2_Novembro_2023.xlsx')
#base_df5 = pd.read_excel('resumo_consumo_base_dias_comuns_r2_Agosto_2023.xlsx')
#base_df6 = pd.read_excel('resumo_consumo_base_dias_comuns_r2_Setembro_2023.xlsx')
#base_df7 = pd.read_excel('resumo_consumo_base_dias_comuns_r2_Outubro_2023.xlsx')
#base_df8 = pd.read_excel('resumo_consumo_base_dias_comuns_r2_Novembro_2023.xlsx')
#r2 | fim de semana
#base df1 = pd.read excel('resumo fator consumo fim de semana r2 Agosto 2023.xlsx')
#base df2 = pd.read excel('resumo fator consumo fim de semana r2 Setembro 2023.xlsx')
#base_df3 = pd.read_excel('resumo_fator_consumo_fim_de_semana_r2_Outubro_2023.xlsx')
#base_df4 = pd.read_excel('resumo_fator_consumo_fim_de_semana_r2_Novembro_2023.xlsx')
#base_df5 = pd.read_excel('resumo_consumo_base_fim_de_semana_r2_Agosto_2023.xlsx')
#base_df6 = pd.read_excel('resumo_consumo_base_fim_de_semana_r2_Setembro_2023.xlsx')
#base_df7 = pd.read_excel('resumo_consumo_base_fim_de_semana_r2_Outubro_2023.xlsx')
#base_df8 = pd.read_excel('resumo_consumo_base_fim_de_semana_r2_Novembro_2023.xlsx')
#r2a | dias comuns
#base_df1 = pd.read_excel('resumo_fator_consumo_dias_comuns_r2a_Agosto_2023.xlsx')
#base_df2 = pd.read_excel('resumo_fator_consumo_dias_comuns_r2a_Setembro_2023.xlsx')
#base_df3 = pd.read_excel('resumo_fator_consumo_dias_comuns_r2a_Outubro_2023.xlsx')
#base_df4 = pd.read_excel('resumo_fator_consumo_dias_comuns_r2a_Novembro_2023.xlsx')
#base_df5 = pd.read_excel('resumo_consumo_base_dias_comuns_r2a_Agosto_2023.xlsx')
#base_df6 = pd.read_excel('resumo_consumo_base_dias_comuns_r2a_Setembro_2023.xlsx')
#base_df7 = pd.read_excel('resumo_consumo_base_dias_comuns_r2a_Outubro_2023.xlsx')
#base_df8 = pd.read_excel('resumo_consumo_base_dias_comuns_r2a_Novembro_2023.xlsx')
#r2a | fim de semana
base df1 = pd.read excel('resumo fator consumo fim de semana r2a Agosto 2023.xlsx')
base df2 = pd.read excel('resumo fator consumo fim de semana r2a Setembro 2023.xlsx')
base_df3 = pd.read_excel('resumo_fator_consumo_fim_de_semana_r2a_Outubro_2023.xlsx')
base\_df4 = pd.read\_excel('resumo\_fator\_consumo\_fim\_de\_semana\_r2a\_Novembro\_2023.xlsx')
base_df5 = pd.read_excel('resumo_consumo_base_fim_de_semana_r2a_Agosto_2023.xlsx')
base_df6 = pd.read_excel('resumo_consumo_base_fim_de_semana_r2a_Setembro_2023.xlsx')
base_df7 = pd.read_excel('resumo_consumo_base_fim_de_semana_r2a_Outubro_2023.xlsx')
base_df8 = pd.read_excel('resumo_consumo_base_fim_de_semana_r2a_Novembro_2023.xlsx')
#r4 | dias comuns
#base df1 = pd.read excel('resumo fator consumo dias comuns r4 Agosto 2023.xlsx')
#base_df2 = pd.read_excel('resumo_fator_consumo_dias_comuns_r4_Setembro_2023.xlsx')
#base_df3 = pd.read_excel('resumo_fator_consumo_dias_comuns_r4_Outubro_2023.xlsx')
#base_df4 = pd.read_excel('resumo_fator_consumo_dias_comuns_r4_Novembro_2023.xlsx')
#base_df5 = pd.read_excel('resumo_consumo_base_dias_comuns_r4_Agosto_2023.xlsx')
#base_df6 = pd.read_excel('resumo_consumo_base_dias_comuns_r4_Setembro_2023.xlsx')
#base_df7 = pd.read_excel('resumo_consumo_base_dias_comuns_r4_Outubro_2023.xlsx')
#base_df8 = pd.read_excel('resumo_consumo_base_dias_comuns_r4_Novembro_2023.xlsx')
#r4 | fim de semana
#base df1 = pd.read excel('resumo fator consumo fim de semana r4 Agosto 2023.xlsx')
#base df2 = pd.read excel('resumo fator consumo fim de semana r4 Setembro 2023.xlsx')
#base df3 = pd.read excel('resumo fator consumo fim de semana r4 Outubro 2023.xlsx')
#base df4 = pd.read excel('resumo fator consumo fim de semana r4 Novembro 2023.xlsx')
#base_df5 = pd.read_excel('resumo_consumo_base_fim_de_semana_r4_Agosto_2023.xlsx')
#base_df6 = pd.read_excel('resumo_consumo_base_fim_de_semana_r4_Setembro_2023.xlsx')
#base_df7 = pd.read_excel('resumo_consumo_base_fim_de_semana_r4_Outubro_2023.xlsx')
#base_df8 = pd.read_excel('resumo_consumo_base_fim_de_semana_r4_Novembro_2023.xlsx')
#fazendo a transposta para que os horarios fiquem nas colunas
base_df_transposta1 = base_df1.T
base_df_transposta2 = base_df2.T
base df transposta3 = base df3.T
base_df_transposta4 = base_df4.T
base_df_transposta5 = base_df5.T
```

 $base_df_transposta6 = base_df6.T$

```
base_df_transposta7 = base_df7.T
          base\_df\_transposta8 = base\_df8.T
          #fazendo um pequeno ajuste removendo a primeira linha indesejada
          base_df_transposta_corrigida1 = base_df_transposta1.drop(index='HORARIO')
          base_df_transposta_corrigida2 = base_df_transposta2.drop(index='HORARIO')
          base df transposta corrigida3 = base df transposta3.drop(index='HORARIO')
          base df transposta corrigida4 = base df transposta4.drop(index='HORARIO')
          #corrigindo o nome das colunas que não estavam sendo reconhecidos em novas operações
          base_df_transposta_corrigida1.columns = ['0', '1', '2', '3', '4', '5', '6', '7', '8', '9', '10', '11', '12', '13', '14',
'15', '16', '17', '18', '19', '20', '21', '22', '23']
          base_df_transposta_corrigida2.columns = ['0', '1', '2', '3', '4', '5', '6', '7', '8', '9', '10', '11', '12', '13', '14',
'15', '16', '17', '18', '19', '20', '21', '22', '23']
          base_df_transposta_corrigida3.columns = ['0', '1', '2', '3', '4', '5', '6', '7', '8', '9', '10', '11', '12', '13', '14',
'15', '16', '17', '18', '19', '20', '21', '22', '23']
          base_df_transposta_corrigida4.columns = ['0', '1', '2', '3', '4', '5', '6', '7', '8', '9', '10', '11', '12', '13', '14',
'15', '16', '17', '18', '19', '20', '21', '22', '23']
          base df transposta5.columns = ['0']
          base_df_transposta6.columns = ['0']
          base\_df\_transposta7.columns = ['0']
          base\_df\_transposta8.columns = ['0']
          # Concatenando os DataFrames
          concat cb
                        =
                              pd.concat([base_df_transposta5,
                                                                   base_df_transposta6,
                                                                                            base_df_transposta7,
base df transposta8], ignore index=True)
                                 pd.concat([base df transposta corrigida1,
                                                                                  base df transposta corrigida2,
base df transposta corrigida3, base df transposta corrigida4], ignore index=True)
          # Criar DataFrame zscore consumo base
          zscore_cb = pd.DataFrame()
          # Calcular o z-score para 24 colunas
          for i in range(1):
             col_name = str(i) # Nome da coluna como string
                   zscore_cb[col_name] = (concat_cb[col_name] - concat_cb[col_name].mean())
concat_cb[col_name].std()
          # Identificar linhas onde algum valor está no intervalo [-3, 3]
          indices\_fora\_do\_intervalo\_cb = zscore\_cb[(zscore\_cb < -3) \mid (zscore\_cb > 3)].stack().index.tolist()
          # Obter apenas os índices das linhas
          linhas_a_remover_cb = set(index[0] for index in indices_fora_do_intervalo_cb)
          # Remover as linhas do DataFrame
          concat cb sem out = concat cb.drop(linhas a remover cb)
          # Criar DataFrame zscore padrao de consumo
          zscore pc = pd.DataFrame()
          # Calcular o z-score para 24 colunas
          for i in range(24):
             col_name = str(i) # Nome da coluna como string
                   zscore_pc[col_name] = (concat_pc[col_name] - concat_pc[col_name].mean())
concat_pc[col_name].std()
          # Identificar linhas onde algum valor está no intervalo [-3, 3]
          indices_fora_do_intervalo_pc = zscore_pc[(zscore_pc < -3) | (zscore_pc > 3)].stack().index.tolist()
          # Obter apenas os índices das linhas
```

linhas_a_remover_pc = set(index[0] for index in indices_fora_do_intervalo_pc)

```
# Remover as linhas do DataFrame
          concat_pc_sem_out = concat_pc.drop(linhas_a_remover_pc)
          #transpondo mais uma vez para gerar os graficos para cada dia
          indices_pad_cons = concat_pc_sem_out.T
          nomes colunas lista = indices pad cons.columns.tolist()
          indices pad cons.columns = nomes colunas lista
          #Exibe os dataframes
          print("dataframes concatenados consumo base")
          display(concat_cb)
          print("dataframes concatenados padrao de consumo")
          display(concat_pc)
          print("zscore consumo base")
          display(zscore_cb)
          print("zscore padrão de consumo")
          display(zscore_pc)
          print("Índices dos valores fora do intervalo consumo base [-3, 3]:")
          print(indices_fora_do_intervalo_cb)
          print("Índices dos valores fora do intervalo padrao de consumo [-3, 3]:")
          print(indices_fora_do_intervalo_pc)
          print("dataframe consumo base com as linhas com outliers removidos")
          display(concat cb sem out)
          print("dataframe padrao de consumo com as linhas com outliers removidos")
          display(concat_pc_sem_out)
          print("Indices padrao de consumo final")
          display(indices_pad_cons)
          #gerando os graficos
          #grafico consumo base
          # Extrair todos os valores do DataFrame
          eixo_y_consumo_base = concat_cb_sem_out.applymap(lambda x: int(x) if isinstance(x, float) else
x).values.flatten().tolist()
          print("consumo base sem out (eixo y do grafico)")
          print(eixo_y_consumo_base)
          # Gerar o eixo X com uma sequência de dias (ajustar de acordo com seus dados)
          eixo_x_dia_consumo_base = [f'Dia {i}' for i in range(1, len(eixo_y_consumo_base) + 1)] # Substitua
pela sequência correta
          # Calcular a média do consumo
          media_consumo = np.mean(eixo_y_consumo_base)
          # Ajuste o tamanho da figura
          plt.figure(figsize=(14, 8)) # Largura e altura da figura
          # Criação do gráfico de área
          plt.fill_between(eixo_x_dia_consumo_base, eixo_y_consumo_base, color='skyblue', alpha=0.4,
label='Consumo Diário')
          # Adicionar a linha de média
          plt.axhline(y=media_consumo, color='red', linestyle='--', label=f'Média: {media_consumo:.2f} m3')
          # Remover os rótulos do eixo X
```

```
plt.xticks([])
          # Ajustar a escala do eixo Y para aumentar a visibilidade da diferença entre os dias
          plt.ylim(min(eixo_y_consumo_base) - 5, max(eixo_y_consumo_base) + 5) # Ajusta com uma margem
para facilitar a visualização
          # Configuração dos eixos e título
          plt.xlabel(f'{periodo}')
          plt.ylabel('Média de Consumo Horário [m³/h]')
          plt.grid(True)
          plt.title(f'Consumo Base - {reservatorio} - {periodo} de {ano} - {tipo}')
          # Colocar o rótulo na linha da média
          plt.text(len(eixo_x_dia_consumo_base)-1, media_consumo, f'{media_consumo:.0f} m<sup>3</sup>/h',
                color='red', va='bottom', ha='right', fontsize=14) # Aumentando o tamanho da fonte
          # Remover a legenda
          plt.legend().remove()
          # Ajuste do layout para evitar cortes
          plt.tight_layout()
          # Exporta o gráfico
          plt.savefig(f'consumo_base-{reservatorio}-{periodo} de {ano}-{tipo}.png', format='png') # Salva o
gráfico como PNG
          # Exibe o gráfico
          plt.show()
          #grafico fator de consumo
          eixo_x_dia_fator_consumo
['00','01','02','03','04','05','06','07','08','09','10','11','12','13','14','15','16','17','18','19','20','21','22','23']
          for coluna_dia in indices_pad_cons.columns:
             eixo_y_dia_fator_consumo = indices_pad_cons[coluna_dia].round(2).tolist()
             plt.figure(figsize=(10, 6)) # Define o tamanho da figura
             plt.plot(eixo_x_dia_fator_consumo, eixo_y_dia_fator_consumo, marker='o')
             plt.xlabel('Hora')
             plt.ylabel('Fator de consumo')
             plt.grid(True)
             plt.title(f'Fator de Consumo - {reservatorio} - {periodo} de {ano} - Dia {coluna_dia} - {tipo}')
             #juntando os graficos de fator de consumo em um só
          # Configurações do gráfico
          eixo x dia fator consumo = ['00', '01', '02', '03', '04', '05', '06', '07', '08', '09', '10', '11', '12', '13', '14',
'15', '16', '17', '18', '19', '20', '21', '22', '23']
          plt.figure(figsize=(14, 8)) # Ajuste o tamanho do gráfico conforme necessário
          # Lista para armazenar os valores de cada hora de todos os dias
          valores_para_media = []
          # Itera sobre os dias presentes no DataFrame
          for coluna_dia in indices_pad_cons.columns:
             eixo_y_dia_fator_consumo = indices_pad_cons[coluna_dia].round(2).tolist()
             # Verifica se a lista tem 24 valores, senão adiciona valores NaN
             if len(eixo_y_dia_fator_consumo) < 24:
               eixo_y_dia_fator_consumo += [np.nan] * (24 - len(eixo_y_dia_fator_consumo))
```

```
# Armazena os valores para calcular a média
            valores_para_media.append(eixo_y_dia_fator_consumo)
            # Plota a curva de cada dia
                plt.plot(eixo_x_dia_fator_consumo, eixo_y_dia_fator_consumo, label=f'Dia {coluna_dia}',
alpha=0.3) #`alpha=0.3` para deixar as curvas individuais mais suaves
          # Calcula a curva média
          valores_para_media = np.array(valores_para_media) # Converte a lista para um array NumPy para
facilitar o cálculo
          curva_media = np.nanmean(valores_para_media, axis=0) # Calcula a média ignorando valores NaN
          # Plota a curva média em destaque
          plt.plot(eixo_x_dia_fator_consumo, curva_media, label='Média', color='black', linewidth=2.5,
marker='o') # Destaque com uma linha mais grossa e marcadores
          # Exibe os valores da curva média no gráfico com ajuste no deslocamento
          for i, valor in enumerate(curva_media):
            if not np.isnan(valor): # Apenas exibe valores válidos
              plt.text(eixo_x_dia_fator_consumo[i], valor + 0.04, f'{valor:.2f}', # Deslocamento vertical de 0.04
                    fontsize=10, color='black', ha='center', va='bottom')
          # Configurações do gráfico
          plt.xlabel('Hora')
          plt.ylabel('Fator de Consumo')
          plt.grid(True)
          plt.title(f'Padrão de Consumo - {reservatorio} - {periodo} de {ano} - {tipo} (Curva Média Incluída)')
          plt.legend(title='Dias', loc='upper center', bbox_to_anchor=(0.5, -0.2), ncol=12) # Ajusta a legenda
logo abaixo do gráfico
          plt.tight_layout(rect=[0, 0, 1, 0.95]) # Ajusta o layout para dar espaço para a legenda
          # Exporta o gráfico como PNG
          plt.savefig(f'Padrão_de_Consumo_dias_reunidos_com_curva_media-{reservatorio}-{periodo}-de-
{ano}-{tipo}.png', format='png', dpi=300)
          plt.show()
```

APÊNDICE D

Instruções aplicadas ao software EPANET

RULE 1

IF SYSTEM CLOCKTIME >= 0 AM

AND SYSTEM CLOCKTIME < 6 AM

THEN VALVE FCV5 SETTING IS 34.20

RULE 2

IF SYSTEM CLOCKTIME >= 6 AM

THEN VALVE FCV5 SETTING IS 56.28

RULE 3

IF SYSTEM CLOCKTIME >= 0 AM

AND SYSTEM CLOCKTIME < 6 AM

THEN VALVE FCV4 SETTING IS 158.82

RULE 4

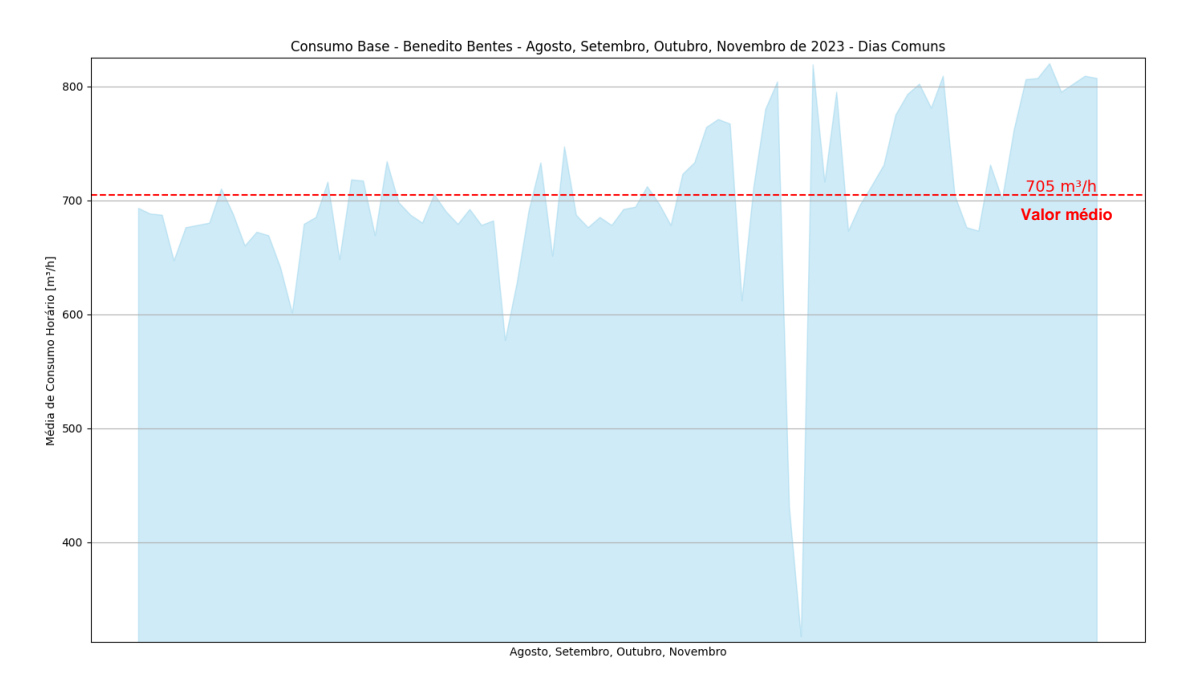
IF SYSTEM CLOCKTIME >= 6 AM

THEN VALVE FCV4 SETTING IS 136.74

APÊNDICE E

Resultados da aplicação Pratagy-Módulo2

Figura 24 – Consumo base - Benedito Bentes - Agosto, Setembro, Outubro, Novembro de 2023 - Dias Comuns



Fonte: Autor (2024)

Figura 25 – Consumo base - Benedito Bentes - Agosto, Setembro, Outubro, Novembro de 2023 - Finais de Semana

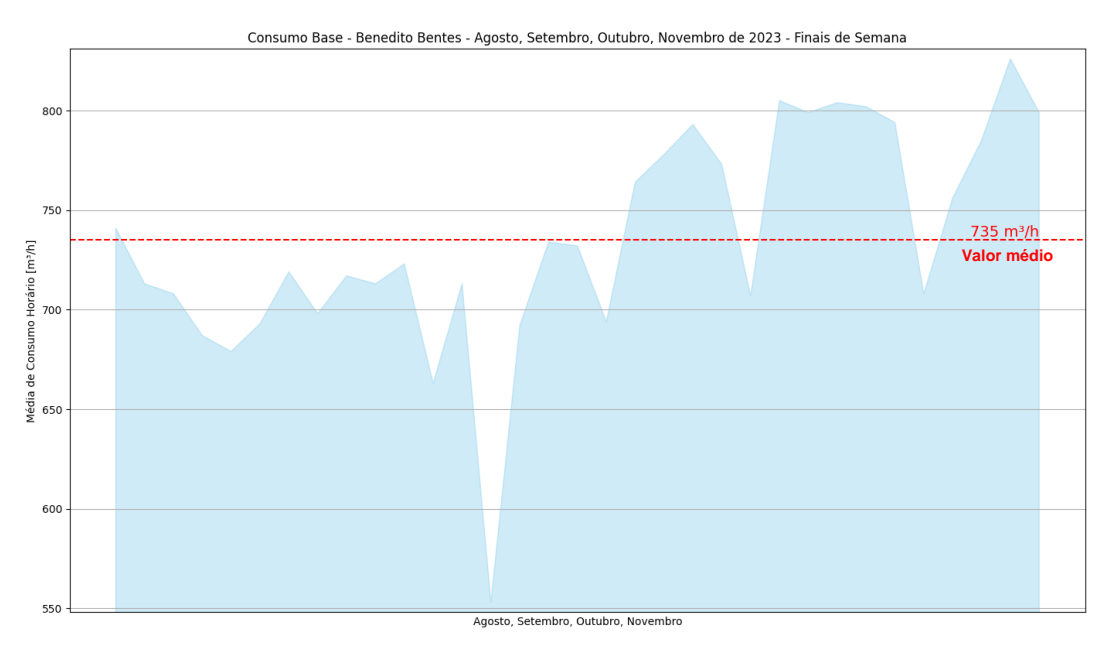


Figura 26 – Consumo base - R1 - Agosto, Setembro, Outubro, Novembro de 2023 - Dias Comuns

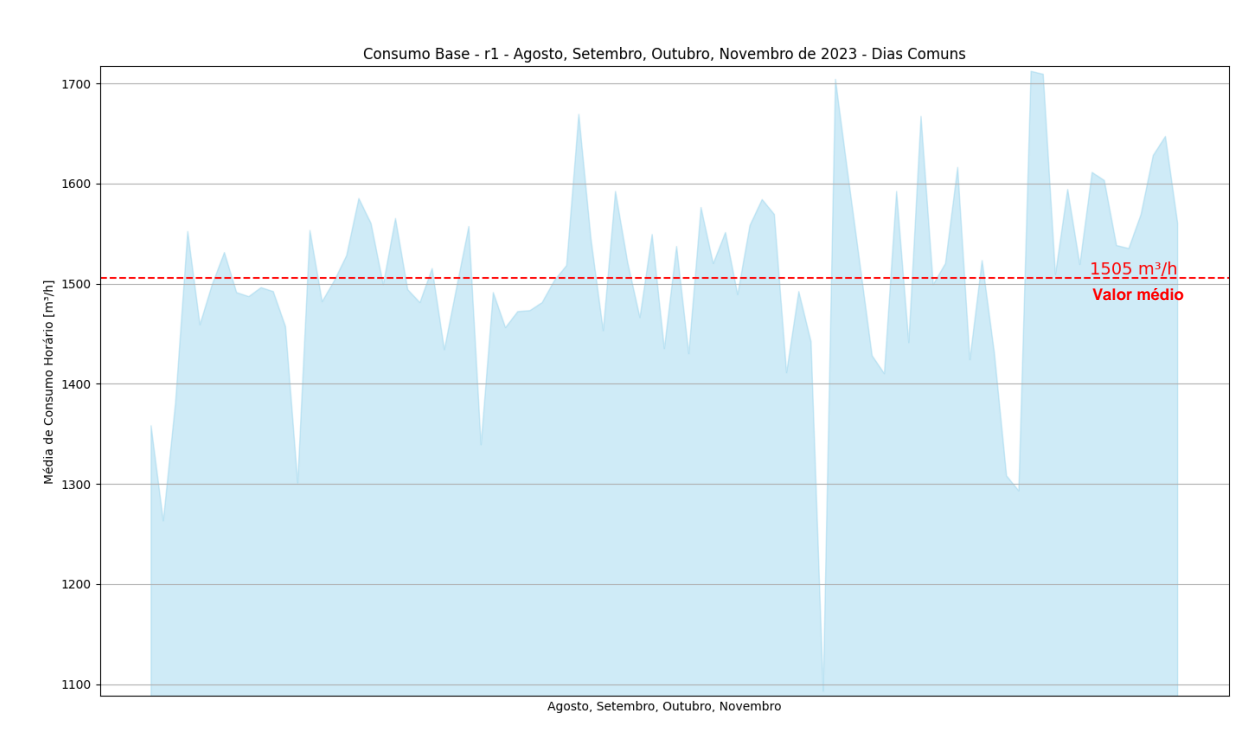


Figura 27 – Consumo base - R1 - Agosto, Setembro, Outubro, Novembro de 2023 - Finais de Semana

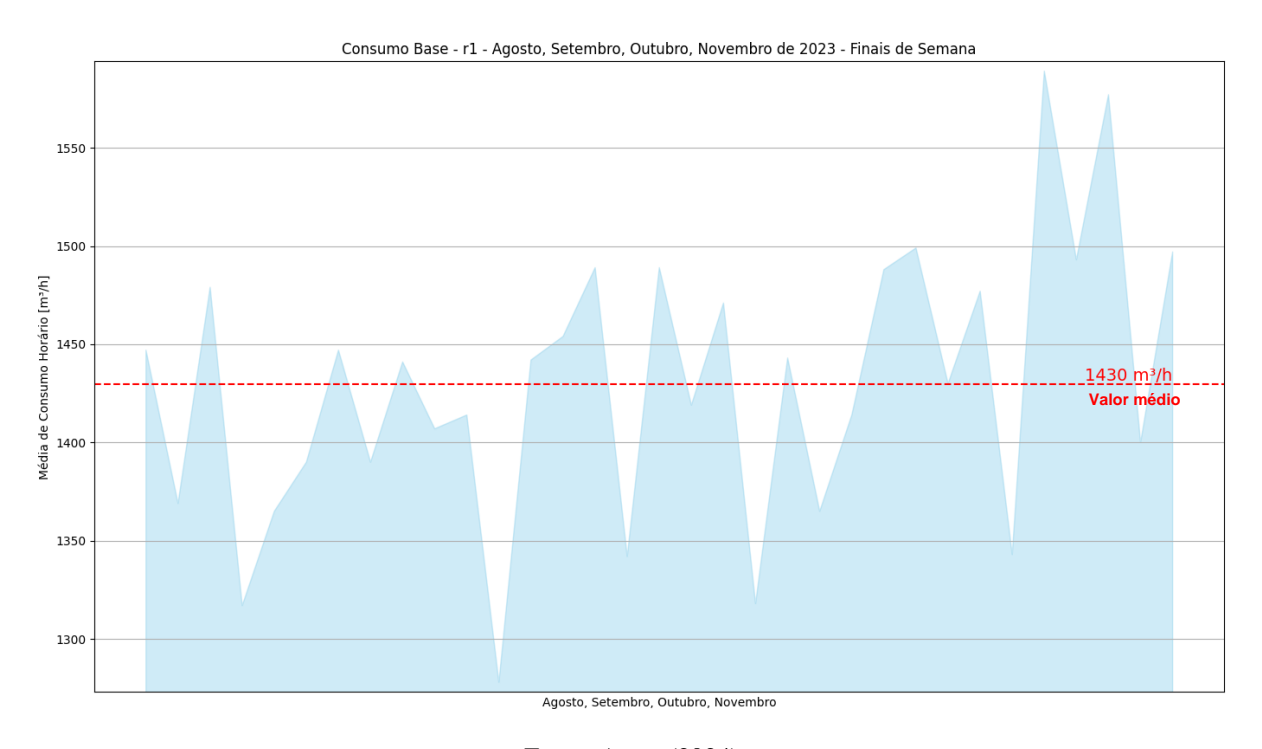


Figura 28 – Consumo base - R2a - Agosto, Setembro, Outubro, Novembro de 2023 - Dias Comuns

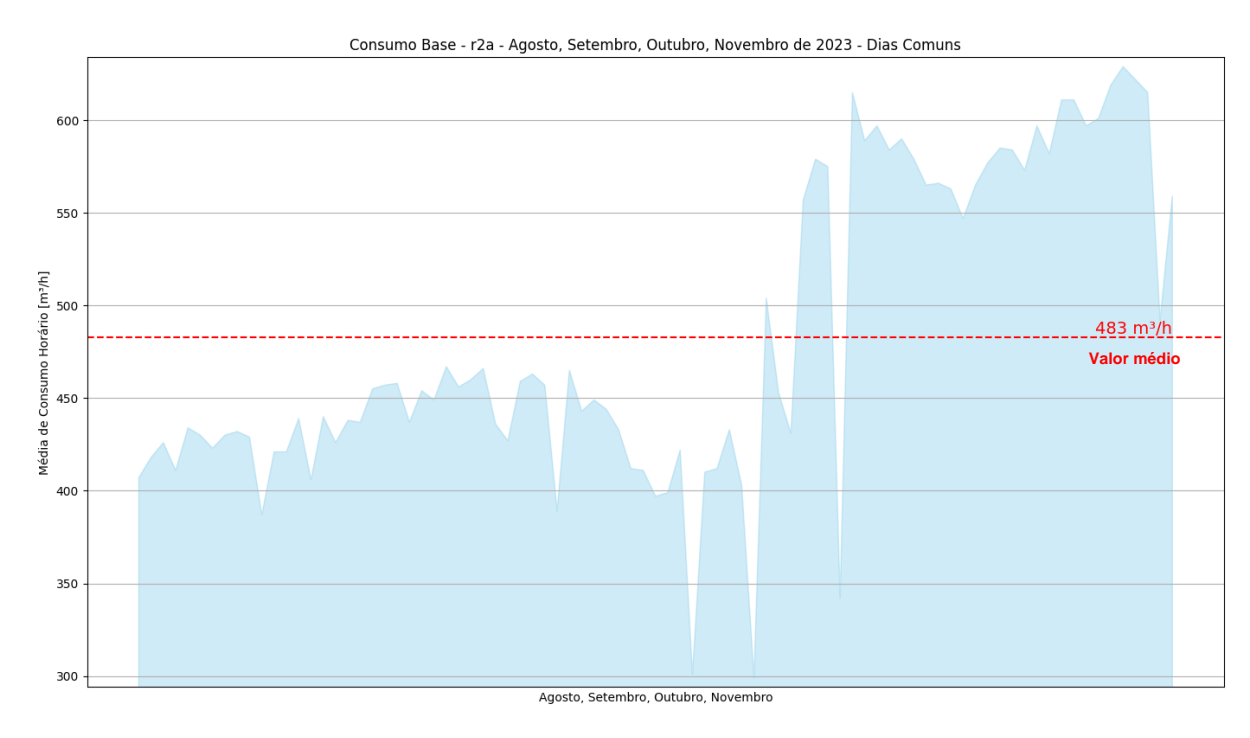


Figura 29 — Consumo base - R2a - Agosto, Setembro, Outubro, Novembro de 2023 - Finais de Semana

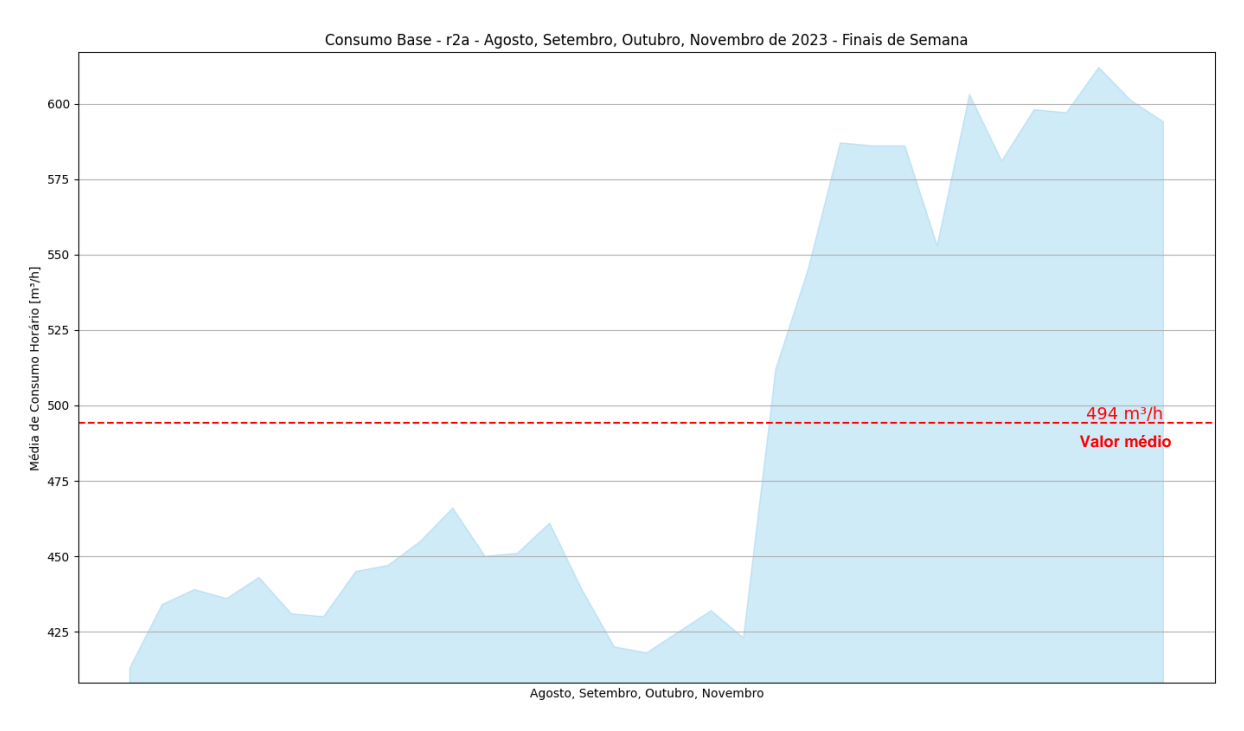


Figura 30 – Consumo base - R2 - Agosto, Setembro, Outubro, Novembro de 2023 - Dias Comuns

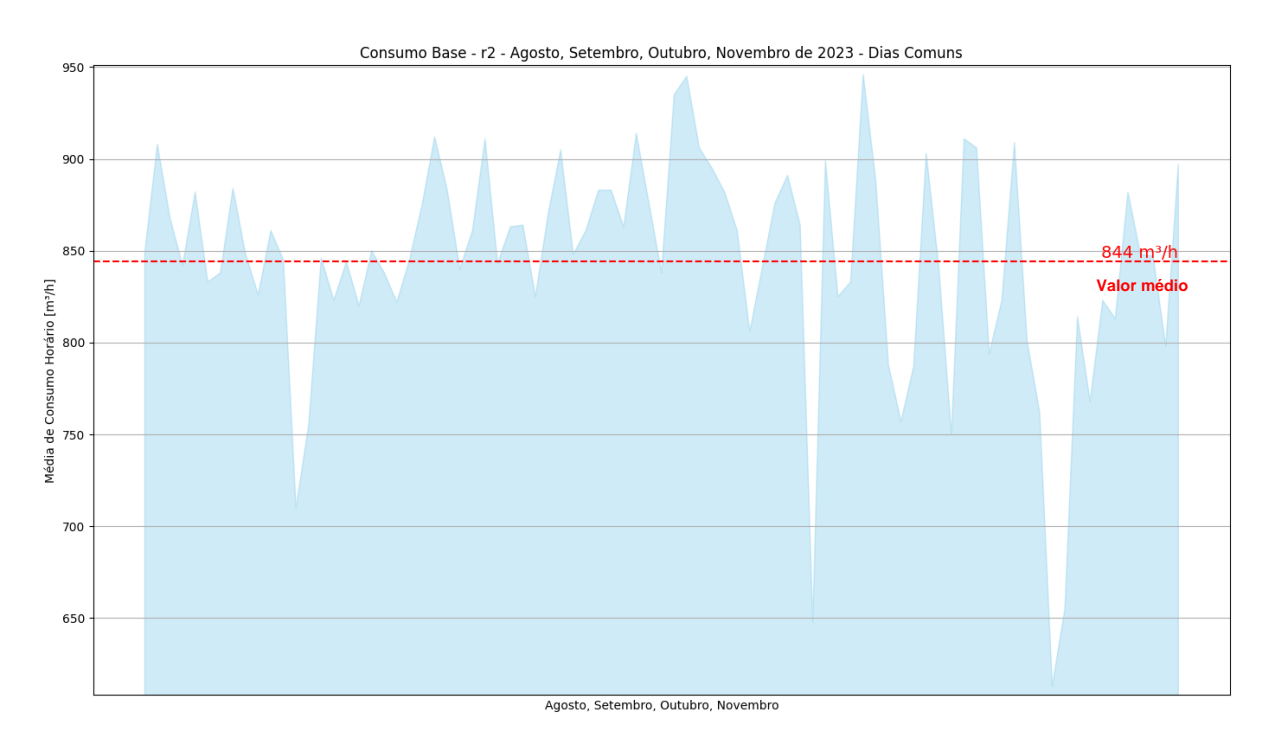


Figura 31 – Consumo base - R2 - Agosto, Setembro, Outubro, Novembro de 2023 - Finais de Semana

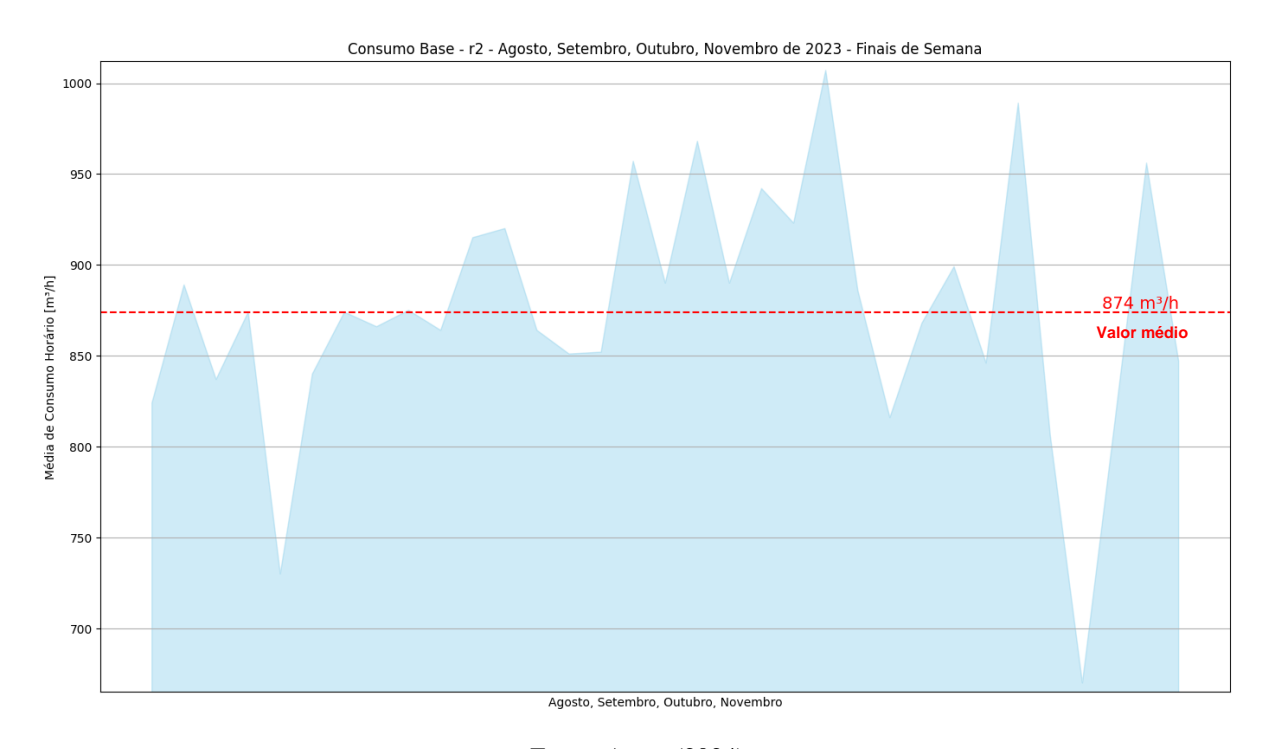


Figura 32 – Consumo base - R4 - Agosto, Setembro, Outubro, Novembro de 2023 - Dias Comuns

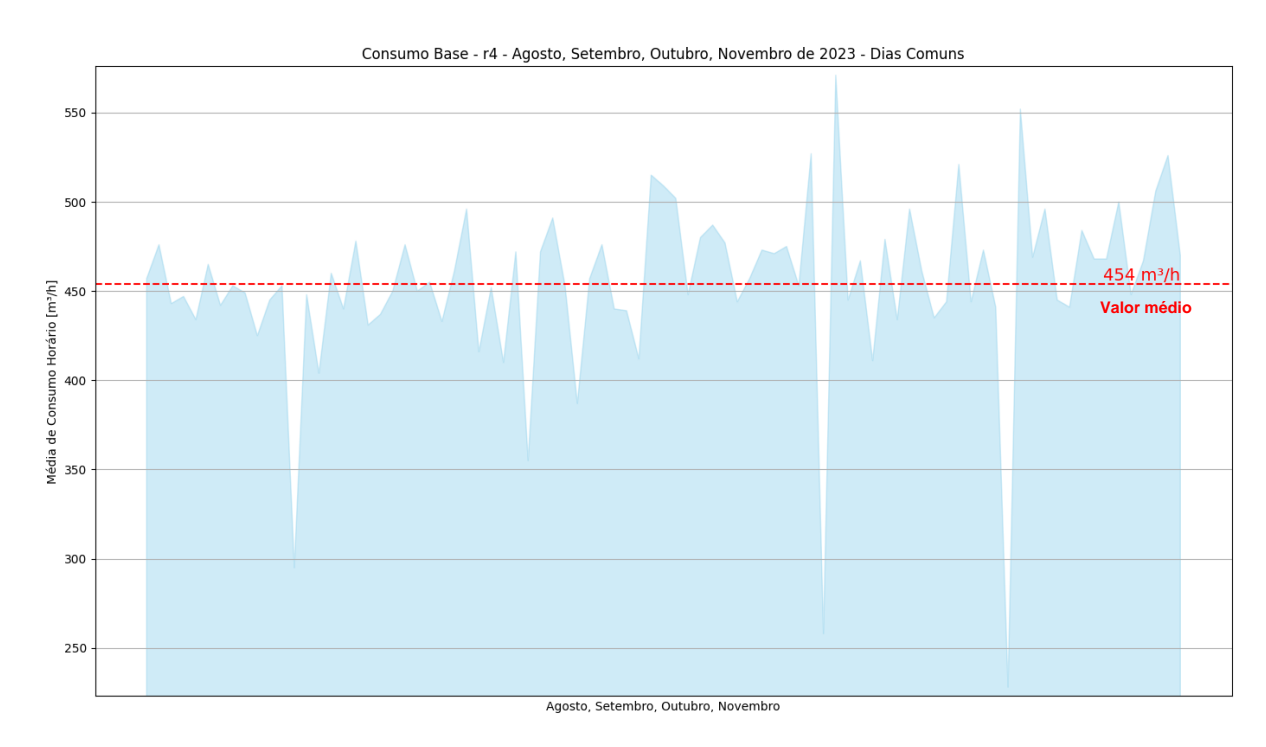


Figura 33 – Consumo base - R4 - Agosto, Setembro, Outubro, Novembro de 2023 - Finais de Semana

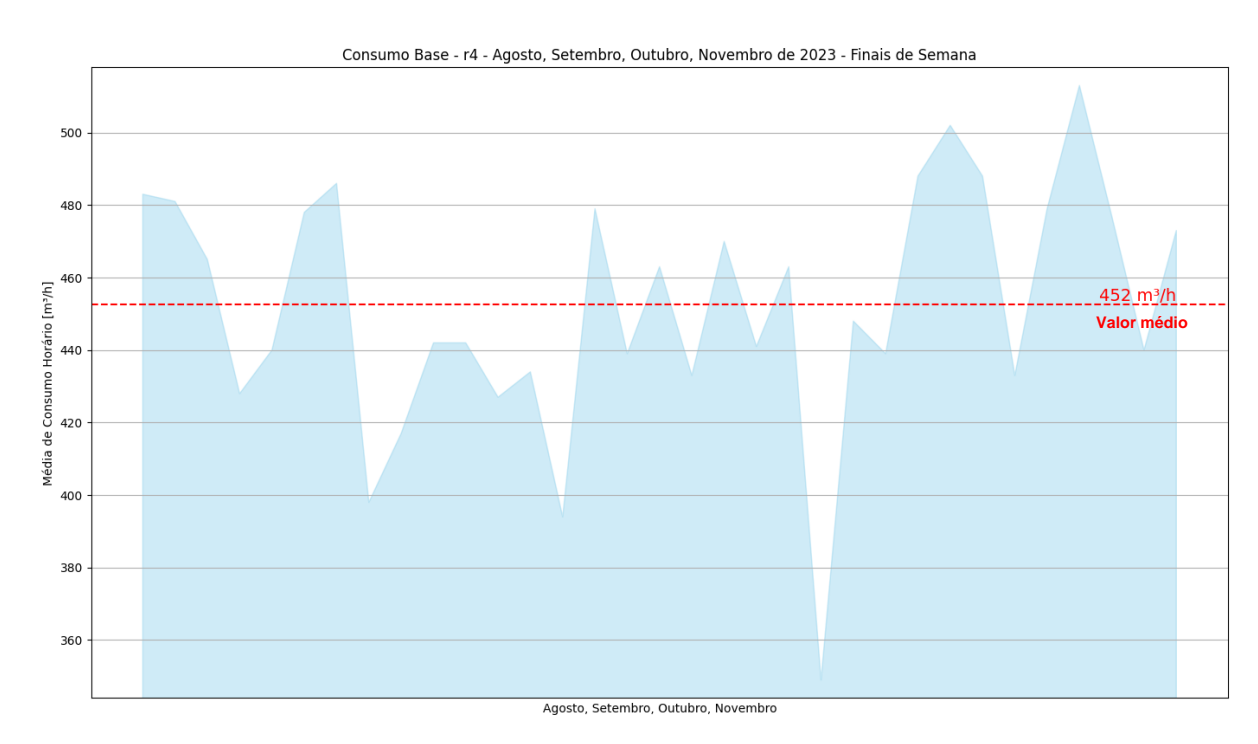


Figura 34 – Padrão de Consumo - dias reunidos com curva média - Benedito Bentes - Agosto, Setembro, Outubro, Novembro de 2023 - Dias Comuns

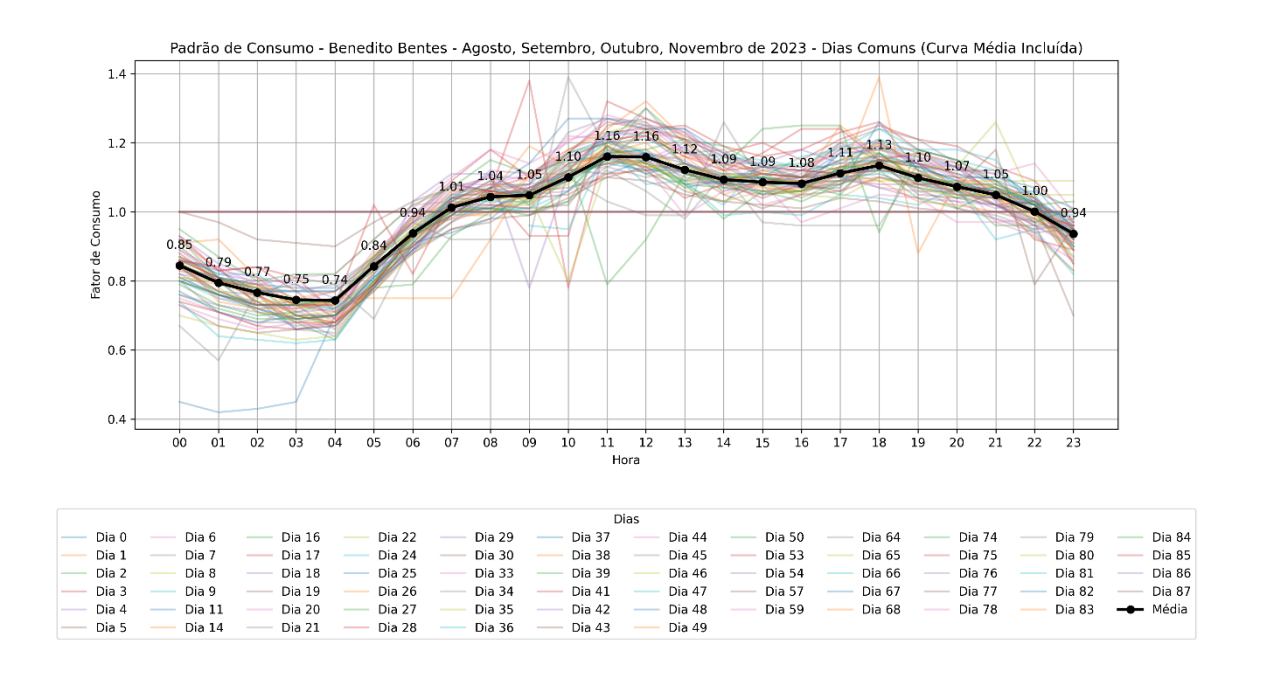


Figura 35 – Padrão de Consumo - dias reunidos com curva média - Benedito Bentes - Agosto, Setembro, Outubro, Novembro de 2023 - Finais de Semana

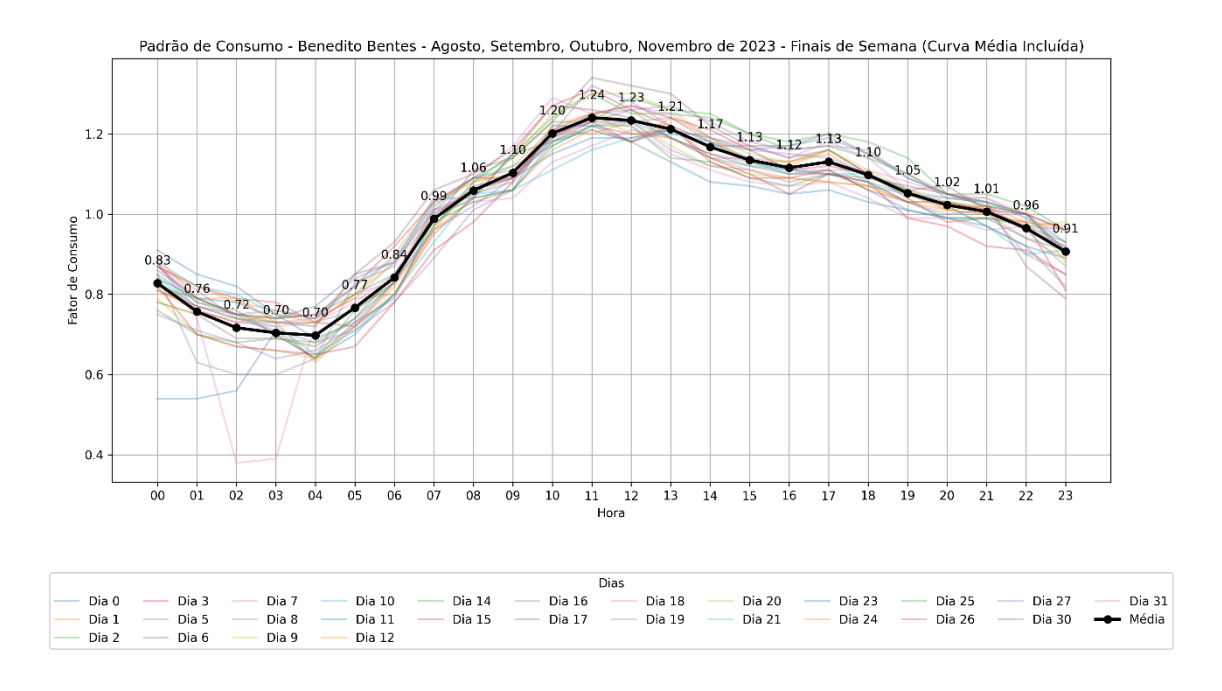


Figura 36 – Padrão de Consumo - dias reunidos com curva média - R1 - Agosto, Setembro, Outubro, Novembro de 2023 - Dias Comuns

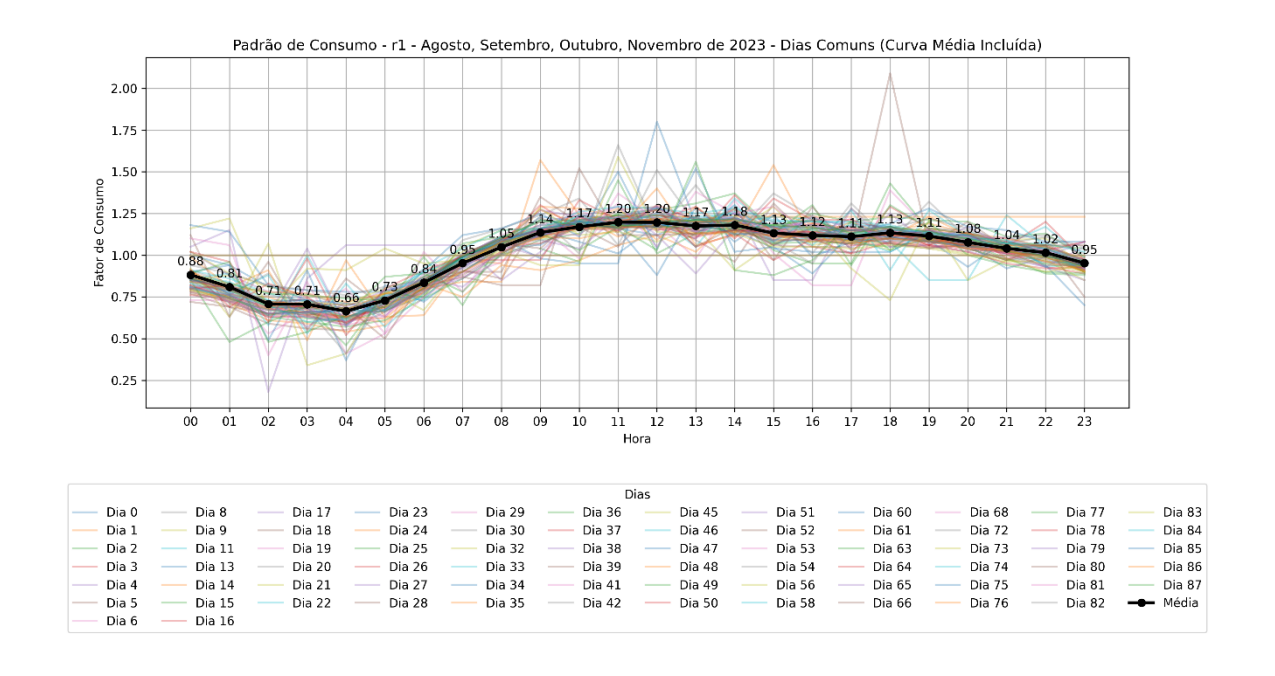


Figura 37 – Padrão de Consumo - dias reunidos com curva média - R1 - Agosto, Setembro, Outubro, Novembro de 2023 - Finais de Semana

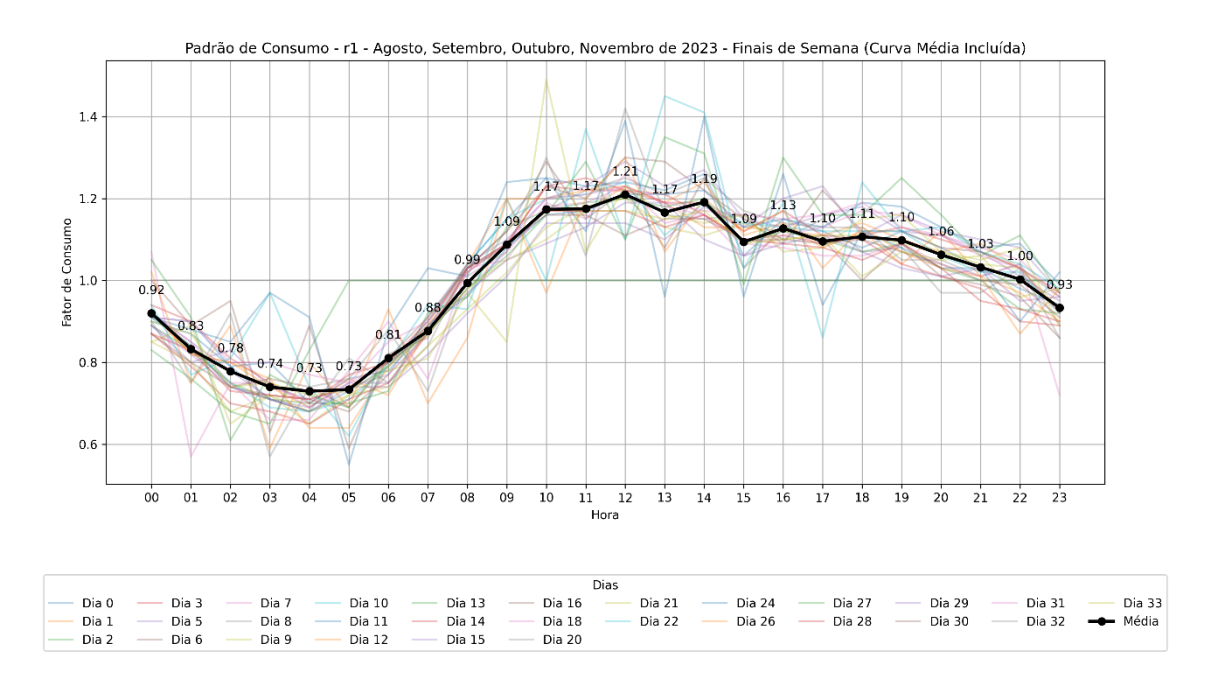


Figura 38 – Padrão de Consumo - dias reunidos com curva média – R2a - Agosto, Setembro, Outubro, Novembro de 2023 - Dias Comuns

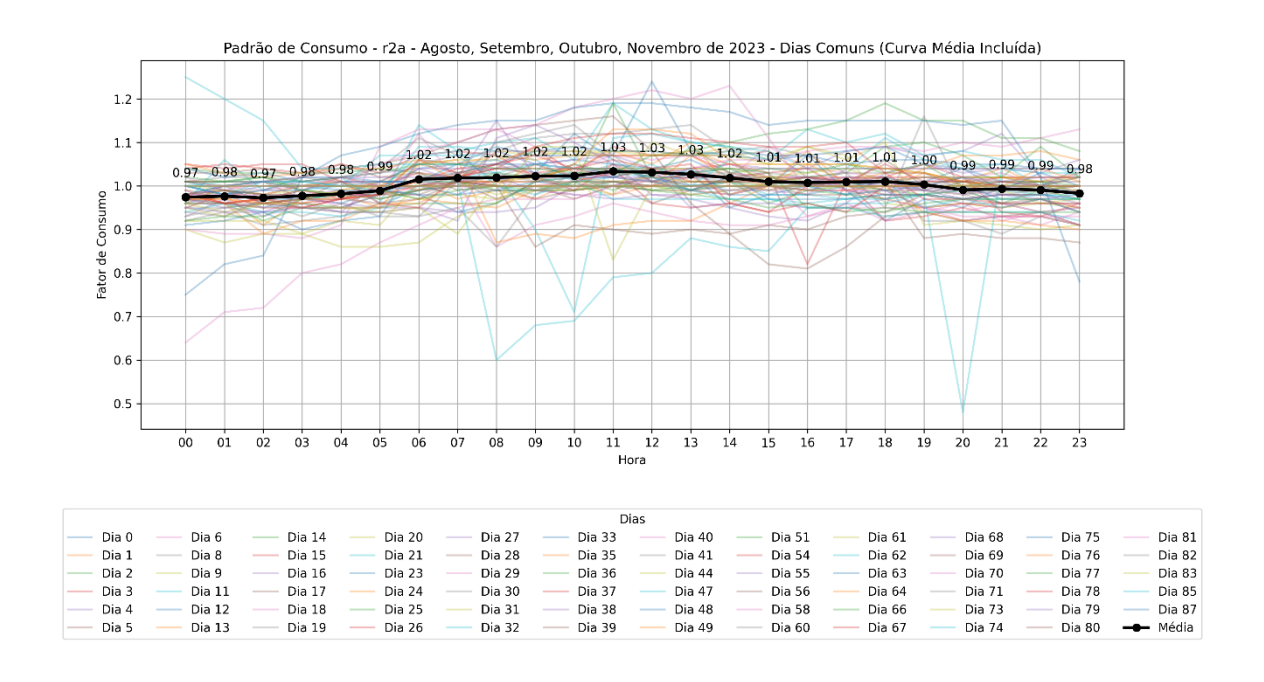


Figura 39 – Padrão de Consumo - dias reunidos com curva média – R2a - Agosto, Setembro, Outubro, Novembro de 2023 - Finais de Semana

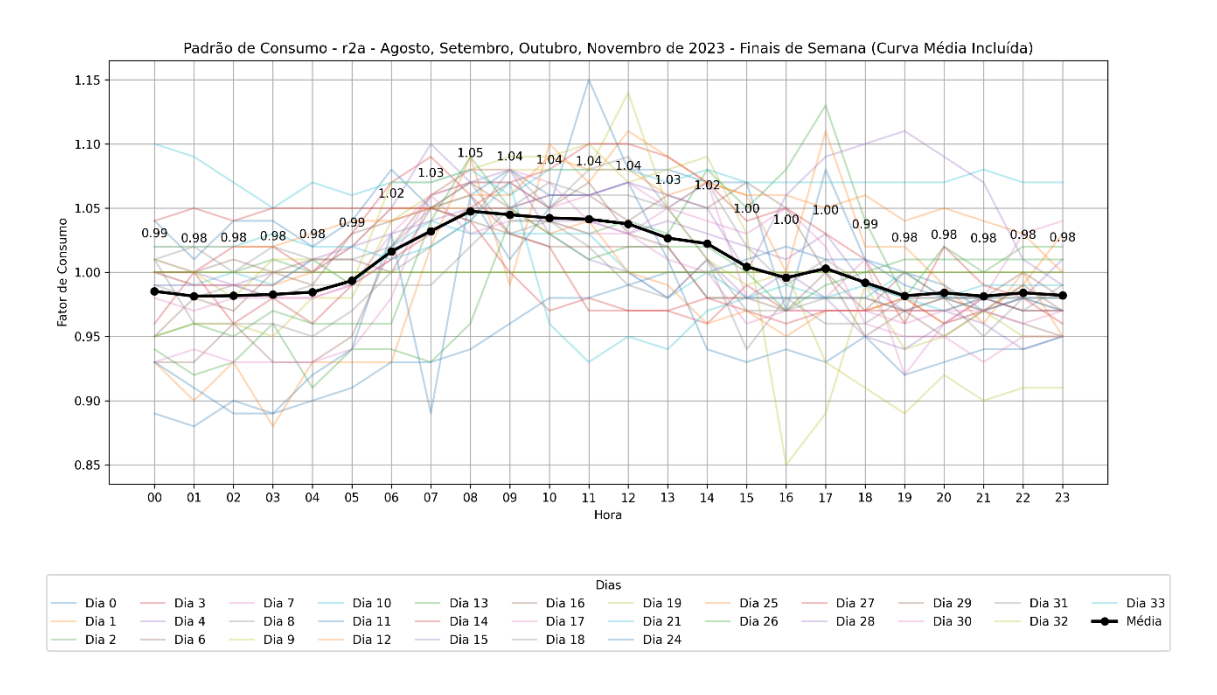


Figura 40 – Padrão de Consumo - dias reunidos com curva média - R2 - Agosto, Setembro, Outubro, Novembro de 2023 - Dias Comuns

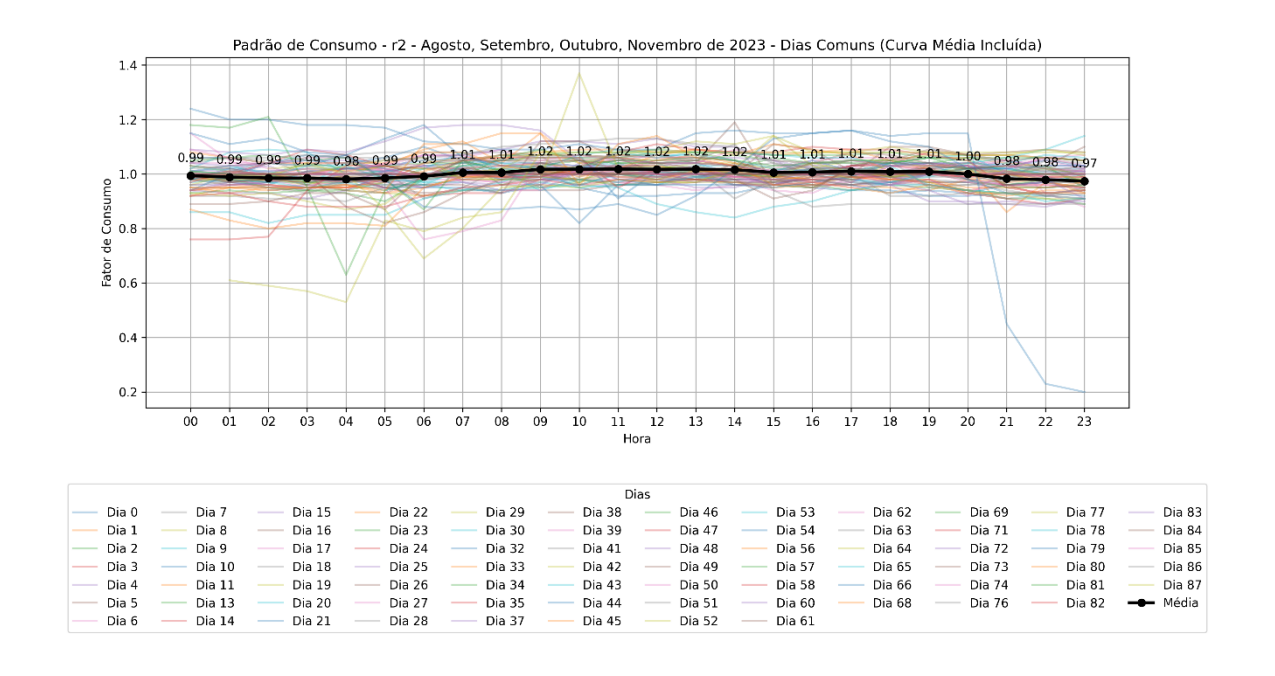


Figura 41 – Padrão de Consumo - dias reunidos com curva média - R2 - Agosto, Setembro, Outubro, Novembro de 2023 - Finais de Semana

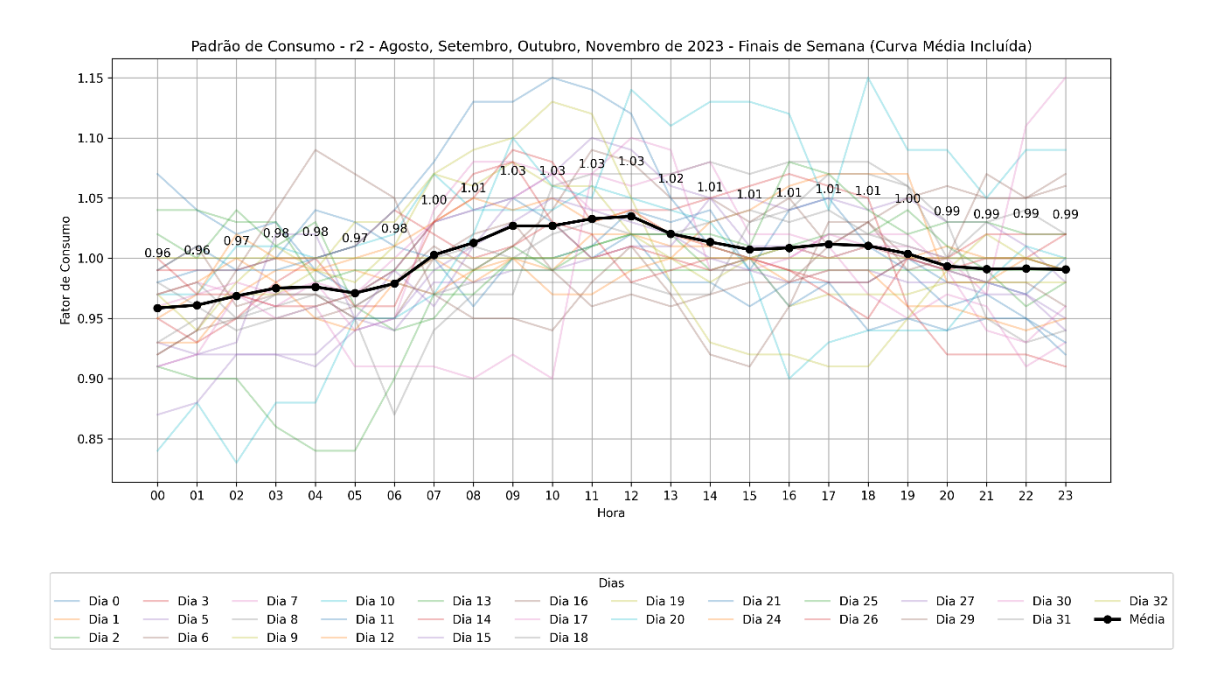


Figura 42 – Padrão de Consumo - dias reunidos com curva média - R4 - Agosto, Setembro, Outubro, Novembro de 2023 - Dias Comuns

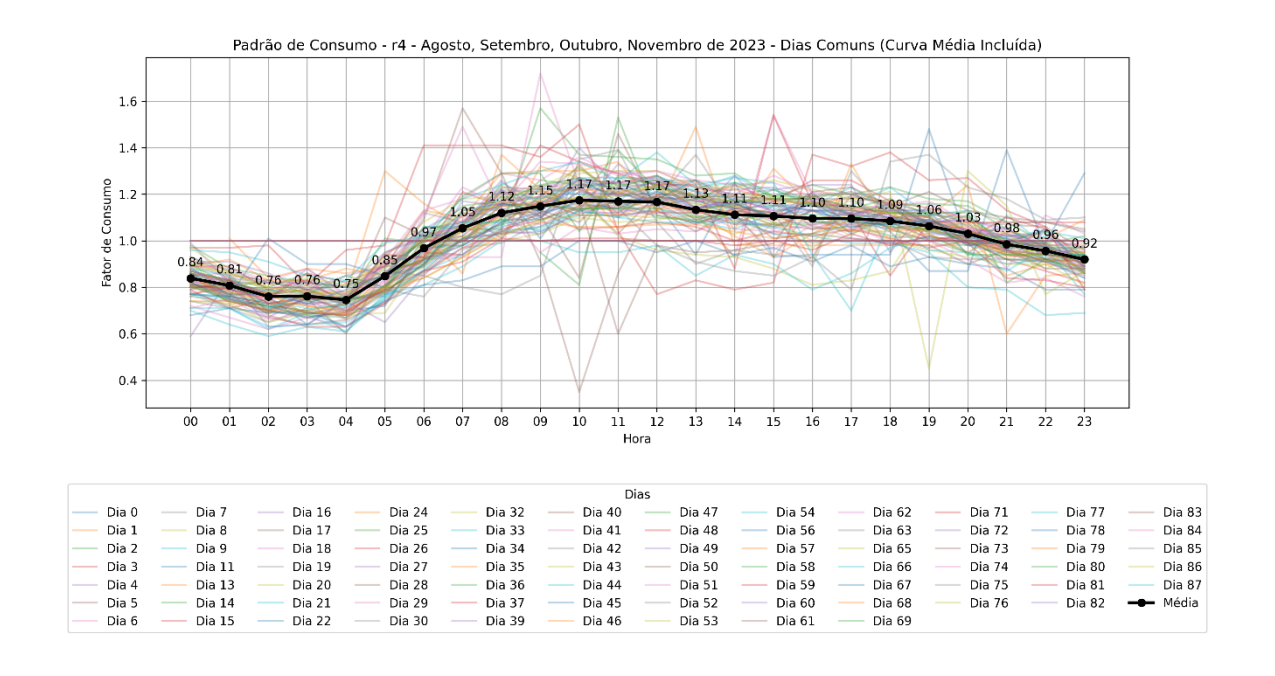
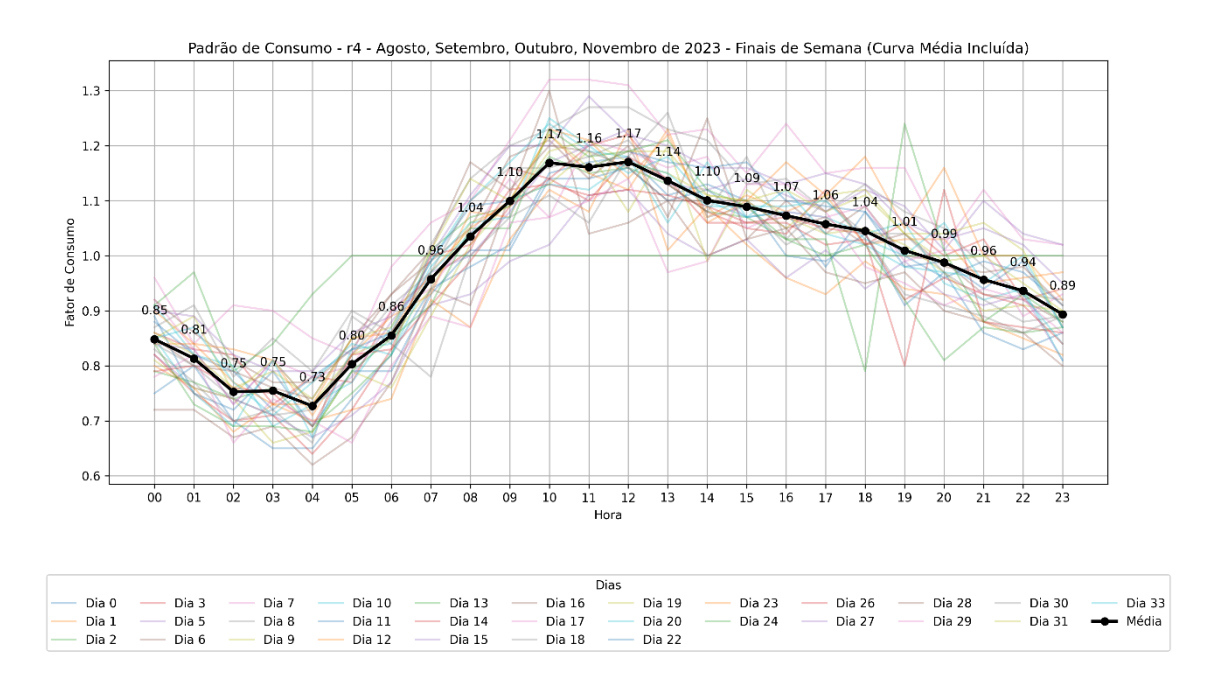
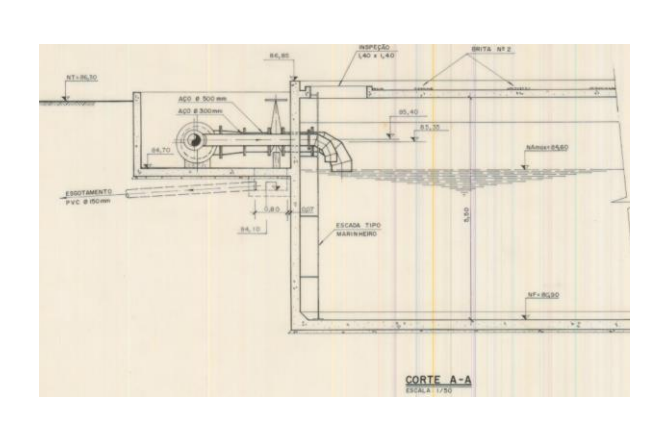


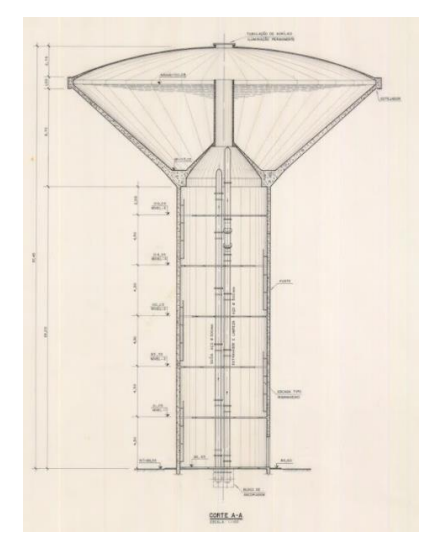
Figura 43 – Padrão de Consumo - dias reunidos com curva média – R4 - Agosto, Setembro, Outubro, Novembro de 2023 - Finais de Semana



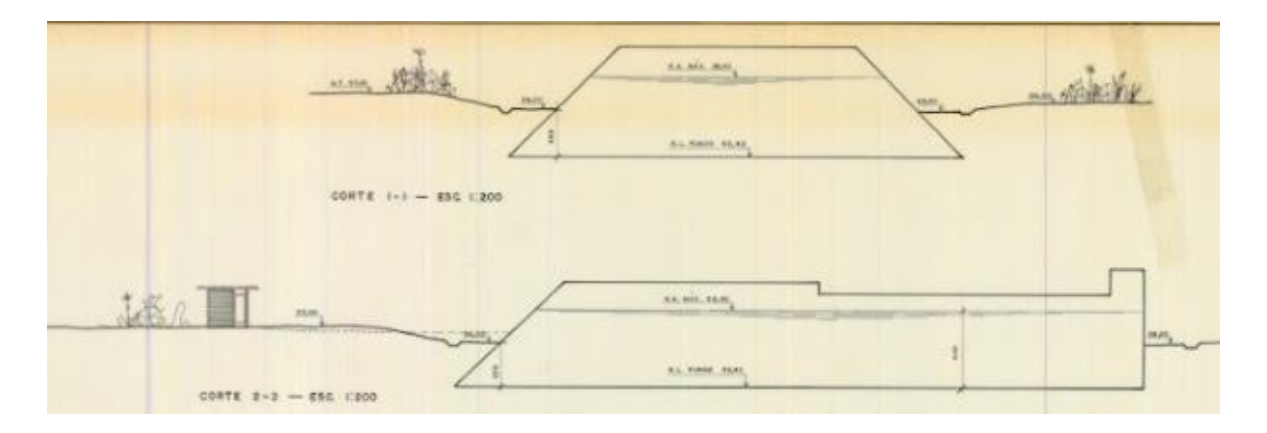
ANEXO A

Figura 44 – Reservatórios em Planta de Corte

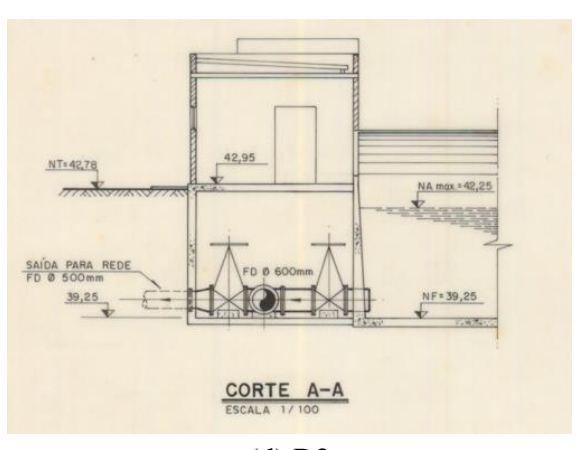


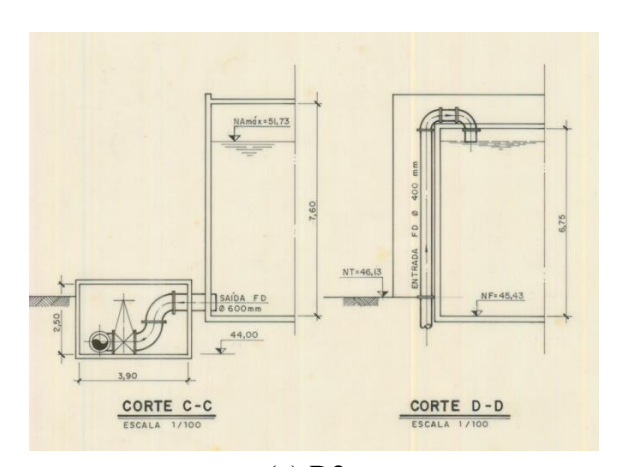


- (a) Benedito Bentes semienterrado
- (b) Benedito Bentes elevado

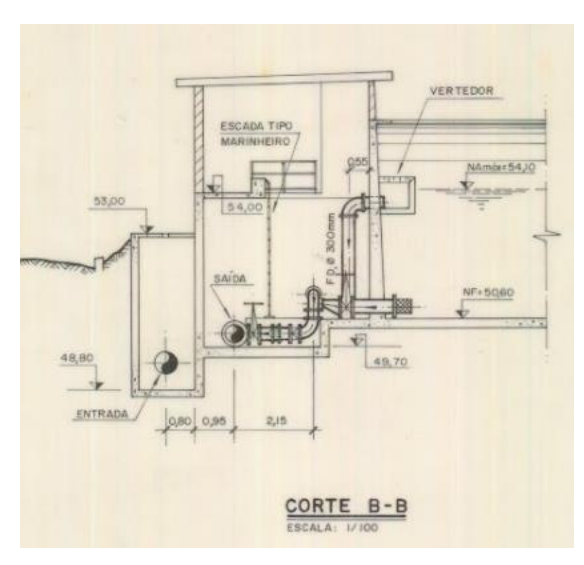


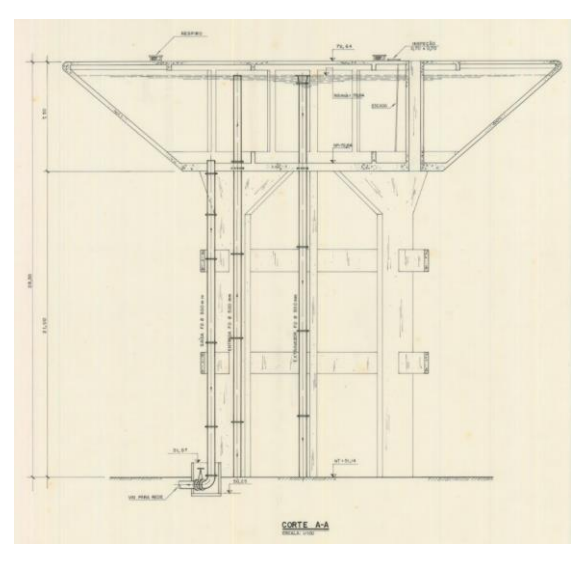
(c) R1





(d) R2 (e) R2a





(f) R4 semienterrado

(g) R4A elevado

Fonte: CASAL (2024)

ANEXO B

Documentações de comprovação da autorização de utilização dos dados.



ESTADO DE ALAGOAS

COMPANHIA DE SANEAMENTO DE ALAGOAS

Central de Controle de Processos Operacionais de Maceió Rua Barão de Atalaia, 200, - Bairro Centro, Maceió/AL, CEP 57020-510 Telefone: (82) 3315-3139 - www.casal.al.gov.br

Memorando nº E:1/2024/Central de Controle de Processos Operacionais de Maceió

À Coordenação da CCOP

Assunto: Solicitação de dados para publicação em Trabalho de Conclusão de Curso - TCC

Eduardo Barbosa, colaborador desta Central de Controle Operacional - CCOP e concluinte do curso de Engenharia Civil da UFAL, venho por meio deste solicitar a **disponibilização de dados** e **autorização para publicação** dos mesmos em Trabalho de Conclusão de Curso - TCC - de minha autoria.

Tema: Otimização da Operação do Sistema de Abastecimento de Água Pratagy em Maceió/AL por Meio da Modelagem e Simulação Hidráulica com o Uso da Ferramenta Epanet

Delimitação do trabalho: desde a captação de água bruta no rio Pratagy até os reservatórios associados aos pontos de entrega da água tratada à BRK

Objetivo Geral

Conceber ferramentas de análise e tomada de decisão para otimizar o controle operacional do Sistema Pratagy

Objetivos Específicos

- conceber um modelo hidráulico do Sistema Pratagy utilizando a ferramenta EPANET;
- · realizar simulações para validar o modelo gerado;
- · levantar cenários de operação;
- gerar protocolos para auxílio na tomada de decisão dos Controladores da Central de Controle

Operacional CCOP-CASAL;

Dados solicitados do Sistema Produtor Pratagy:

Elemento	Descrição	Dados solicitados
ADUTORAS	Redes que compõem o Sistema Produtor Pratagy	Traçado, extensão, cotas, diâmetro, material.
RESERVATÓRIOS	Reservatório apoiado Benedito Bentes, Torre Benedito Bentes, R1, R2, R2A, R4, R4A	Locação, geometria,volume nominal, cota da laje de fundo, cota de extravasamento, cota da entrada de água
ELEVATÓRIAS	EEAB associada a CAP Pratagy, EEAT Benedito Bentes, EEAT R4, EEAT Cardoso-R2A	Locação dos conjuntos motobombas e cadastro de peças acessórias
CONJUNTO MOTOBOMBA	Equipamentos das Elevatórias e Booster	Curva da bomba: vazão x altura manométrica
TELEMETRIA E PITOMETRIA	Dados do supervisório e de coletas em campo	vazão e pressão na entrada da ETA e nos reservatórios; níveis dos reservatórios
POÇOS	PBBs	locação, vazão e pressão de saída

Segue Ata da Defesa do Plano de TCC:

Documentos I - Ata da Defesa do Plano de TCC (SEI nº 24774594). Relacionados:

Atenciosamente,



Documento assinado eletronicamente por **Eduardo Barbosa da Silva**, **Equipe de Apoio** em 26/04/2024, às 22:05, conforme horário oficial de Brasília.



A autenticidade deste documento pode ser conferida no site http://sei.al.gov.br/sei/controlador_externo.php? <u>acao=documento conferir&id_orgao_acesso_externo=0</u>, informando o código verificador **24774559** e o código CRC **32CCD918**.



ESTADO DE ALAGOAS

COMPANHIA DE SANEAMENTO DE ALAGOAS

Vice-Presidência Operacional

Rua Barão de Atalaia, 200, - Bairro Centro, Maceió/AL, CEP 57020-510 Telefone: (82) 3315-3108 - www.casal.al.gov.br

DESPACHO

PROCESSO	E:19620.0000005415/2024
INTERESSADO	Eduardo Barbosa da Silva
ASSUNTO	Comunicação: Institucional

A RMM,

Retornando com o conhecimento e autorização da VPO quanto ao solicitado.



Documento assinado eletronicamente por Laura Petri Geraldino, Vice-Presidente em 24/05/2024, às 18:05, conforme horário oficial de Brasília.



A autenticidade deste documento pode ser conferida no site http://sei.al.gov.br/sei/controlador_externo.php? acesso_externo=0, informando o código verificador **25317661** e o código CRC **F8DB5B7D**.

Processo nº E:19620.000005415/2024 Revisão 01 SEI **ALAGOAS**

SEI nº do Documento 25317661